

CERCETĂRI ARHEOLOGICE LA ULPIA TRAIANA SARMIZEGETUSA.

Campania 1994

În campania arheologică din anul 1994 s-au efectuat cercetări în trei puncte diferite: amfiteatrul, clădirile EM_{30 31} și curtea bazei arheologice.

1. Amfiteatrul

În acest an s-a continuat cercetarea zonei de sud a edificiului, porțiunea reprezentând *maenianum primum* din sectoarele XIII—XIX (fig. 1). S-a practicat același sistem de cercetare din campania precedentă, respectiv deschiderea a două casete cu un martor de 1 m între ele, în fiecare suprafață mărginită de ziduri. Întrucât în anul precedent s-a stabilit structura gropilor pentru implantarea stâlpilor din faza de lemn, prin secționarea lor, în această campanie cercetarea s-a oprit la nivelul de relevare a amprentelor stâlpilor, punându-se astfel în evidență primele două aliniamente. Nu s-au efectuat cercetări complete în intrările pentru tribune sau dinspre arenă. Toate adâncimile s-au luat de la nivelul actual al lui Z₃.

Caseta A₂₇ (fig. 2—3). A fost deschisă în sectorul XIX, este mărginită de Z₂, Z₃, Z₁₈ și martor, are dimensiunile de: 2,60 × 2,40 × 3,60 × 3,45 m.

În profilul casetei s-a observat un șanț de urmărire al zidului Z₃, de 0,40 m lățime și 0,40 m adâncime, datând din perioada interbelică.

Se remarcă faptul că Z₁₈ se adosează la Z₃ și se țese cu Z₂. Pe Z₁₈ apare, la 1,56 m sud de Z₃, urma unui stâlp de cofrag, cu lățimea de 0,06 m, vizibil la —1,08 m, de la coama actuală a zidului. La —0,90 m de la nivelul său actual, Z₃ prezintă o crepidă neregulată, lată de 0,10—0,15 m. Baza zidului se află la —1,85 m. Fundația din piatră mărunță, are o înălțime de 0,45 m, după care urmează o porțiune legată în mortar. Z₃ taie o groapă de stâlp din faza de lemn, cu dimensiunile păstrate de 1,20 m est-vest și 0,60 m nord-sud.

La nivelul superior al gropii de implantare a stâlpului de lemn, la —1,40 m, apare un strat compus din piatră mărunță și bolovani, mai compact lângă Z₂.

A fost relevată existența unei alte gropi de stâlp, făcând parte din cel de-al II-lea aliniament. Aceasta este situată la 1,10 m est de Z₁₈, respectiv la 0,45 m nord de Z₂. Groapa are o formă relativ circulară, cu diametrul de 0,80 m, păstrând în centru amprenta stâlpului de lemn de formă rectangulară, cu dimensiunile de 0,25 × 0,20 m.

Pe profilul casetei se observă imediat sub glie, un strat de cultură, cu o grosime de 0,50 m, compus din moloz, tegule, pigmenți de cărbune

și un bogat material arheologic. Un strat subțire de pietriș desparte nivelul, descris mai sus, de lutuielile succesive anterioare. Considerăm că stratul de pietriș, marchează, de fapt, partea superioară a umpluturilor din faza de piatră a primului rând de tribune. El corespunde, aproximativ, și cu urmele de tencuială identificate pe parametrul nordic al lui Z_2 .

Lutuielile, amintite mai sus, au următoarele caracteristici: imediat sub nivelul de pietriș este un strat compact de lut galben, lipsit de material arheologic, inegal, cu grosimi între 0,20—0,50 m; sub acesta urmează o peliculă de lut, de culoare mai deschisă, care se pierde înspre Z_3 , cu o grosime maximă de 0,20 m; stratul următor, este mai afânat, conține material arheologic, constând, mai ales, din fragmente ceramice și cuie (piroane) de fier. În acest strat se distinge, la aproximativ —1,10 m, un nivel de mortar, reprezentând o etapă de construcție a amfiteatrului de piatră, probabil, începutul elevației.

Cercetarea s-a oprit la adâncimea de —1,40 m, nivel la care se conturează gropile stâlpilor fazei de lemn. Pe acest nivel s-a constatat o aglomerare de bolovani și pietre de râu de talie mijlocie și mare, foarte probabil resturi de material de construcție utilizat pentru fundația fazei de piatră.

Caseta A_{28} (fig. 2—3). A fost deschisă în jumătatea estică a sectorului XIX. Este mărginită de Z_2 , Z_3 , Z_{19} și martor, are dimensiunile de: $2,50 \times 2,30 \times 3,60 \times 3,50$ m.

Apare șanțul de urmărire al lui Z_3 surprins în profilul casetei A_{27} . S-a săpat până la nivelul superior al gropilor de stâlp, la —1,65 m, unde apare aceeași aglomerare de bolovani, răspândiți inegal pe suprafața dezvelită. Zidurile prezintă aceleași caracteristici ca și în cazul casetei precedente. Și aici apare stratul de tencuială, pe întreaga suprafață a lui Z_2 , începând de la nivelul restaurării contemporane, pe o adâncime de aproximativ 0,50 m.

Partea inferioară a stratului de tencuială este marcată de o asiză de pietre mărunte, care par să niveleze fundația lui Z_2 .

Groapa stâlpului din faza de lemn, de pe aliniamentul 1, este tăiată de Z_3 și se află la 1,30 m distanță de zidul radial estic, Z_{19} . Groapa are o lățime de 0,90 m pe direcția est-vest și se întinde 0,70 m spre sud de Z_3 . Amprenta stâlpului este sesizabilă și are un diametru de 0,30 m.

Groapa de pe aliniamentul al doilea se află la 1,80 m de Z_{19} și la 0,65 m de Z_2 . De formă rotundă, această groapă are diametrul de 0,30 m. În jurul ei, sporadic, lângă zidul estic, se distinge un strat de mortar, amestecat cu lut și pietriș, care reprezintă, fără îndoială, un nivel de construcție al amfiteatrului de piatră.

După înlăturarea stratului de bolovani, s-au identificat alte trei gropi, de această dată a unor pari de lemn, cu diametre între 0,12—0,18 m, de formă conică, adânci de circa 0,30 m.

Caseta A_{31} (fig. 2—4). A fost deschisă în jumătatea vestică a sectorului XVIII. Este mărginită de Z_2 , Z_3 , Z_{19} și martor, are dimensiunile de: $2,40 \times 2,10 \times 3,60 \times 3,40$ m.

Pe Z_2 se păstrează încă un strat de tencuială, de slabă calitate, între două asize de piatră mărunță, remarcat și în caseta precedentă. Zidul radial se adosează pe întreaga înălțime la Z_3 și pe înălțimea fundației la

Z_2 . Pe Z_{19} apare o crepidă inegală, la aceeași adâncime cu cea din caseta anterioară, reprezentând, de fapt, o deformare a fundației.

La Z_3 , în punctul de întâlnire cu Z_{19} , se distinge o intervenție în zid, sub nivelul restaurării, care poate fi o groapă de extracție a pietrei din perioada medio-modernă. Și în acest caz, groapa stâlpului de lemn de pe primul aliniament este parțial tăiată de Z_3 . Ea se află situată la 1,25 m est de Z_{19} și se întinde spre sud de Z_3 0,70 m. Lățimea sa pe direcția est-vest este de 0,80 m și păstrează amprenta stâlpului cu latura de 0,40 m. Lângă această groapă apar urmele unor pari de lemn, aproximativ la aceeași adâncime, —1,60 m.

Groapa de pe aliniamentul al doilea este lipsită de Z_2 . Este vizibilă începând de la adâncimea de —1,50 m. Se află situată la 1,40 m est de Z_{19} și are dimensiunile de 0,80 m est-vest și 0,90 m nord-sud. Amprența stâlpului, aproximativ circulară, are un diametru de 0,30 m. La nivelul gropii apar sporadic urme de mortar, aparținând nivelului de construcție a fazei de piatră.

Caseta A_{32} (fig. 2—4). A fost deschisă în jumătatea estică a sectorului XVIII. Este mărginită de Z_2 , Z_3 , Z_{20} și martor, are dimensiunile de: $2,10 \times 2,25 \times 3,45 \times 3,40$ m.

Structura lui Z_2 nu diferă față de celelalte casete și relația sa cu Z_{20} este aceeași, adică fundațiile se adosează, iar elevația se țese.

Spre deosebire de casele precedente în aceasta s-a găsit tencuială și pe zidul Z_{20} , la același nivel ca și pe Z_2 . Groapa, aparținând fazei de lemn de pe primul aliniament, apare la adâncimea de —1,70 m și este, ca și în celelalte cazuri, tăiată de Z_3 . În această groapă, de formă rectangulară, cu dimensiunile de 0,70 m nord-sud și 0,80 m est-vest, nu se distinge amprenta stâlpului de lemn.

Groapa de pe al doilea aliniament s-a găsit la adâncimea de 1,20 m, deci, circa 50 cm mai sus decât prima. Ea se află la 0,40 m nord de Z_2 și 1,23 m vest de Z_{20} . S-a observat doar amprenta stâlpului de lemn, rectangulară, cu dimensiunile de 18×26 cm, păstrată sub forma unei cavități goale pe o adâncime de 1,15 m. În această casetă a fost surprinsă clar nivelul solului antic în care s-a săpat groapa pentru pilonii amfiteatrului de lemn și gropile de par găsite și în casele precedente. În profilul vestic a lui A_{32} s-a secționat o astfel de groapă de par și s-a putut stabili relația lor cu gropile stâlpilor de lemn. Astfel, pe solul antic apare un strat de lut gros de 2—3 cm, care umple și groapa de par. Acest strat de lut galben poate proveni din excavarea gropii de stâlp, ceea ce înseamnă că, gropile de par sunt anterioare. Ne întrebăm dacă parii, dispuși la prima vedere neregulat, nu au slujit la trasarea conturului amfiteatrului din lemn. Deasupra acestui nivel de lut galben se distinge un strat de lut cenușiu, compact, lipsit de material arheologic, peste care apare nivelul de construcție al amfiteatrului de piatră, marcat în partea inferioară de o peliculă de mortar de 2—3 cm grosime și pietre răzlețe, lăsate de constructori. Deasupra lui sunt umpluturi succesive cu pământ lutos până la nivelul inferior al tencuielii de pe Z_2 și Z_{20} .

Caseta A_{35} (fig. 2, pl. I/1). A fost deschisă în jumătatea vestică a sectorului XVI. Este mărginită de Z_2 , Z_3 , Z_{23} și martor, are dimensiunile de: $2,65 \times 2,20 \times 3,60 \times 3,60$ m.

Relația dintre zidul radial și zidurile circulare este aceeași ca și în cazurile precedente, cu mențiunea că elevația zidului radial (Z_{23}), în punctul de întâlnire cu Z_3 , este deplasată din construcție față de fundație cu 20 cm spre est. Tencuiala pe Z_{23} apare la 40 cm deasupra fundației. Groapa de pe primul aliniament, tăiată de Z_3 , se află la 1,05 m est de Z_{23} și este reprezentată doar de amprenta stâlpului cu latura de 40 cm.

Groapa de pe cel de al doilea aliniament se află la 10 cm de Z_2 și 1,32 m, est de Z_{23} , constă din amprenta stâlpului cu latura de 24 cm și se află la adâncimea de 1,80 m față de nivelul actual al lui Z_2 . La adâncimea de 1,90 m față de Z_3 apare stratul de bolovani găsit și în celelalte casete.

Caseta A_{36} (fig. 2, pl. I.3). A fost deschisă în jumătatea estică a sectorului XVI. Este mărginită de Z_2 , Z_3 , Z_{24} și de martor, are dimensiunile de: $2,50 \times 2,25 \times 3,50 \times 3,60$ m.

S-a săpat până la adâncimea de 2,35 m față de Z_2 și 1,70 m față de Z_3 . Atât pe Z_2 , cât și pe Z_{24} , apare stratul de tencuială. Pe elevația lui Z_3 , la 4,5 cm de zidul radial, se observă urma de la cofrag.

Groapa stâlpului de lemn de pe primul aliniament se află la 1,40 m de Z_{24} , este tăiată de Z_3 și constă din amprenta pilonului, lat de 35 cm. Groapa de pe aliniamentul al doilea se află la 2 m vest de zidul radial și 25 cm nord de Z_2 . Stâlpul are o formă pătrată, cu latura de 20 cm. Între cele două gropi este o diferență de nivel de 40 cm.

Caseta A_{37} (fig. 2, 4). A fost deschisă în jumătatea vestică a sectorului XV. Este mărginită de Z_2 , Z_3 , Z_{24} și de martor, are dimensiunile de: $2,70 \times 2,15 \times 3,40 \times 3,40$ m.

Și în această casetă atât Z_2 , cât și zidul radial sunt tencuite pe o înălțime de circa 40 cm. Relația dintre ziduri este aceeași ca și în celelalte casete.

Groapa de pe primul aliniament se află la 1,60 m de Z_{24} și este tăiată de Z_3 . Stâlpul are latura de 30 cm.

Groapa a doua se află la 30 cm nord de Z_2 și 1,60 m est de Z_{24} . Forma sa este aproximativ circulară și are diametrul de 40 cm.

Caseta A_{38} (fig. 2, 4, pl. I/4). A fost deschisă în jumătatea estică a sectorului XV. Este mărginită de Z_2 , Z_3 , Z_{25} și martor, are dimensiunile de: $2,50 \times 2,30 \times 3,50 \times 3,45$ m.

Relația dintre ziduri are aceleași caracteristici ca și în celelalte casete. Gropile de stâlpi apar: prima la 1,40 m vest de Z_{25} , tăiată de Z_3 , cu diametrul de 30 cm; cea de a doua se află la 25 cm nord de Z_2 și la 1,80 m vest de zidul radial și este de formă pătrată, cu latura de 25 cm. La nivelul gropilor, respectiv la —1,90 m, apare un strat de piatră mărunță și mijlocie, peste care sunt umpluturile de lut.

Caseta A_{41} (fig. 2, 5). A fost deschisă în jumătatea vestică a sectorului XIV. Este mărginită de Z_2 , Z_3 , Z_{26} și martor, are dimensiunile de: $2,75 \times 2,80 \times 3,30 \times 3,35$ m.

În această casetă Z_2 are o structură diferită față de celelalte secțiuni în sensul că o porțiune a fundației, pe o înălțime de circa 0,80 m, este legată cu un mortar de slabă calitate. Pe aceeași înălțime, dar cu un mortar de calitate superioară este legată și fundația lui Z_{26} , zid care mărginește unul dintre accesele spre tribune. La Z_2 sub fundația ju

mortar, la —2,35 m, apare o lărgire cu 10—20 cm din piatră mare fără mortar. Ambele ziduri sunt tencuite, începând de la nivelul superior al fundației, cu mortar. Pe Z_{26} la 20 cm sud de Z_3 se distinge urma unui stâlp de cofrag. Nu s-a identificat groapa de pe primul aliniament. Cea de a doua groapă se află la 37 cm nord de Z_2 și 70 cm est de Z_{26} la adâncimea de 2,30 m. Amprenta stâlpului are diametrul de 30 cm. La nivelul gropii este un strat de pietre și bolovani pe întreaga suprafață a casetei. Deasupra acestui nivel sunt lutuiele sărace din punct de vedere arheologic.

Caseta A_{12} (fig. 2). A fost deschisă în jumătatea estică a sectorului XIV. Este mărginită de Z_2 , Z_3 , Z_{27} și marlor, are dimensiunile de: $2,65 \times 2,35 \times 3,30 \times 3,20$ m.

Situația stratigrafică este identică cu cea din A_{41} . Nici în această casetă nu a fost relevată groapa din primul aliniament. Groapa a doua se află la aceeași adâncime cu cea din A_{41} și este poziționată la 20 cm nord de Z_2 și 40 cm vest de zidul radial (Z_{27}). Diametrul amprenteii stâlpului este de 20—25 cm.

Caseta A_{15} (fig. 2, 5, pl. I 2). Reprezintă caseta deschisă în partea de vest a intrării sudice cu dimensiunile de: 2,80 m nord-sud \times 2,15 m est-vest, fiind mărginită de Z_2 , Z_{21} , Z_{20} .

Caseta a fost deschisă la vest de camera aflată sub loja sudică. Zidul radial (Z_{20}) se adosează la Z_2 care, la rândul lui, se adosează la zidul camerei de sub lojă (Z_{21}). Tot la Z_{21} se adosează și Z_2 găsit pe spațiul intrării în această campanie. Zidul Z_{21} se deosebește radical de celelalte ziduri ale amfiteatrului de piatră în sensul că materialul utilizat pentru construirea sa este piatra de carieră legată cu mortar pe întreaga înălțime, inclusiv în fundație. Lățimea acestui zid este de 0,40 m. Faptul că zidurile circulare se adosează la Z_{21} , diferența de material de construcție (piatră de carieră la Z_{21} și piatră de râu la celelalte ziduri), calitatea mortarului utilizat, superioară în cazul lui Z_{21} , amestecul cu praf de cărămidă, ne fac să credem că încăperea de sub tribune aparține fazei de lemn a amfiteatrului. Umplutura de lut din A_{45} , este compactă, bine bătută și extrem de săracă din punct de vedere arheologic. În profil se observă, la —1,20 m, nivelul de construcție a amfiteatrului de piatră, constând dintr-un strat subțire de mortar corespunzător stratigrafic elevației cu mortar a amfiteatrului de piatră. Cu toate că și sub această peliculă Z_{21} continuă, în mortar nu s-a găsit nivelul de construcție al acestuia. La nivelul stratului de mortar (—1,20 m), parțial tăiată de Z_{20} , s-a identificat o groapă de stâlp din faza de lemn cu amprenta pilonului de 25 cm.

Într-un sondaj, efectuat la sud de Z_2 s-a găsit același tip de umplutură compactă, ceea ce presupune existența în zonă a unui pasaj orizontal, deci, lipsa unei comunicări cu exteriorul a camerei de sub lojă.

Ieșirea spre exterior, vizibilă astăzi, slujea, probabil, amfiteatrului de lemn și a fost obturată în faza de piatră.

Caseta A_{18} (fig. 2). Este situată în jumătatea vestică a sectorului XIII. Este mărginită de Z_2 , Z_3 , Z_{27} și marlor, are dimensiunile de: $2,20 \times 1,80 \times 3,20 \times 3,20$ m.

La nivelul fundației Z_2 se adosează la Z_{27} și se țes în elevație, Z_3 se țes pe toată înălțimea cu zidul radial. A fost sesizată doar urma unui

stâlp aparținând celui de-al doilea aliniament. Groapa este situată la 1,45 m de Z_{27} , fiind lipită de Z_2 . Are marginile întărite cu bolovani și o formă circulară cu diametrul de 0,35 m.

Caseta A_{47} (fig. 2, 5). Este situată în jumătatea estică a sectorului XIII. Este mărginită de Z_2 , Z_3 , Z_{28} și martor are dimensiunile de: $1,70 \times 2,25 \times 3,20 \times 3,20$ m.

În condițiile în care avem aceeași situație stratigrafică, ca și în casele precedente, se remarcă faptul că Z_{28} se adosează la Z_2 la nivelul fundației și se țese în zona legată cu mortar. Și aici a fost surprinsă doar groapa stâlpului de pe al doilea aliniament. Este situată la 1,70 m vest de Z_{28} , lipită de martor și de Z_2 . Are o formă circulară cu diametrul de 0,35 m.

2. Clădirile EM_{30} — EM_{31}

Săpăturile au avut drept scop finalizarea investigației asupra clădirilor EM_{30} — EM_{31} . S-au săpat porțiunile rămase necercetate în campaniile din anii trecuți, desființându-se, în același timp, și martorii.

S-a continuat dezvelirea, în sectorul estic, a spațiului dintre clădirea EM_{30} și zidul vestic de incintă al zonei sacre, prin prelungirea spre sud a secțiunii P_6 cu 9,00 m și 2,50 m spre est. În stratul de dărâmatură de sub glie, care are o grosime variabilă de 0,20—0,50 m, au fost descoperite două tegule, care poartă o inscripție cursivă.

La clădirea EM_{31} s-a continuat cercetarea prin dezvelirea completă a colțului sud-estic, cuprinzând camera C_1 . Secțiunea are o lățime de 3,00 m pe direcția nord-sud și o lungime de 8,00 m pe direcția est-vest. S-a putut, în acest mod, contura întregul plan al clădirii EM_{31} . Zidul sudic perimetral se țese cu zidul de incintă al zonei sacre, ceea ce demonstrează că acestea sunt contemporane.

Curtea bazei arheologice (fig. 6—7).

Aceste săpături au avut un caracter de salvare, fiind executate în vederea extinderii Bazei arheologice existente. Săpătura este situată în zona intramurală, în partea vestică a orașului.

S-a trasat la început o secțiune de control, orientată nord-sud, cu lungimea de 7,50 m și lățimea de 1 m, notată convențional B_1 .

Secțiunea a relevat următoarele elemente: la 2,55 m spre sud a fost surprins un zid (Z_1), cu grosimea de 0,40 m, care începe la —0,75 m față de nivelul actual al solului și ajunge până la —1,55 m. Zidul rupt de o groapă modernă, este construit din piatră de râu, legată cu mortar. La 4,20 m spre nord există un nou zid (Z_2), rupt la rândul său de o groapă modernă. Zidul are o lățime de 0,60 m, a fost surprins imediat sub glie și merge în adâncime până la —1,00 m, așezat fiind pe humusul antic.

Pornind de la această secțiune a fost deschisă o suprafață, spre vest, pe o lățime de 2,50 m, care reprezintă o extindere a lui B_1 . A fost surprins un nou zid (Z_3). Acesta se țese cu Z_1 , fiind tăiat, la rândul său, de o groapă modernă. Are o grosime de 0,40 m și o lungime păstrată de 2,60 m.

Un alt zid (Z_4), se țese și are aceleași caracteristici cu Z_2 . În colțul nord-estic al casetei este o construcție din piatră, de formă circulară, în formă de fântână. Are diametrul de 1,50 m și începe imediat sub glie. Reprezintă o construcție modernă.

A doua secțiune (B_2) a fost trasată est-vest, având 4,70 m lungime, 2,10 m lățime, și o adâncime maximă de —2,00 m.

În colțul de nord-vest apare continuarea lui Z_2 , surprins la —0,60 m și rupt de o groapă modernă, pe toată lungimea.

La 1,00 m de profilul vestic apare un zid, Z_5 , cu o grosime de 0,60 m, la rândul său, rupt de o groapă modernă.

La nord de caseta B_2 a fost deschisă o alta, numită convențional B_3 , care are dimensiunile de 5,00 m est-vest \times 2,40 m nord-sud. A fost surprins și aici zidul din B_2 , care apare la —0,50 m și la 3,30 m spre est, de la metrul 0 al casetei.

În concluzie, în sondajele efectuate în curtea Bazei arheologice au apărut urmele unei clădiri romane (Z_1 , Z_3), distrusă de o construcție modernă și gropi.

CATALOGUL MATERIALELOR ARHEOLOGICE DESCOPERITE ÎN AMFITEATRU — MAENIANUM PRIMUM

Pieșele aparțin Muzeului de arheologie din Sarmizegetusa (jud. Hunedoara).

OS

1. Ac de păr, cu capul retezat, A_{35} , — 1,30 m, $L = 9,8$ cm, Inv. 29716. *Fig. 8.*
2. Ac de păr, același tip cu precedentul, A_{36} , — 0,20 m, $L = 11,3$ cm, Inv. 29712. *Fig. 8.*
3. Ac de păr, același tip, A_{21} — A_{22} , (martor) — 0,60 m, $L = 8,5$ cm, Inv. 30251.
4. Ac de păr, același tip, fragmentar, A_{41} — 1,00 m, $L = 3,8$ cm, Inv. 29794. *Fig. 8.*
5. Ac de păr cu cap conic, A_{37} , — 0,33 m, $L = 6,2$ cm, Inv. 29737. *Fig. 8.*
6. Ac de păr, același tip, A_{47} , — 1,25 m, $L = 11,6$ cm, Inv. 29908. *Fig. 8.*
7. Ac de păr, același tip, vârful rupt, A_{42} , glie, $L = 8,6$ cm, Inv. 29752. *Fig. 9.*
8. Ac de păr, același tip, A_{27} , — 0,50 m, $L = 10,1$ cm, Inv. 29717. *DFig. 9.*
9. Ac de păr, același tip, A_{31} , — 0,30 m, $L = 7,1$ m, Inv. 30243. *Fig. 9.*
10. Ac de păr, același tip, A_{37} , — 0,20 m, $L = 9,5$ cm, Inv. 29572. *Fig. 9.*
11. Ac de păr, același tip, vârful rupt, A_{28} , — 0,90 m, $L = 9$ cm, Inv. 29825. *Fig. 9.*
12. Ac de păr, același tip, vârful rupt, A_{37} , — 0,90 m, $L = 10,1$ cm, Inv. 29739. *Fig. 9.*
13. Ac de păr, același tip, A_{36} , — 1,15 m, $L = 9,5$ cm, Inv. 29574. *Fig. 8.*
14. Ac de păr, același tip, A_{38} , — 1,10 m, $L = 7,4$ cm, Inv. 29815. *Fig. 9.*
15. Ac de păr, fragmentar, același tip, A_{38} , — 1,10 cm, Inv. 29816. *Fig. 9.*
16. Ac de păr fragmentar, același tip, A_{41} , — 1,00 m, $L = 4$ cm, Inv. 29839. *Fig. 9.*
17. Ac de păr, cu tija foarte subțire, cap conic, vârful rupt, A_{36} , — 1,00 m, $L = 8,5$ cm, Inv. 29581. *Fig. 8.*
18. Ac de păr, fragmentar, capul ușor conic delimitat de corp printr-o linie incizată, urmată de un decor în trei registre cu linii frânte incizate, A_{26} , — 1,20, m, $L = 5,1$ cm, Inv. 29593. *Fig. 10.*
19. Ac de păr fragmentar, capul retezat și alveolat delimitat de corp printr-o linie incizată, A_{31} , — 0,35 m, $L = 5,7$ cm, Inv. 29586. *Fig. 10.*
20. Ac de păr fragmentar, capul ci'ndric, cu extremitatea conică, tija subțiată spre cap, A_{42} , $L = 5,2$ cm, Inv. 29812. *Fig. 10.*
21. Ac de păr fragmentar, cap cilindric, corp decorat cu două registre cu linii incizate, A_{28} , — 0,50 m, $L = 7,9$ cm, Inv. 29603. *Fig. 10.*

22. Ac de păr cu capul în formă de con de pin, fragment, corp ornamentat cu două incizii circulare, lucrat grosolan, A_{49} , — 0,35 m, $I_r = 6,5$ cm, Inv. 29879. *Fig. 10.*
23. Ac de cusut fragmentar, rotund în secțiune, ureche dreptunghiulară, capul conic, A_{29} , — 0,50 m, $I_r = 11,3$ cm, Inv. 29576. *Fig. 11.*
24. Ac de cusut, același tip, A_{37} , — 0,70 m, $I_r = 6,6$ cm, Inv. 29829. *Fig. 11.*
25. Ac de cusut, vârful rupt, același tip, A_{32} , — 0,30 m, $I_r = 4,6$ cm, Inv. 29602. *Fig. 11.*
26. Ac de cusut, fragmentar, același tip, A_{27} , — 0,50 m, $I_r = 5,5$ cm, Inv. 29583. *Fig. 11.*
27. Ac de cusut, fragmentar, același tip A_{38} , — 1,10 m, $I_r = 7$ cm, Inv. 29814. *Fig. 11.*
28. Ac de cusut, fragmentar, același tip, A_{35} , — 0,70 m, $I_r = 9$ cm, Inv. 29591. *Fig. 11.*
29. Ac de cusut, fragmentar, nuanță verzuie, același tip, A_{37} , — 0,35 m, $I_r = 6,5$ cm, Inv. 29567. *Fig. 11.*
30. Ac de cusut, fragmentar, același tip, A_{48} , — 0,20 m, $I_r = 5,9$ cm, Inv. 29913. *Fig. 11.*
31. Ac de cusut, fragmentar, același tip, A_{47} , — 1,05 m, $I_r = 4,3$ cm, Inv. 29914. *Fig. 11.*
32. Ac de cusut cu capul triunghiular, extremitatea cu urechea teșită, orificiu circular, A_{33} , — 0,70 m, $I_r = 14,5$ cm, Inv. 29714. *Fig. 12.*
33. Ac de cusut, cu capul retezat, A_{31} , — 0,35 m, $I_r = 11,5$ cm, Inv. 29585. *Fig. 12.*
34. Ac de cusut, același tip, A_{46} , — 1,25 m, $I_r = 16$ cm, Inv. 29915. *Fig. 12.*
35. Ac de cusut, același tip, A_{48} , — 0,40 m, $I_r = 11$ cm, Inv. 29916. *Fig. 12.*
36. Ac de cusut, același tip, A_{42} , — 1,40 m, $I_r = 12,7$ cm, Inv. 29918. *Fig. 13.*
37. Ac de cusut același tip, A_{46} , — 1,50 m, $I_r = 6,9$ cm, Inv. 29917. *Fig. 13.*
38. Ac de cusut, extremitatea teșită, capul retezat, ureche dreptunghiulară, A_{28} , — 0,50 m, $I_r = 4,5$ cm, Inv. 29601. *Fig. 13.*
39. Ac de cusut același tip, A_{35} , — 1,30 m, $I_r = 6,00$ cm, Inv. 29579. *Fig. 13.*
40. Ac de cusut, același tip, A_{31} , — 1,05 m, $I_r = 4,5$ cm, Inv. 29883. *Fig. 13.*
41. Ac de cusut, fragmentar, același tip, A_{31} , — 0,60 m, $I_r = 5,6$ cm, Inv. 29590. *Fig. 13.*
42. Ac de cusut, același tip, A_{42} , — 0,80 m, $I_r = 7,4$ cm, Inv. 29874. *Fig. 13.*
43. Ac de cusut, fragmentar, același tip, A_{48} , — 0,55 m, $I_r = 7,5$ cm, Inv. 29919. *Fig. 13.*
44. Ac de cusut, fragmentar, același tip, A_{49} , — 0,55 m, $I_r = 5,5$ cm, Inv. 29920. *Fig. 13.*
45. Ac de cusut, extremitatea teșită, capul rotunjit, ureche dreptunghiulară cu câte un orificiu circular deasupra și dedesubt, A_{31} , — 0,60 m, $I_r = 7,4$ cm, Inv. 29588. *Fig. 13.*
46. Ac de cusut, același tip, A_{37} , — 1,40 m, $I_r = 10,7$ cm, Inv. 30249. *Fig. 13.*
47. Ac de cusut, fragmentar, ureche ruptă, A_{36} , — 1,00 m, $I_r = 8,4$ cm, Inv. 29580. *Fig. 15.*
48. Ac de cusut, fragmentar, ureche ruptă, A_{31} , — 0,60 m, $I_r = 9,3$ cm, Inv. 29711. *Fig. 14.*
49. Ac de cusut, fragmentar, ureche ruptă, A_{43} , — 0,80 m, $I_r = 8,8$ cm, Inv. 29875. *Fig. 14.*
50. Ac de cusut, fragmentar, ureche ruptă, A_{45} , — 0,50 m, $I_r = 9,7$ cm, Inv. 29658. *Fig. 14.*
51. Ac de cusut, fragmentar, ureche ruptă, A_{41} , — 0,90 m, $I_r = 11,2$ cm, Inv. 29834. *Fig. 15.*
52. Ac de cusut, fragmentar, ureche ruptă, A_{27} , — 0,30 m, $I_r = 9,00$ cm, Inv. 29718. *Fig. 14.*
53. Ac de cusut, fragmentar, ureche ruptă, A_{35} , — 0,60 m, $I_r = 10,2$ cm, Inv. 29715. *Fig. 14.*
54. Ac de cusut, fragmentar, ureche ruptă, A_{28} , — 0,60 m, $I_r = 9,4$ cm, Inv. 29713. *Fig. 14.*
55. Ac de cusut, fragmentar, ureche ruptă, A_{37} , — 0,45 m, $I_r = 6,1$ cm, Inv. 29738. *Fig. 14.*
56. Ac de cusut, fragmentar, ureche ruptă, A_{38} , — 1,15 m, $I_r = 9,2$ cm, Inv. 29575. *Fig. 15.*
57. Ac de cusut, fragmentar, ureche ruptă, A_{35} , — 1,30 m, $I_r = 5,9$ cm, Inv. 29578. *Fig. 14.*
58. Ac de cusut, fragmentar, ureche ruptă, A_{38} , — 0,35 m, $I_r = 9,5$ cm, Inv. 29657. *Fig. 15.*
59. Ac de cusut, fragmentar, ureche ruptă, A_{37} , — 0,30 m, $I_r = 5,3$ cm, Inv. 29569. *Fig. 14.*
60. Ac de cusut, fragmentar, ureche ruptă, A_{36} , — 1,00 m, $I_r = 6,4$ cm, Inv. 29836. *Fig. 14.*
61. Ac de cusut, fragmentar, ureche ruptă, A_{47} , — 0,60 m, $I_r = 7,8$ cm, Inv. 29922. *Fig. 15.*
62. Ac de cusut, fragmentar, ureche ruptă, A_{48} , — 0,30 m, $I_r = 4,4$ cm, Inv. 29923. *Fig. 14.*
63. Vârf ac, A_{36} , — 0,35 mc, $I_r = 7,5$ cm, Inv. 29582. *Fig. 10.*
64. Vârf ac, A_{31} , — 0,35 cm, $I_r = 6,6$ cm, Inv. 29587. *Fig. 10.*
65. Vârf ac, A_{49} , — 0,25 m, $I_r = 5,8$ cm, Inv. 29801. *Fig. 10.*
66. Vârf ac, A_{38} , — 1,15 m, $I_r = 4,2$ cm, Inv. 29573. *Fig. 10.*
67. Vârf ac, A_{36} , — 0,60 m, $I_r = 2,8$ cm, Inv. 29596. *Fig. 10.*
68. Vârf ac, A_{46} , — 1,00 m, $I_r = 5$ cm, Inv. 29376. *Fig. 10.*
69. Vârf ac, A_{48} , — 0,40 m, $I_r = 5,4$ cm, Inv. 29909. *Fig. 10.*
70. Vârf ac, A_{42} , — 1,20 m, $I_r = 7,6$ cm, Inv. 29910. *Fig. 10.*
71. Vârf ac, A_{47} , — 1,10 m, $I_r = 7,5$ cm, Inv. 29911. *Fig. 10.*
72. Vârf ac, A_{43} , — 1,10 m, $I_r = 3,3$ cm, Inv. 29912. *Fig. 10.*
73. Vârf ac, A_{49} , — 0,55 m, $I_r = 4,9$ cm, Inv. 29921. *Fig. 10.*
74. Corp ac, A_{41} , — 1,10 m, $I_r = 4,7$ cm, Inv. 29864. *Fig. 15.*
75. Corp ac, A_{36} , — 1,00 m, $I_r = 5,2$ cm, Inv. 29598. *Fig. 15.*
76. Corp ac, A_{31} , — 0,35 m, $I_r = 3,9$ cm, Inv. 29584.

77. Corp ac, A₃₇, — 0,30 m, L = 2,7 cm, Inv. 29568.
78. Corp ac, A₃₅, — 0,70 m, I_r = 3,2 cm, Inv. 29565.
79. Corp ac, tentă verzuie, A₃₅, — 0,70 m, L = 3,8 cm, Inv. 29564.
80. Corp ac, A₄₁, — 0,55 m, L = 4,4 cm, Inv. 29571.
81. Corp ac, A₄₂, — 0,25 m, L = 6,00 cm, Inv. 29800.
82. Corp ac, A₃₁, — 0,60 m, L = 6,1 cm, Inv. 29589.
83. Corp ac, A₄₁, — 0,13 m, L = 6,5 cm, Inv. 29566. *Fig. 15.*
84. Corp ac, A₃₇, — 0,20 m, L = 5,1 cm, Inv. 29570. *Fig. 15.*
85. Corp ac, A₃₅, — 0,20 m, I_r = 7,9 cm, Inv. 29594. *Fig. 15.*
86. Corp ac, A₃₅, — 0,70 m, I_r = 4,00 cm, Inv. 29877.
87. Corp ac, A₃₅, — 0,70 m, I_r = 2,00 cm, Inv. 29878.
88. Corp ac, A₂₂₋₂₁ (martor), — 0,20 m, L = 4,3 cm, Inv. 30244.
89. Spatulă sondă, fragmentară, A₃₁, — 0,50 m, L = 10,5 cm, Inv. 29595. *Fig. 15.*
90. Spatulă sondă, A₄₆, — 1,25 m, I_r = 12 cm, Inv. 29907. *Fig. 15.*
91. Jeton, ambele fețe netede, A₃₈, — 1,10 m, D = 1,9 cm, Inv. 29813. *Fig. 16.*
92. Jeton, avers alveolat, are un cerc incizat în mijloc, A₃₆, — 1,00 m, D = 2,3 cm, Inv. 29599. *Fig. 16.*
93. Jeton, același tip cu nr. 92, D₃₇, — 0,70 m, D = 2,2 cm, Inv. 29829. *Fig. 16.*
94. Jeton, avers alveolat, în centru cu un buton semiperforat, A₂₈, — 0,60 m, I_r = 1,8 cm, Inv. 29592. *Fig. 16.*
95. Jeton, suprafața ușor alveolată cu un buton central, marginea zimțată, A₄₆, — 1,35 m, D = 1,5 cm, Inv. 29906. *Fig. 16.*
96. Jeton, avers trei cercuri concentrice incizate, marginile ușor țesite, A₄₂, — 0,50 m, D = 2 cm, Inv. 29861. *Fig. 16.*
97. Jeton, fragmentar, același tip cu precedentul, A₄₂, glie, D = 1,8 cm, Inv. 29753. *Fig. 16.*
98. Jeton, același tip cu precedentul, A₂₇, — 0,70 m, D = 1,7 cm, Inv. 29600. *Fig. 16.*
99. Jeton, avers ușor alveolat, decorat cu cinci cercuri concentrice incizate oblic, A₂₇, — 0,30 m, D = 2,4 cm, Inv. 29577. *Fig. 16.*
100. Jeton, același tip cu precedentul, A₃₈, — 0,80 m, D = 2,2 cm, Inv. 29744. *Fig. 16.*
100. Jeton, același tip cu precedentul, A₃₈, — 0,80 m, D = 2,2 cm, Inv. 29744. *Fig. 16.*
101. Jeton, același tip cu precedentul, A₃₅, — 0,70 m, D = 2,1 cm, Inv. 29597. *Fig. 16.*

BRONZ

102. Fibulă puternic profilată, resortul din șase spire, capul scurt pe corp o nodozitate, piciorul se termină într-un buton masiv, A₄₂, — 0,95 m, L = 5 cm, Inv. 29866. *Fig. 17.*
103. Fibulă puternic profilată, asemănătoare, cu precedentă, A₁₇₋₁₈ (martor), — 0,70 m, L = 5,7 cm, Inv. 30245. *Fig. 18.*
104. Fibulă puternic profilată, se păstrează o nodozitate, un buton și portagrafa, A₄₁, — 1,25 m, L = 4,4 cm, Inv. 29855. *Fig. 17.*
105. Fragment picior de fibulă puternic profilată, decorat cu incizii în formă de V, A₃₆, — 0,60 m, L = 4,1 cm, Inv. 29682. *Fig. 17.*
106. Picior de fibulă puternic profilată, A₃₆, — 0,60 m, I_r = 2 cm, Inv. 29681. *Fig. 17.*
107. Fragment fibulă, același tip cu precedentă, A₄₁, — 0,55 m, L = 2,1 cm, Inv. 29577. *Fig. 18.*
108. Fibulă puternic profilată, cu balama, pe cap două nodozități aplatizate, A₃₈, — 0,65 m, L = 4,5 cm, I_r = 2 cm, Inv. 29730. *Fig. 18.*
109. Fibulă în formă de T (variantea cu trei butoni), brațele lungi, corpul prevăzut cu o nervură, sistemul de închidere prin balama, A₃₇, — 0,20 m, I_r = 2 cm, I = 3 cm, Inv. 29667. *Fig. 18.*
110. Fibulă tip soldat, se păstrează corpul ornamentat cu incizii în formă de V, piciorul scurt, A₂₈, — 0,40 m, L = 5,6 cm, Inv. 29676. *Fig. 19.*
111. Fibulă puternic profilată prevăzută cu opt spire, coardă înaltă, pe picior un buton, A₄₆, — 1,00 m, L = 4 cm, I = 1,6 cm, Inv. 29844. *Fig. 19.*
112. Fibulă în formă de genunchi, variantă cu corpul semirotund, A₂₈, — 0,60 m, I_r = 2,8 cm, Inv. 29677. *Fig. 19.*
113. Fibulă tip Aucissa, se păstrează o parte a corpului și piciorul, A₃₅, — 0,20 m, I_r = 4,1 cm, Inv. 29680. *Fig. 19.*
114. Fragment oglindă, A₃₇, — 1,15 m, I_r = 2,1 cm, Inv. 29841. *Fig. 20.*
115. Fragment oglindă, A₄₁, — 1,25 m, L = 2,1 cm, Inv. 29856. *Fig. 20.*
116. Fragment oglindă, A₄₆, — 0,70 m, L = 6,8 cm, Inv. 29843. *Fig. 20.*

117. Ac de păr cu capul conic, A_{41} . — 1,00 m, $L = 11,2$ cm, Inv. 29823. Fig. 21.
118. Ac de păr, același tip, A_{31} . — 0,35 m, $L = 10,6$ cm, Inv. 29719. Fig. 21.
119. Ac de păr, cap conic decorat cu linii longitudinale delimitat de corp prin două caneluri, A_{41} . — 0,40 m, $L = 9,00$ cm, Inv. 29659. Fig. 21.
120. Ac de cusut, vârful rupt, extremitatea cu ureche aplatizată, capul retezat, A_{27} . — 0,50 m, $L = 12,3$ cm, Inv. 29721. Fig. 21.
121. Ac de cusut, extremitatea cu ureche aplatizată, capul ascuțit, A_{42} . — 0,30 m, $L = 12,1$ cm, Inv. 29833. Fig. 21.
122. Ac de cusut, urechea ruptă, A_{41} . — 1,75 m, $L = 12,4$ cm, Inv. 30246. Fig. 21.
123. Verigă rotundă în secțiune, A_{36} . — 1,5 cm, $D = 2,3$ cm, Inv. 29693. Fig. 22.
124. Verigă rectangulară în secțiune, A_{41} . — 0,20 m, $D = 2,2$ cm, Inv. 29732. Fig. 22.
125. Verigă triunghiulară în secțiune, cu ataș fragmentar, A_{28} . — 0,60 m, $D = 2,00$ cm, Inv. 29690. Fig. 22.
126. Țintă cu suprafața semisferică, A_{31} . — 0,30 m, $D = 1,7$ cm, Inv. 29664. Fig. 22.
127. Țintă, același tip, A_{35} . — 0,70 m, $D = 1,1$ cm, Inv. 29686. Fig. 22.
128. Țintă fragmentară, cu suprafața plană și marginea ușor înclinată, A_{45} . — 1,00 m, $D = 1,2$ cm, Inv. 29734. Fig. 22.
129. Țintă fragmentară, același tip, A_{36} . — 0,60 m, $D = 1,2$ cm, Inv. 29638. Fig. 22.
130. Țintă fragmentară, cu suprafața mărginită de două caneluri, decorată cu o figură umană, A_{28} . — 0,60 m, $D = 1,2$ cm, Inv. 29691. Fig. 22.
131. Țintă cu marginea evazată, centru bombat, A_{37} . — 0,83 m, $D = 2,1$ cm, Inv. 29731. Fig. 22.
132. Țintă fragmentară, același tip, A_{38} . — 0,20 m, $D = 2,4$ cm, Inv. 29661. Fig. 22.
133. Țintă, A_{27} . — 0,30 m, $D = 1,00$ cm, Inv. 29960.
134. Terminal curea, cu banda de prindere din tablă, A_{28} . — 1,10 m, $L = 5$ cm, Inv. 29832. Fig. 22.
135. Terminal curea, cu extremitatea treflată, A_{42} . — 0,80 m, $L = 3,5$ cm, Inv. 29875. Fig. 22.
136. Terminal curea, cu extremitatea în formă de *pelta*, cealaltă terminată cu un buton țesut decora cu linii longitudinale, A_{28} . — 0,40 m, $L = 3,4$ cm, Inv. 29687. Fig. 22.
137. Bandă de prindere terminal curea, A_{31} . — 0,35 m, $L = 3,7$ cm, Inv. 29674. Fig. 22.
138. Terminal curea, A_{22-21} (martor), — 0,20 m, $L = 4,3$ cm, Inv. 30247. Fig. 22.
139. Spatulă cu extremitatea lătită și rotunjită, A_{31} . — 0,70 m, $L = 15,8$ cm, Inv. 29726. Fig. 23.
140. Spatulă, același tip, A_{37} . — 1,20 m, $L = 8,2$ cm, Inv. 29799. Fig. 23.
141. Spatulă, cu extremitatea aplatizată și dreaptă, A_{41} . — 1,10 m, $L = 15,4$ cm, Inv. 29824. Fig. 23.
142. Spatulă, același tip, cu lopățică decorată pe ambele fețe cu linii în zig-zag, A_{41} . — 1,25 m, $L = 13,4$ cm, Inv. 29851. Fig. 23.
143. Sondă cu extremitatea în formă de lopățică, vârf ascuțit, A_{45} . — 0,50 m, $L = 9,5$ cm, Inv. 29668. Fig. 24.
144. Sondă, același tip, A_{38} . — 1,00 m, $L = 12$ cm, Inv. 29835. Fig. 24.
145. Sondă, același tip, A_{45} . — 1,35 m, $L = 12$ cm, Inv. 29819. Fig. 23.
146. Sondă, același tip, A_{45} . — 0,30 m, $L = 13,2$ cm, Inv. 29903. Fig. 24.
147. Sondă, același tip, A_{42} . — 1,35 m, $L = 12,4$ cm, Inv. 29904. Fig. 24.
148. Tijă sondă, probabil același tip, A_{41} . — 1,25 m, $L = 11,8$ cm, Inv. 29847. Fig. 24.
149. Tijă sondă, probabil același tip, A_{36} . — 1,10 m, $L = 9,6$ cm, Inv. 29725. Fig. 24.
150. Tijă sondă, fragmentară, decorată cu striuri succesive, A_{35} . — 0,70 m, $L = 6,4$ cm, Inv. 29682. Fig. 24.
151. Tijă sondă, fragmentară, A_{37} . — 0,30 m, $L = 3,2$ cm, Inv. 29666. Fig. 24.
152. Sondă auriculară, A_{35} . — 1,00 m, $L = 12,2$ cm, Inv. 29720. Fig. 21.
153. Sondă auriculară, fragmentară, A_{35} . — 1,00 m, $L = 5,9$ cm, Inv. 29673. Fig. 21.
154. Cataramă cu ax și, probabil, limba de fier, A_{42} . — 0,60 m, $L = 1,6$ cm, Inv. 29849. Fig. 26.
155. Bulla, fragmentară, A_{36} . — 0,60 m, $L = 3,1$ cm, Inv. 29684. Fig. 20.
156. Aplică, cu știft de fier, A_{41} . — 1,15 m, $L = 5,4$ cm, Inv. 29859. Fig. 26.
157. Piesă decorativă executată dintr-o bară, răsucită la o extremitate în spirală, la cealaltă bătută în formă de treflă, A_{36} . — 0,20 m, $L = 4,00$ cm, Inv. 29678. Fig. 26.
158. Manșon cilindric, prezintă două nituri, A_{27} . — 0,50 m, $D = 2,2$ cm, $L = 2,4$ cm, Inv. 29733. Fig. 25.

159. Manșon cilindric, A₃₈, — 0,30 m, D = 1,3 cm, L = 1,3 cm, Inv. 29663. Fig. 25.
160. Clopoțel fragmentar, A₃₇, — 0,90 m, D = 2,00 cm, Inv. 29842. Fig. 20.
161. Fragment de *strigilis*, A₃₈, — 0,80 m, L = 6,4 cm, Inv. 29742. Fig. 26.
162. Instrument fragmentar, compus dintr-o tijă cu o extremitate îndoită la 90°, iar cealaltă aplatizată și transformată într-un manșon de prindere a unei cozi, probabil, din lemn A₄₈, — 0,35 m, L = 8,3 cm, Inv. 29887. Fig. 26.
163. Două zale de *lorica squamata*, prinse între ele printr-un nit, A₃₅, — 0,70 m, L = 2,1 cm, Inv. 29685, Fig. 26.
164. Lănțisor împletit din 4 sârme, A₃₅, — 0,70 m, L = 3,4 cm, Inv. 29689. Fig. 20.
165. Două sârme răsucite (brățară?), A₃₅, — 1,00 m, L = 7,6 cm, Inv. 29672, Fig. 20.
166. Două șaibe, A₄₈, sub glie, D = 1,1 cm, Inv. 29852, Fig. 25.
167. Sârmă îndoită în buclă, A₄₁, — 0,55 cm, L = 1,5 cm, Inv. 29660. Fig. 25.
168. Garnitură dintr-o tablă îndoită în formă de „U”, A₃₇, — 0,70 m, L = 7,00 cm, Inv. 29798, Fig. 25.
169. Garnitură, același tip, A₃₅, — 0,70 m, L = 8,00 cm, Inv. 29724. Fig. 25.
170. Piesă diformă, posibil, statueta, A₄₁, — 0,60 m, L = 3,00 cm, Inv. 29735, Fig. 25.
171. Bandă, fragmentară, cu găuri pentru știfturi, A₄₆, — 0,60 m, L = 10 cm, l = 1,2 cm, Inv. 29857. Fig. 25.
172. Bandă, fragmentară, A₃₅, — 0,60 m, L = 8,5 cm, l = 1,8 cm, Inv. 29722. Fig. 25.
173. Bandă îndoită în formă de „U”, cu hastele verticale triunghiulare, A₃₅, — 1,60 m, h = 2,7 cm, L = 2,4 cm, l = 1,8 cm, Inv. 29854, Fig. 25.
174. Tablă decorată cu caneluri longitudinale, A₃₈, — 1,15 m, L = 2,4 cm, Inv. 29669. Fig. 25.
175. Tablă decorată cu ove, A₂₈, — 0,90 m, L = 1,8 cm, l = 1,1 cm, Inv. 29826. Fig. 26.
176. Tijă, fragmentară, smrotundă în secțiune, A₁₇, — 1,05 m, L = 5 cm, Inv. 29675. Fig. 26.
177. Fragment dintr-o piesă masivă, cu urme de reparație, A₃₇, — 0,30 m, L = 4,5 cm, l = 2 cm, Inv. 29665.
178. Bară cu un capăt aplatizat și ușor curbat și celălalt teșit, A₃₁, — 1,30 m, L = 8,6 m, Inv. 29905. Fig. 26.
179. Aplică decorativă pe un obiect de lemn, decorată cu cercuri incizate concentrice, se păstrează găurile de la niturile de fixare, A₂₇, — 1,40 m, L = 9 cm, l = 6,7 cm, Inv. 29951. Fig. 27.
180. Piesă decorativă în formă de pion de șah, terminată cu o tijă de fier, A₃₁ — 0,60 m h = 2,6 m, Inv. 30250. Fig. 21.
181. Decor în formă de cap de femeie, terminat cu un știft de fier pentru fixare, din care 2 cm corpul de bronz, A₂₈, — 0,40 m, L = 2,5 cm, Inv. 29723. Fig. 20.
182. Tablă fragmentară, A₃₇, — 0,30 m, L = 4,5 cm, Inv. 29665. Fig. 25.

AUR

183. Inel, compus din lăcaș de fixare pentru piatră, corp traforat, A₃₆, — 1,00 m, D = 1,8 cm, Inv. 29963. Fig. 20.

PLUMB

184. Bară fragmentară, răsucită, secțiune rectangulară, A₃₆, — 1,1 cm, L = 6,8 cm, Inv. 29670. Fig. 29.
185. Obiect fragmentar, utilizat pentru fixarea blocurilor de piatră, A₃₂, — 0,50 m, L = 9,5 cm, Inv. 29767. Fig. 36.

FIER

186. Săpă-târnăcop, prezintă o nervură mediană, orificiu de fixare a cozii, A₂₇, — 0,20 m, L = 27 cm, l = 17 cm, Inv. 29562. Fig. 28.
187. Daltă, prevăzută cu manșon pentru fixare într-o coadă de lemn, secțiune rectangulară, vârf de atac lățit, ușor curbat, A₂₇, — 0,65 m, L = 24,3 cm, diametru manșon = 3,3 cm, lățimea vârfului de atac = 2,5 cm; inelul pentru fixare, D = 4,4 cm, Inv. 29729. Fig. 28.
188. *Stylus*, stare de conservare bună, A₃₈, — 1,15 m, L = 14,1 cm, Inv. 29811. Fig. 29.
189. *Stylus*, fragmentar, A₃₇, — 0,45 m, L = 6,2 cm, Inv. 29700. Fig. 29.

190. Stylus, fragmentar, A_{46} , — 0,80 m, $L = 7,5$ cm, Inv. 29850, Fig. 29.
191. Obiect fragmentar, prezintă o extremitate în formă de lance, A_{38} , — 0,30 m, $L = 8,3$ cm, Inv. 29699, Fig. 29.
192. Vârf, dăltiță (?), A_{42} , — 0,30 m, $L = 6,5$ cm, Inv. 29803, Fig. 29.
193. Vârf săgeată, corp piramidal, peduncul fragmentar, vârful rupt, A_{37} , — 1,10 m, $L = 6,1$ cm, Inv. 29939, Fig. 29.
194. Cheie, bine conservată, A_{41} , — 0,90 m, $L =$ cm, Inv. 29741, Fig. 30.
195. Cheie, cu inelul fragmentar, A_{37} , — 0,40 m, $L = 3,7$ cm, Inv. 29696, Fig. 30.
196. Ac pentru cusut, vârful rupt, A_{35} , — 1,00 m, $L = 15,5$ cm, Fig. 30.
197. Tablă doioită în formă de „S”, A_{47} , — 0,50 m, $L = 4,9$ cm, $l = 2$ cm, Inv. 29943, Fig. 30.
198. Cheie, inel cu limbă ruptă, A_{46} , — 0,80 m, $D = 2,3$ cm, Inv. 29973, Fig. 30.
199. Țintă sanda, A_{36} , — 0,10 m, $L = 1$ cm, Inv. 29679, Fig. 30.
200. Țintă sanda, A_{52} , — 1,00 m, $L = 1,2$ cm, $D = 1,2$ cm, Inv. 29937, Fig. 30.
201. Cuțit convex, vârful rupt, A_{41} , — 0,55 m, $L = 11,8$ cm, $l = 1,5$ cm, Inv. 29736, Fig. 31.
202. Fragment lamă cuțit același tip, A_{47} , — 0,50 m, $L = 5,8$ cm, $l = 1,2$ cm, Inv. 29942, Fig. 31.
203. Lamă cuțit același tip, A_{47} , — 0,50 m, $L = 10,8$ cm, $l = 1,9$ cm, Inv. 29941, Fig. 31.
204. Fibulă de tip *omega*, fragmentară, A_{42} , — 1,25 m, $D = 5$ cm, lungimea acului 5,9 cm, Inv. 29940, Fig. 31.
205. Fibulă cu balama, tip Ancissa târzie, A_{46} , — 1,00 cm, $L = 5,8$ cm, Inv. 29876, Fig. 31.
206. Piesă fragmentară, nedeterminabilă, A_{38} , — 0,90 m, $L = 7,6$ cm, Inv. 29845, Fig. 32.
207. Belciug, fragmentară, A_{41} , — 0,90 m, $L = 3,3$ cm, Inv. 29742, Fig. 32.
208. Obiect nedeterminat, prezintă trei proeminențe ascuțite, A_{38} , — 1,10 m, $L = 5,3$ cm, $l = 1,4$ cm, Inv. 29862, Fig. 32.
209. Piesă, același tip cu precedenta, fragmentară, păstrează doar două proeminențe, A_{36} , — 0,60 m, $L = 4,5$ cm, $l = 1,9$ cm, Inv. 29707, Fig. 32.
210. Idem, fragmentară, A_{37} , — 1,10 m, $L = 4,2$ cm, Inv. 29795, Fig. 32.
211. Idem, fragmentar, A_{46} , — 0,90 m, $L = 4$ cm, Inv. 29844, Fig. 32.
212. Idem, bine conservată, A_{45} , — 0,45 m, $L = 5,1$ cm, $l = 1,8$ cm, Inv. 29728, Fig. 32.
213. Idem, fragmentară, A_{41} , — 1,80 m, $L = 5,4$ cm, Inv. 30236, Fig. 33.
214. Idem, două proeminențe rupte, A_{47} , — 1,60 m, $L = 5,8$ cm, $l = 1,2$ cm, Inv. 30237, Fig. 33.
215. Verigă, A_{27} , — 1,05 m, $D = 5,3$ cm, Inv. 29708, Fig. 33.
216. Cui cu urme de prelucrare, A_{37} , — 0,30 m, $L = 6,2$ cm, Inv. 29706, Fig. 33.
217. Lopățiță fragmentară, cu marginile ușor înălțate, A_{46} , — 1,25 m, $L = 9,5$ cm, $l = 6,6$ cm, Inv. 29938, Fig. 33.
218. Fragment scoabă, A_{38} , — 0,90 m, $L = 4,5$ cm, $l = 2,6$ cm, Inv. 29846, Fig. 33.
219. Scoabă, cu corpul rectangular în secțiune, A_{38} , — 1,20 m, $L = 6$ cm, $l = 2,8$ cm, Inv. 29961, Fig. 33.
220. Scoabă fragmentară, A_{52} , — 0,35 m, $L = 14,1$ cm, $l = 8,8$ cm, Inv. 29945, Fig. 33.
221. Obiect neidentificabil (scoabă ?) cu două brațe, fragmentar, secțiune rectangulară, A_{32} — 0,55 cm, $L = 7,8$ cm, $l = 5,3$ cm, Inv. 29764, Fig. 33.
222. Verigă realizată dintr-o bandă, A_{37} , — 0,75 m, $D = 3$ cm, $l = 1$ cm, Inv. 29747, Fig. 33.
223. Verigă realizată dintr-o bandă îngustă, A_{46} , — 1,15 m, $D = 3,7$ cm, $l = 0,5$ cm, Inv. 29944, Fig. 33.
224. Fragment stylus, parte superioară, A_{47} , — 0,60 m, $L = 3$ cm, Inv. 30238, Fig. 33.
225. Piesă neidentificabilă, fragmentară, A_{47} , — 1,40 m, $L = 5,7$ cm, Inv. 29943, Fig. 33.
226. Piesă neidentificabilă, fragmentară, A_{38} , — 1,00 m, $L = 3,8$ cm, Inv. 30239, Fig. 33.
227. Piesă neidentificabilă, fragmentară (cârlig ?) A_{38} , — 1,00 m, Inv. 30240, Fig. 33.
228. Fragment lamă (cuțit ?), A_{38} , — 0,90 m, Inv. 30241, Fig. 33.
229. Fragment lamă (cuțit ?), A_{38} , — 0,90 m, Inv. 30242, Fig. 33.

STICLĂ

230. Buză butelie, sticlă de culoare verzuie, A_{36} , — 1,00 m, $D = 4,5$ cm, Inv. 2970, Fig. 34.
231. Buză flacon, sticlă incoloră, A_{46} , — 0,30 m, $D = 4$ cm, Inv. 29702, Fig. 34.
232. Buză pahar, sticlă incoloră, A_{27} , — 0,95 m, $D = 9$ cm, Inv. 29655, Fig. 34.
233. Fragment vas (*guttus* ?), sticlă incoloră ușor irizată, A_{49} , — 0,45 m, $L = 3,9$ cm, Inv. 29880, Fig. 34.
234. Fund pahar, cu inel, sticlă incoloră, A_{42} , — 0,30 m, $D = 4$ cm, Inv. 29802, Fig. 34.
235. Fund pahar, cu inel, sticlă irizată, A_{49} , — 0,45 m, $D = 4,5$ cm, Inv. 29727, Fig. 34.

236. Fund pahar, drept, sticlă irizată, A_{43} , — 0,55 m, $D = 3,6$ cm, Inv. 29932. *Fig. 34.*
 237. Fund pahar, drept, sticlă mată, irizată, A_{49} , — 0,60 m, $D = 6,2$ cm, Inv. 29934. *Fig. 34.*
 238. Fund bol, sticlă irizată, fragmentar, A_{48} , — 0,55 m, $D = 7$ cm, Inv. 29933. *Fig. 34.*
 239. Fund bol, sticlă irizată, A_{45} , — 0,95 m, $D = 6,9$ cm, Inv. 29931. *Fig. 34.*
 240. Fund bol, sticlă irizată, A_{46} , — 1,35 m, $D = 6,1$ cm, Inv. 29936. *Fig. 34.*
 241. Fragment corp vas, sticlă irizată, prezintă trei protuberanțe, A_{44} , — 0,45 m, $L = 6,6$ cm, Inv. 29880. *Fig. 34.*
 242. Fragment corp vas, sticlă transparentă, A_{37} , — 0,20 m, $L = 2,8$ cm, Inv. 29705. *Fig. 34.*
 243. Toartă vas, realizată prin turnare, sticlă verzuie, A_{38} , — 0,75 m, $L = 6,3$ cm, Inv. 29710. *Fig. 34.*
 244. Mârgea, pastă de sticlă, de culoare verzuie, irizată, A_{28} , — 0,40 m, $D = 1,3$ cm, Inv. 29656. *Fig. 34.*

CERAMICĂ

45. Fragment statueta teracotă, reprezintă o figură feminină, pastă cărămizie semifină, A_{45} , — 0,30 m, $h = 4,00$ cm, Inv. 29704. *Fig. 35.*
 246. Vas fragmentar, realizat prin turnare, cu reprezentare umană, pastă cărămizie, semifină, A_{27} , — 0,20 m, $h = 9,8$ cm, Inv. 29756. *Fig. 35.*
 247. Opaț, tipul X, fragmentar, pastă cărămizie, biscuit negru, stampilă FORTI, A_{36} , — 1,00 m, $L = 7,8$ cm, $h = 1,9$ cm, Inv. 29697. *Fig. 35.*
 248. Opaț fragmentar, probabil, tipul VII, bordură decorată cu ghindă, toartă lamelară, pastă cărămiziu-gălbuie, cu mică, A_{38} , — 0,20 m, $L = 6,00$ cm, $h = 3,5$ cm, Inv. 29698. *Fig. 35.*
 249. Opaț fragmentar, tipul X, pastă cărămizie, A_{32} , — 0,55 m, $L = 7$ cm, Inv. 29701. *Fig. 35.*
 250. Opaț fragmentar, tipul X, pastă cărămizie, angobă roșie, ștampila CASSI, A_{46} , — 1,40 m, $L = 6,5$ cm, $h = 2,2$ cm, Inv. 29930. *Fig. 35.*
 251. Toartă opaț, pastă cărămiziu-gălbuie, A_{48} , — 0,50 m, $L = 7,5$ cm, Inv. 29751. *Fig. 35.*
 252. Jeton, realizat din perete de vas, pastă cărămiziu-gălbuie, A_{27} , — 0,30 m, $D = 1,7$ cm, Inv. 29653. *Fig. 35.*
 253. Jeton, realizat din perete de vas pastă cărămiziu-gălbuie, A_{27} , — 0,55 m, $D = 2$ cm, Inv. 29654. *Fig. 35.*
 254. Jeton, realizat din perete de vas, pastă cărămiziu-gălbuie, A_{48} , — 0,65 m, $D = 1,9$ cm, Inv. 29928. *Fig. 35.*
 255. Jeton, realizat din perete de vas, pastă cărămiziu-gălbuie, A_{42} , — 1,25 m, $D = 2,3$ cm, Inv. 29927. *Fig. 35.*
 256. Jeton, realizat din perete de vas, pastă cărămiziu-gălbuie cu mică, A_{32} , — 0,30 m, $D = 3,6$ cm, Inv. 29694. *Fig. 35.*
 257. Jeton, realizat din perete de vas, pastă cărămiziu-gălbuie, A_{42} , — 0,60 m, $D = 3,5$ cm, Inv. 29882. *Fig. 35.*
 258. Jeton, realizat din perete de vas, pastă cenușie, A_{51} , — 0,95 m, $D = 3,5$ cm, Inv. 29926. *Fig. 35.*
 259. Jeton, realizat din perete de vas, pastă cărămiziu-gălbuie, A_{49} , — 0,55 m, $D = 3,5$ cm, Inv. 29929. *Fig. 35.*
 260. Jeton, realizat din corp de vas, pastă cărămiziu-gălbuie, A_{37} , — 0,75 m, $D = 5,5$ cm, Inv. 29746. *Fig. 35.*
 261. Corp de vas cu grafiti, pastă cărămizie, cu mică, A_{42} , glie, $L = 10,5$ cm, $l = 5,5$ cm, Inv. 30248. *Fig. 36.*

PIATRĂ

262. Proiectil de formă sferică, A_{32} , — 1,10 m, $D = 8,2$ cm, Inv. 29792. *Fig. 36.*
 263. Proiectil de formă sferică, A_{32} , — 1,10 m, $D = 8,2$ cm, Inv. 29792. *Fig. 36.*

Obiecte descoperite în clădirea EM₃₀

BRONZ

264. Ac, fragmentar, P_9 , — 0,40 m, $L = 6,2$ cm, Inv. 29955. *Fig. 27.*
 265. Fragment tablă bronz, P_9 , — 0,90 m, $L = 4,7$ cm, $l = 0,8$ cm, Inv. 29956. *Fig. 27.*

CERAMICĂ

266. Opaț, tipul X, pastă cenușie, lucrat grosolan, ștampila I,VPATI, P₉, — 0,60 m, I, = 7,6 cm, h = 1,8 cm, Inv. 29946, Fig. 35.
267. Tegulă ștampilată, fragmentară, într-un chenar de forma „*tabula ansata*”, se păstrează ștampila CTV, P₉, — 0,40 m, înălțimea literelor 2,1 cm, lățimea chenarului 3,9 cm, Inv. 29962, Fig. 36.

OS

268. Ac de cusut, urechea ușor lătită și vârful rupt, B₁, stratul de arsură, I, = 11,5 cm, Inv. 29947.

Baza arheologică: obiecte descoperite în săpăturile din secțiunea B₁

BRONZ

269. Verigă, secțiune rotundă, B₁, stratul de arsură, D = 2,1 cm, Inv. 29948, Fig. 27, 9.
270. Țintă semisferică, nitul de fixare rupt, B₁, stratul de arsură, D = 1,9 cm, Inv. 2994, Fig. 27.
271. Fragment fibulă, se păstrează resortul, acul și un mic fragment de corp, B₁, stratul de arsură, I, = 5,6 cm, Inv. 29950, Fig. 27.

MONETE*

Amfiteatrul

IMPERIUL ROMAN

272. As, Augustus, 25,4 × 24,7 mm, 10,59 g, axa 12; conservare mediocră; *Ric I*, p. 75, nr. 431 (Roma, a. 7 a. Ch.); A₄₈, 1,60 m.
273. As, Caligula, 28,1 × 27,7 mm, 10,69 g, axa 7; conservare foarte bună; *RIC I*, p. 111, nr. 38 (Roma, a. 37–38 p.Ch.); A₅₆, — 1,00 m, Inv. 29631.
274. As, Claudius; Germanicus, 29,1 × 28,5 mm, 10,12 g, axa 7; conservare slabă; *RIC I*, p. 129, nr. 106 (Roma, a. 50–54 p.Ch.); A₃₇, — 1,10 m, Inv. 29644.
275. Denar, Vespasianus, 17,8 × 17 mm, 3,30 g, axa 5; conservare bună, ștanța Rv. uzată; *RIC II*, p. 26, nr. 103 (Roma, a. 77–78 p.Ch.); A₃₁, — 0,35 m, Inv. 29629.
276. As, Vespasian, 26,8 × 26,1 mm, 11,26 g, axa 7; conservare bună, Rv. mai tocit; *RIC II*, p. 84, nr. 598 (Roma, a. 77–78 p.Ch.); A₂₇, — 0,79 m, Inv. 29609.
277. Monetă bronz (?), 25,4 × 24,8 mm, 8,20 g, axa 7; foarte tocit, nedeterminabil, după silueta portretul lui Vespasianus sau Titus; A₂₈, — 1,00 m, Inv. 29831.
278. As, Titus, 25,5 × 24,5 mm, 9,18 g, axa 7; tocit, deteriorat; *RIC II*, p. 126, nr. 85 A (Roma, a. 79 p.Ch.) sau p. 131, nr. 134 A (Roma, a. 80–81 p.Ch.); A₄₇, — 1,60 m.
279. As, Domitianus, 27,5 × 26,3 mm, 7,64 g, axa 7; conservare bună, tocit; *RIC II*, p. 188, nr. 270 (Roma, a. 85 p.Ch.); A₂₈, — 0,40 m, Inv. 29959.
280. As, Domitianus, 27,8 × 27,5 mm, 8,62 g, axa 5; conservare slabă; *RIC II*, p. 200, nr. 371 (Roma, a. 88–89 p.Ch.); A₃₈, — 1,10 m, Inv. 29817.
281. As, Domitianus (?), 27,2 × 26,3 mm, 8,41 g, axa ?; foarte tocit, atribuire nesigură, nedeterminabilă; A₂₇, — 0,30 m, Inv. 29607.
282. As, Domitianus (?), 26,4 × 25,7 mm, 7,66 g, axa 6; conservare slabă, atribuire nesigură, nedeterminabilă; A₄₃, — 1,10 m, Inv. 29872.
283. Dupondius, Nerva, 27,7 × 26,7 mm, 11,85 g, axa 6; conservare bună, tocit; *RIC*, p. 22, nr. 75 (Roma, a. 96 p.Ch.); A₆₇, — 0,50 m, Inv. 29606.
284. Dupondius, Nerva, 27,8 × 26,6 mm, 13,53 g, axa 5; tocit, greu lizibil; *RIC II*, p. 299, nr. 99 (Roma, a. 97 p.Ch.); A₃₁, — 0,60 m, Inv. 29614.
285. Denar, suberat, (doar miezul de bronz) Traianus, 19,1 × 18,1 mm, 1,75 g, axa 6; deteriorat, slab conservat, *RIC II*, p. 253, nr. 130 (Roma, a. 103–111 p.Ch.); A₃₆, — 0,60 m, Inv. 29612.
286. Sesterius, Traianus, 33,5 × 32,2 mm, 20,87 g, axa 6; conservare slabă; *RIC II*, p. 275, nr. 426 (?) (Roma, a. 101–102 p.Ch.); A₄₃, — 0,20 m, Inv. 29807.

* Monetele au fost determinate de d-nul Radu Ardevan, căruii îi mulțumim și pe această cale.

287. Sestertius, Traianus, 35,2 × 33,2 mm, 20,80 g, axa 6; corodat, deteriorat; *RIC* II, p. 282, nr. 534 (Roma, a. 103–111 p.Ch.); A_{31} , — 0,60 m, Inv. 29631.
288. Sestertius, Traianus, 32,7 × 30,5 mm, 23,21 g, axa 6; conservare bună, legenda parțial ilizibilă; *RIC* II, p. 284, nr. 564 (Roma, a. 103–111 p.Ch.); — var. Av.; bustul laureat și drapat pe umărul stâng; A_{41} , — 0,55 m, Inv. 29830.
289. Sestertius, Traianus, 33,7 × 32,7 mm, 22,49 g, axa 6; conservare slabă; *RIC* II, p. 288, nr. 627 (Roma, a. 112–114 p.Ch.); A_{38} , — 0,80 m, Inv. 29745.
290. Sestertius, Traianus, 34,1 × 33,5 mm, 27,69 g, axa 6; conservare mediocră; *RIC* II, p. 291, nr. 658 (Roma, a. 114–116 p.Ch.); A_{41} , — 1,00 m, Inv. 29858.
291. Dupondius, Traianus, 27,2 × 26,6 mm, 13,52 g, axa 6; conservare slabă, tocit; cf. *RIC* II, p. 272, nr. 382, 385; p. 273, nr. 398, 406; p. 274, nr. 411; p. 275, nr. 428; p. 276, nr. 444; p. 277, nr. 454; (Roma, a. 93–103 p.Ch.); A_{44} , — 0,55 m, Inv. 29804.
292. Dupondius, Traianus, 26,5 × 26 mm, 9,65 g, axa 6; conservare mediocră; *RIC* II, p. 279, nr. 484 (Roma, a. 103–111 p.Ch.); A_{38} , — 1,10 m, Inv. 29819.
293. Dupondius, Traianus, 28,5 × 28,4 mm, 10,43 g, axa 7; conservare slabă, Rv. complet tocit, nedeterminabil (pentru legenda Av., cf. *RIC* II, p. 277 sq., Roma, a. 103–111 p.Ch.); A_{28} , — 0,40 m, Inv. 29621.
294. Dupondius, Traianus, 26,4 × 24,4 mm, 9,68 g, axa 55; conservare slabă, tocit; *RIC* II, p. 287, nr. 605 (Roma, a. 112–114 p.Ch.); A_{41} , — 0,20 m, Inv. 29646.
295. Dupondius, Traianus, 26,4 × 26,3 mm, 10,21 g, axa 7; conservare slabă, deteriorat; *RIC* II, p. 292, nr. 676 (Roma, a. 114–117 p.Ch.); A_{28} , — 0,60 m, Inv. 29616.
296. Dupondius, Traianus (?), 26,8 × 26,7 mm, 10,32 g, axa ?; foarte tocit, atribuire nesigură, nedet. minabil; A_{35} , — 0,70 m, Inv. 29619.
297. As, Traianus, 26,2 × 26 mm, 9,35 g, axa 6; conservare bună, circulat; *RIC* II, p. 275, nr. 434 (Roma, a. 101–102 p.Ch.); A_{35} , — 0,20 m, Inv. 29618.
298. As, Traianus, 27,3 × 26,5 mm, 9,62 g, axa 6; conservare slabă, tocit; *RIC* II, p. 279, nr. 483 Roma, a. 103–111 p.Ch.); A_{37} , — 0,30 m, Inv. 29636.
299. As, Traianus, 27,6 × 27,4 mm, 11,19 g, axa 6; conservare mediocră, deteriorat; *RIC* II, p. 286, nr. 593 (Roma, a. 112–114 p.Ch.); A_{37} , — 0,90 m, Inv. 29822.
300. Sestertius, Hadrianus, nr. 34,5 × 33,1 mm, 21,46 g, axa 7; conservare slabă; tocit; *RIC* II, p. 405, nr. 535 (a), (Roma, a. 117 p.Ch.); A_{31} , — 0,30 m, Inv. 29624.
301. Sestertius, Hadrianus, 32,2 × 31,8 mm, 23,64 g, axa 6; conservare mediocră; *RIC* II, p. 411, nr. 562 b (Roma, a. 119–121 p.Ch.); A_{48} , — 0,35 m, Inv. 29900.
302. Sestertius, Hadrianus, 33,9 × 33,7 mm, 20,70 g, axa 6; conservare foarte bună; *RIC* II, p. 411, nr. 563 b (Roma, a. 119–122 p.Ch.); A_{37} , — 1,40 m, Inv. 29863.
303. Sestertius, Hadrianus, 32,9 × 32,1 mm, 21,21 g, axa 6; foarte tocit; *RIC* II, p. 440, nr. 788 (?), (Roma, a. 134–138 p.Ch.); A_{38} , — 0,20 m, Inv. 29641.
304. Dupondius, Hadrianus, 26,4 × 25 mm, 12,79 g, axa ?; tocit, Rv. complet distrus; după forina legendei Av. (Roma, a. 119–121 p.Ch.); (cf. *RIC* II, p. 413–419); descoperire fortuită, Inv. 29925.
305. Dupondius, Hadrianus, 26,7 × 23,8 mm, 12,16 g, axa 6; conservare mediocră, deteriorat; *RIC* II, p. 426, nr. 657 (Roma, a. 125–128 p.Ch.); A_{47} , — 1,25 m, Inv. 29895.
306. Dupondius, Hadrianus, 25,9 × 24,8 mm, 11,81 g, axa 7; tocit, deteriorat; hidrid; Av. *RIC* II, p. 418, nr. 601 (dar portretul g — dreapta și cuirasat, Rv. *RIC* II, p. 482, nr. *RIC* II, p. 418, nr. 601 (dar portretul g — dreapta și cuirasat, Rv. *RIC* II, p. 482, nr. 1047 (L. Aelius Caesar, Roma, a. 137 p.Ch.); dar *Pietas* spre dreapta; A_{37} , — 1,10 m (lângă Z_2 , din profil, tencuiala rămasă de la Z_2) Inv. 29957.
307. As, Hadrianus, 27,2 × 27 mm, 9,80 g, axa 6; conservare slabă; tocit; *RIC* II, p. 412, nr. 576 (Roma, a. 119–121 p.Ch.); A_{48} , — 0,35 m, Inv. 29899.
308. As, Hadrianus, 35,8 × 25,4 mm, 10,16 g, axa 7; conservare slabă, greu lizibil; *RIC* II, p. 426, nr. 664 (Roma, a. 125–128 p.Ch.); dar var. Av. (portret d) și Rv. (Minerva?); A_{31} , — 0,50 m, Inv. 29628.
309. As, Hadrianus, 25,1 mm, 9,73 g, axa 6; conservare slabă; *RIC* II, p. 426, nr. 665 (Roma, a. 125–128 p.Ch.); A_{38} , — 1,10 m, Inv. 29838.
310. As, Hadrianus, 27,3 × 25,2 mm, 9,42 g, axa 5; conservare slabă; *RIC* II, p. 427, nr. 678 (Roma, a. 127–128 p.Ch.); A_{35} , — 0,70 m, Inv. 29617.
311. As, Hadrianus, 26,9 × 26 mm, 11,33 g, axa 6; conservare mediocră, deteriorat; *RIC* II, p. 427, nr. 678 (Roma, a. 125–128 p.Ch.); A_{35} , — 0,70 m, Inv. 29620.
312. As, Hadrianus, 26 × 25,2 mm, 10,72 g, axa 6; conservare mediocră. *RIC* II, p. 427 nr. 678 (Roma, a. 125–128 p.Ch.); A_{37} , — 1,10 m, Inv. 29821.

313. As. Hadrianus, 26,3 × 24,8 mm, 7,50 g, axa 6; conservare bună, mici deteriorări, flan foarte subțire; *RIC* II, p. 432, nr. 708 (Roma, a. 132–134 p.Ch.); A_{44} , — 1,25 m, Inv. 29853.
314. As. Hadrianus, 27,2 × 25,3 mm, 10,07 g, axa 6; conservare bună, deteriorat; *RIC* II, p. 432, nr. 714 (Roma, a. 132–134 p.Ch.); A_{45} , Inv. 29818.
315. As. Hadrianus, 27,5 × 25,4 mm, 8,52 g, axa 7; conservare slabă deteriorat; *RIC* II, p. 433, nr. 719 (Roma, a. 132–134 p.Ch.); A_{37} , — 1,90 m (la 3,10 m de la Z_4).
316. As. Hadrianus, 26,5 × 26 mm, 11,80 g, axa 12; conservare foarte bună; *RIC* II, p. 447, nr. 580 (Roma, a. 134–138 p.Ch.); A_{43} , — 0,70 m, lângă Z_3 , Inv. 29885.
317. As. Hadrianus, 27 × 26 mm, 8,67 g, axa 6; conservare mediocră; *RIC* II, p. 441, nr. 796 (Roma, a. 134–138 p.Ch.); A_{42} , — 0,95 m, Inv. 29871.
318. As. Hadrianus, 25,9 × 24,1 mm, 13,47 g, axa 6; conservare mediocră; *RIC* II, p. 443, nr. 812 (Roma, a. 134–138 p.Ch.); A_{47} , — 1,60 m (la 2 m de Z_3), Inv. 29896.
319. As. Hadrianus, 28,1 × 25,4 mm, 10,03 g, axa 5; conservare bună; *RIC* II, p. 444, nr. 827 (Roma, a. 134–138 p.Ch.); A_{47} , — 1,25 m (la 2 m de Z_3), Inv. 29898.
320. As. Hadrianus, 26,7 × 23,9 mm, 12,71 g, axa 12; conservare foarte bună; *RIC* II, p. 446, nr. 839 (Roma, a. 134–138 p.Ch.); A_{33} MP, — 0,30 m, Inv. 29608.
321. As. Hadrianus, 26 × 25,3 mm, 10,53 g, axa 6; conservare foarte bună; *RIC* II, p. 447, nr. 848 (Roma, a. 134–138 p.Ch.); A_{37} MP, — 0,50 m, Inv. 29605.
322. As. Hadrianus, 25,7 × 24,8 mm, 9,64 g, axa 11; conservare bună; *RIC* II, p. 463, nr. 939 (Roma, a. 134–138 p.Ch.); A_{33} , — 0,45 m, Inv. 29652.
323. Denar. Hadrianus, Sabina, 18 × 17,3 mm, 2,90 g, axa 6; conservare bună; *RIC* II, p. 386, nr. 391 (Roma, a. 117–128 p.Ch.); — variantă Rv.: *Concordia* șade spre stânga cu patera în dreapta și cu cotul pe cornul abundenței; A_{31} , — 0,30 m, Inv. 29625.
324. Sestertius, Hadrianus, Sabina, 27,8 × 27,7 mm, 15,71 g, axa 6; conservare bună; *RIC* II, p. 475, nr. 1019 (Roma, a. 132–134 p.Ch.); A_{38} , — 1,20 m, Inv. 29924.
325. Dupondius, Hadrianus, Sabina, 27,9 × 26,7 mm, 13,90 g, axa 7; conservare bună, Rv. deteriorat; *RIC* II, p. 476, nr. 1023 (Roma, a. 134–134 p.Ch.); A_{31} , — 1,15 m (2,65 m de la Z_2), Inv. 29958.
326. As. Hadrianus, Sabina, 28,4 × 25,8 mm, 9,52 g, axa 5; conservare mediocră; *RIC* II, p. 478, nr. 1038 (Roma, a. 128–134 p.Ch.); A_{44} , — 1,50 m, Inv. 29894.
327. As. Hadrianus, Sabina, 25,5 × 25 mm, 13,80 g, axa 6; conservare bună; *RIC* II, p. 478, nr. 1046 (Roma, a. 128–134 p.Ch.); A_{28} , — 0,50 m, Inv. 29604.
328. As. Hadrianus, Sabina, 24,7 × 24,4 mm, 11,02 g, axa 5; conservare mediocră; *RIC* II, p. 479, nr. 1047 (Roma, a. 134–136 p.Ch.); A_{43} , — 1,10 m (lângă Z_3), Inv. 29890.
329. As. Hadrianus (postum), 27,4 × 25,7 mm, 8,72 g, axa 6; conservare bună; *RIC* II, p. 469, nr. 975 (Roma, a. 138–139 p.Ch.); A_{41} , — 0,25 m, Inv. 29645.
330. As. Hadrianus (postum), 26 × 24,8 mm, 8,93 g, axa 6; conservare slabă, corodat; *RIC* II, p. 469, nr. 975 (Roma, a. 138–139 p.Ch.); A_{31} , — 1,40 m, Inv. 29889.
331. As. Hadrianus, (postum), 27,6 × 27,3 mm, 11,63 g, axa 5; conservare mediocră; *RIC* II, p. 469, nr. 975 (Roma, a. 138–139 p.Ch.); A_{10} , — 1,15 m.
332. Sestertius, Antoninus Pius, 33,1 × 32,9 mm, 28,90 g, axa 6; conservare bună; *RIC* III, p. 109, nr. 612 (Roma, a. 140–144 p.Ch.); A_{47} , — 1,29 m (la 2,70 m față de Z_3), Inv. 29897.
333. Sestertius, Antoninus Pius, 31,3 × 30,1 mm, 23,61 g, axa 5; conservare bună; *RIC* III, p. 124, nr. 770 (Roma, a. 145–161 p.Ch.); A_{36} , — 0,60 m, Inv. 29610.
334. Sestertius, Antoninus Pius, 30,7 × 30,3 mm, 23,15 g, axa 11; conservare bună; *RIC* III, p. 124, nr. 772 (Roma, a. 145–161 p.Ch.); A_{46} , — 1,50 m (în Z_3), Inv. 29893.
335. Dupondius, Antoninus Pius, 26,5 × 23,4 mm, 13,93 g, axa 6; conservare bună; *RIC* III, p. 128, nr. 802 (Roma, a. 145–161 p.Ch.); — probabil 145–146 p.Ch. (cf. p. 8); A_{38} , — 1,00 m, Inv. 29630.
336. Dupondius, Antoninus Pius, 26,5 × 25,8 mm, 17,74 g, axa 11; conservare bună; *RIC* III, p. 128, nr. 808 (Roma, a. 145–161 p.Ch.); A_{41} , — 0,95 m, Inv. 29806.
337. Dupondius, Antoninus Pius, 24,5 × 22,9 mm, 8,69 g, axa 6; conservare bună; *RIC* III, p. 141, nr. 919 (Roma, a. 153–154 p.Ch.); A_{41} , — 0,80 m (lângă Z_2), Inv. 29886.
338. Dupondius, Antoninus Pius, 26,2 × 26 mm, 15,33 g, axa 5; conservare foarte bună; *RIC* III, p. 146, nr. 969 (Roma, a. 156–157 p.Ch.); A_{31} , — 0,70 m, Inv. 29615.
339. Dupondius, Antoninus Pius, 23,7 × 22,8 mm, 12,81 g, axa 11; conservare mediocră; *RIC* III, p. 146, nr. 969 (Roma, a. 156–157 p.Ch.); A_{49} , — 0,70 m, Inv. 29901.
340. Dupondius, Antoninus Pius, 23,2 × 22,9 mm, 10,38 g, axa 5; conservare bună; *RIC* III, p. 146, nr. 969 (Roma, a. 156–157 p.Ch.); A_{41} , — 0,40 m (la 1,30 m de Z_3), Inv. 29650.

341. As, Antoninus Pius, $28,3 \times 25,5$ mm, 11,00 g, axa 12; conservare bună; RIC III, p. 115, nr. 675 (Roma, a. 140—144 p.Ch.); A_{31} , — 0,70 m, Inv. 29626.
342. As, Antoninus Pius, $27,6 \times 25,8$ mm, 10,43 g, axa 6; conservare bună, atacat de oxizi; RIC III, p. 120, nr. 732 (Roma, a. 140—144 p.Ch.); A_{36} , — 0,80 m, (la 3,10 m de Z_3), Inv. 29648.
343. As, Antoninus Pius, $28,7 \times 27,2$ mm, 10,16 g, axa 11; conservare mediocră; RIC III, p. 120, nr. 738 (Roma, a. 143—144 p.Ch.); A_{41} , — 1,30 m, Inv. 29869.
344. As, Antoninus Pius, $26,2 \times 24,5$ mm, 10,20 g, axa 6; conservare bună, grafie și desen stângace (fals?); RIC III, p. 130, nr. 826 (Roma, a. 145—161 p.Ch.); A_{37} , — 1,10 m, Inv. 29805.
345. As, Antoninus Pius, $25,7 \times 24,6$ mm, 9,09 g, axa 6; conservarea mediocră; RIC III, p. 156, nr. 880 (Roma, a. 149—150 p.Ch.); A_{37} , — 0,90 m, Inv. 29740.
346. As, Antoninus Pius, $28,3 \times 26,4$ mm, 11,7 g, axa 11; conservare mediocră; RIC III, p. 144, nr. 955 (Roma, a. 155—156 p.Ch.); A_{31} , — 0,30 m, Inv. 29623.
347. As, Antoninus Pius: diva Faustina I, $26 \times 24,3$ mm, 11,53 g, axa 11; conservare bună, Rv. cam tocit; RIC III, p. 167, nr. 1171 (Roma, post 141 p.Ch.); A_{37} , — 0,10 m, Inv. 29633.
348. As, Antoninus Pius: Aurelius Caesar, $26,5 \times 25,3$ mm, 10,36 g, axa 5; conservare slabă; RIC III, p. 174, nr. 1238 (Roma, a. 140—144 p.Ch.); A_{42} , — 1,10 m (lângă Z_3), Inv. 29891.
349. As, Antoninus Pius: Aurelius Cacsar, $26,2 \times 25,5$ mm, 9,50 g, axa 6; conservare bună; RIC III, p. 17, nr. 1256 (Roma, a. 145—146) p.Ch.); A_{47} , — 0,80 m (lângă Z_3), Inv. 29870.
350. As, Antoninus Pius, Aurelius Caesar, 26×25 mm, 10,84 g, axa 12; conservare mediocră; RIC III, p. 177, nr. 1269 (Roma, a. 145 p.C.); A_{36} , — 0,50 m, Inv. 29627.
351. As, Antoninus Pius: Aurelius Caesar, $26,3 \times 24,2$ mm, 8,83 g, axa 7; conservare slabă; RIC III, p. 178, nr. 1271 b (Roma, a. 147—148 p.Ch.); A_{37} , — 0,60 m, Inv. 29651.
352. As, Antoninus Pius: Aurelius Caesar, $25,1 \times 23,6$ mm, 11,05 g, axa 10; conservare slabă; RIC III, p. 185, nr. 1351 (Roma, a. 155—156 p.Ch.); A_{49} , — 0,65 m, Inv. 29902.
353. As, Antoninus Pius: Faustina II, $26,8 \times 26,1$ mm, 11,78 g, axa 6; conservare mediocră; RIC III, p. 194, nr. 1401 (Roma, a. 145—146 p.Ch.); A_{37} , — 0,90 m, In . 29810.
354. As, Antoninus Pius: Faustina II, $24,8 \times 24,3$ mm, 10,38 g, axa 6; conservare mediocră, Rv. corodat; RIC III, p. 193, nr. 1390 (Roma, a. 156—161 p.C.); A_{48} , — 1,00 m, Inv. 29868.
355. Sestertius, Marcus Aurelius: divus Antoninus, $32,5 \times 31,6$ mm, 27,60 g, axa 11; conservare excelentă; RIC III, p. 315, nr. 1266 (Roma, post a. 161 p.Ch.); A_{31} , — 0,30 m, Inv. 29622.
356. Sestertius, Marcus Aurelius, $30,6 \times 29,5$ mm, 23,44 g, axa 12; conservare slabă, flan rombic; RIC III, p. 282, nr. 871 (Roma, dec. 163—dec. 164, p.Ch.); A_{36} , — 0,20 m, Inv. 29640.
357. Dupondius, Marcus Aurelius, $24,2 \times 23,3$ mm, 10,73 g, axa 7; conservare mediocră; RIC III, p. 298, nr. 1065 (Roma, dec. 172—dec. 173 p.Ch.); sau p. 300, nr. 1100 (Roma, dec. 173—dec. 174 p.Ch.); A_{41} , — 1,00 m, In . 29809.
358. Dupondius, Marcus Aurelius, $26,1 \times 24,4$ mm, 16,75 g, axa 11; conservare foarte bună; RIC III, p. 306, nr. 1186 (Roma, dec. 176—toamna 177 p.Ch.); A_{32} , — 0,30 m, Inv. 29635.
359. As, Marcus Aurelius, $24,4 \times 23,4$ mm, 8,92 g, axa 5; conservare slabă, tocit, deteriorat; RIC III, p. 292, nr. 985 (Roma, dec. 169—dec. 170 p.Ch.); A_{37} , — 0,10 m, Inv. 29634.
360. As, Marcus Aurelius, $26,1 \times 25,7$ mm, 9,33 g, axa 5; conservare bună; RIC III, p. 301, nr. 1107 (Roma, dec. 173—iunie 174 p.Ch.); A_{41} , — 1,00 m, Inv. 29808.
361. As, Marcus Aurelius, $26,1 \times 24,9$ mm, 11,19 g, axa 11; conservare mediocră, RIC III, p. 307, nr. 1195 (Roma, dec. 176—toamna 177 p.Ch.).
362. Dupondius, Lucius Verus, $25,9 \times 25,7$ mm, 15,50 g, axa 11; conservare excepțională; RIC III, p. 317, nr. 1293 (Roma, a. 161 p.Ch.); A_{37} , — 0,80 m (la 2,60 m de Z_3), Inv. 29647.
363. As, Marcus Aurelius: Faustina II, $25,7 \times 24,2$ mm, 11,40 g, axa 12; conservare bună; RIC III, p. 348, nr. 1683 (Roma, a. 161—175 p.Ch.); A_{36} , — 0,60 m, Inv. 29611.
364. Sestertius, Marcus Aurelius: Commodus Augustus, $31,3 \times 30,4$ mm, 20,08 g, axa 5; conservare mediocră; RIC III, p. 341, nr. 1588 (Roma, a. 178, p.Ch.); A_{37} , — 0,70 m, Inv. 29649.

GERME (Lydia, provincia Asia)

365. Monetă bronz roșcat, $26,7 \times 25,9$ mm, 12,01 g, axa 10; foarte corodată, Av. complet șters, pe Rv. legenda distrusă, în câmp se văd trei figuri feminine în picioare spre stânga; a doua jumătate a sec. I p.Ch.(?); *Head*, p. 650—651; A₃₉, din glie, Inv. 29638.

MARCIANOPOLIS (Moesia Inferior)

366. Monetă bronz, $17,1 \times 16,5$ mm, 2,70 g, axa 1; conservare mediocră; *Pick* 1/1, p. 197, nr. 538 (sec. III p.Ch.); A₃₇. — 0,30 m, Inv. 29637.

NICAEA (Bithynia)

367. Monetă bronz, Severus Alexander (222—235 p.Ch.), $20,3 \times 20$ mm, 4,65 g, axa 6; conservare slabă; Av.: M AYP CEY A (...) CT AV. Bust laureat dr., cerc perlat; Rv.: NIKAI(E)N. Trei acvile legionare; cf. *Head*, p. 516—517; A₃₈. — 1,00 m, Inv. 29632.
368. Monetă bronz, Severus Alexander (222—235 p.Ch.); 20×18 mm, 3,36 g, axa 7; conservare slabă; Av.: M AYP CE A (...) Bust laureat și drapat dr., cerc perlat; Rv.: N(IK)A(I)/E(N). Trei acvile legionare, cerc perlat; cf. *Head*, p. 516—517; A₃₈. — 0,25 m, Inv. 29463.
369. Monetă bronz, Severus Alexander (222—235 p.Ch.), $20,5 \times 17,7$ mm, 4,36 g, axa 6; conservare slabă, corodată; Av.: ... Cap laureat dr.; Rv.: (N)IKAI(E)/(N). Trei acvile legionare; cf. *Head*, p. 516—517. A₃₈. — 0,30 m, Inv. 29642.
- TABAE? (Caria provincia Asia)
370. Monetă bronz, $23,6 \times 22,7$ mm, 4,90 g, axa 1; conservare slabă, nedeterminabilă; Av.: ... KAI(CAP?) ... Profil masculin tânăr dr., cap gol; Rv.: ... HN N. Figură feminină în picioare, capul spre st., ține ceva în dr. și ridică din cot st.; A₂₂ 2 (profil), — 0,60 m

INCERTA

371. Monetă bronz, $25,1 \times 24$ mm, 9,99 g, axa 11(?); conservare slabă, nedeterminabilă; Av.: Cap laureat(?). (seamănă cu Traian?), Rv.: Siluetă umană înaripată, îngemuncheată spre dr. (Victoria?). A₃₈. — 0,20 m, Inv. 29639.
372. Monetă bronz, $21,7 \times 21,4$ mm, 6,14 g, axa ?; conservare slabă, foarte tocită, nedeterminabilă. A₄₂. — 1,20 m (lângă Z₃), Inv. 29892.

DORIN ALICU — VICTOR POPA — EMILIAN BOTA

ARCHAEOLOGICAL RESEARCHES IN ULPIA TRAIANA SARMIZEGETUSA.

The campaign of 1994

(Abstract)

In the archaeological campaign of 1994, researches were carried out in three different locations: the amphitheater, buildings EM_{30 31}, the yard of the archaeological Base.

1. The Amphitheater: Continuing the work of the previous campaign, the *maenianum primum*, the southern area of the amphitheater and sectors XIII—XIX were researched.

13 cases were opened, revealing the wood stage, precursor to the stone construction. The wooden column alignments I and II were identified, its traces being marked by the ditches carried out in the ancient soil where they had been secured.

A large quantity of archaeological material and coins were collected, together with several objets lost through the steps by the audience. The space under the stand proved to have been void of ground and the southern box belonged to the wood stage of the edifice.

All the discoveries confirm the suggested chronology as a result of the researches in the previous campaign.

2. **Buildings EM₃₀₋₃₁:** The controls of the previous campaigns were canceled and the South-Western corner of building EM₃₁ was uncovered. Two tiles inscribed with cursive Latin were found. No new elements concerning the chronology or the construction technique of the objective were found.

3. **The yard of the archaeologic Base:** The diggings were generated by the necessity of extending northward the main building of the Base. The elements of a Roman building were revealed, destroyed partly by modern construction and foundation works.

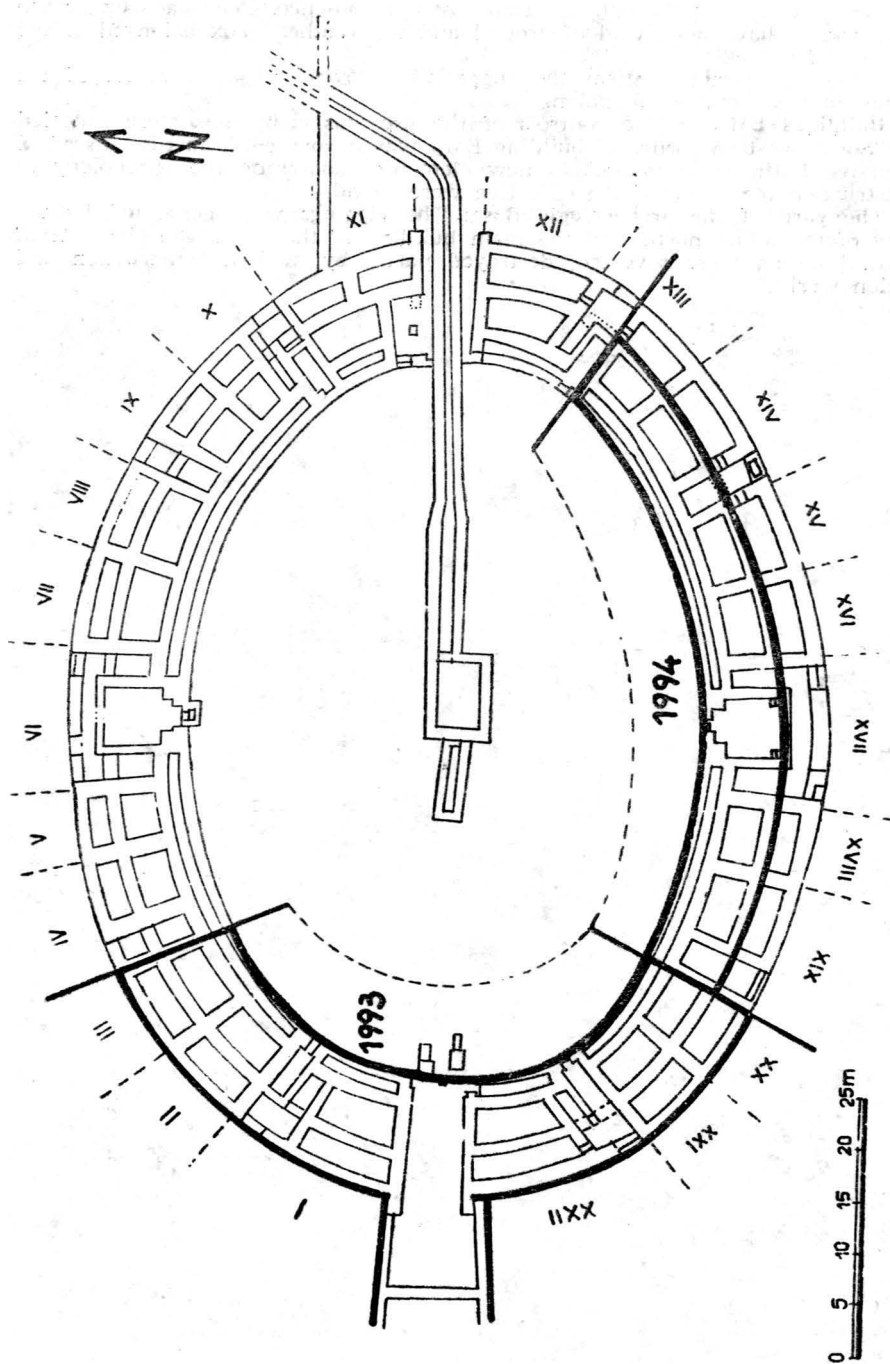


Fig. 1. Plan general amfiteatru.

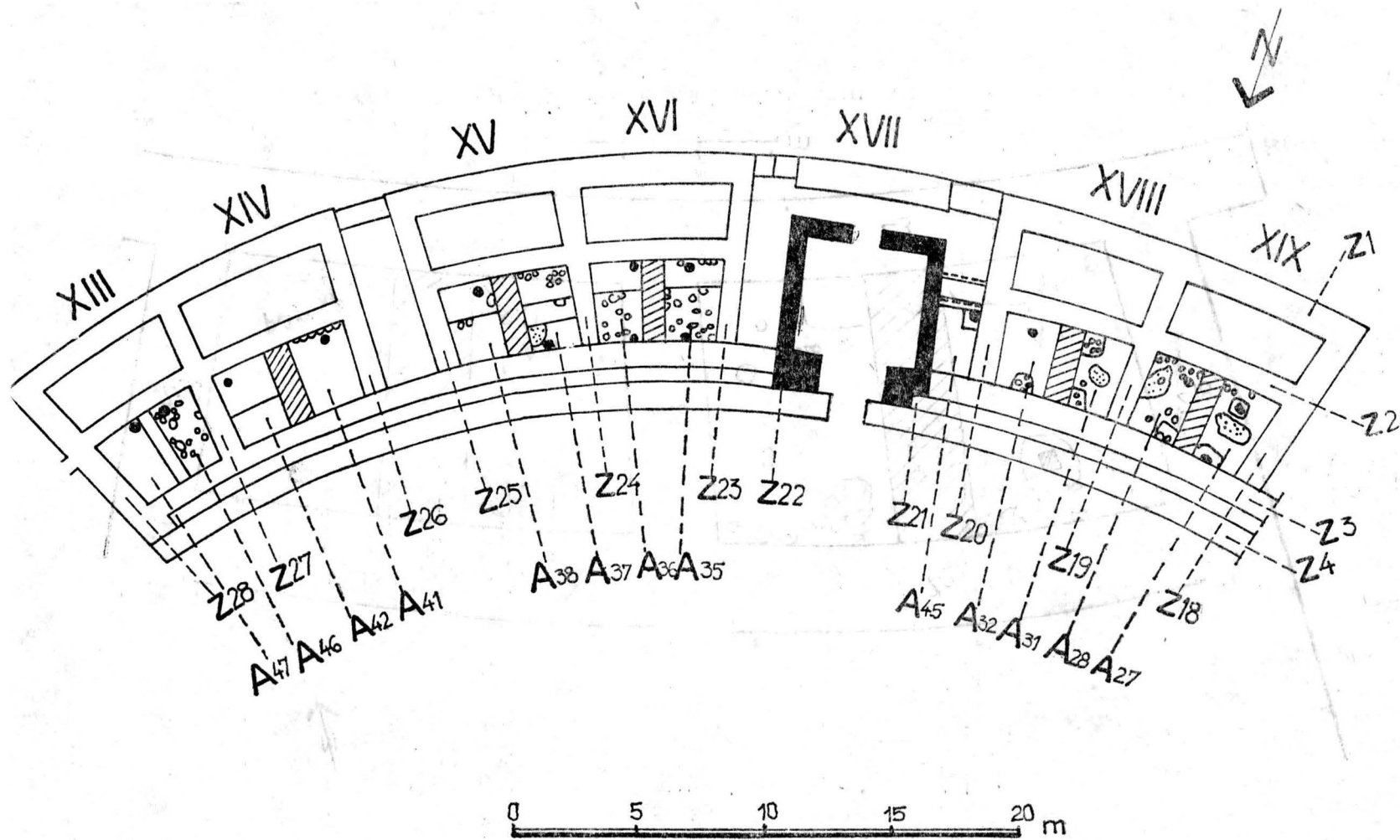


Fig. 2. Plan general al săpăturilor efectuate în anul 1994 în amfiteatru.

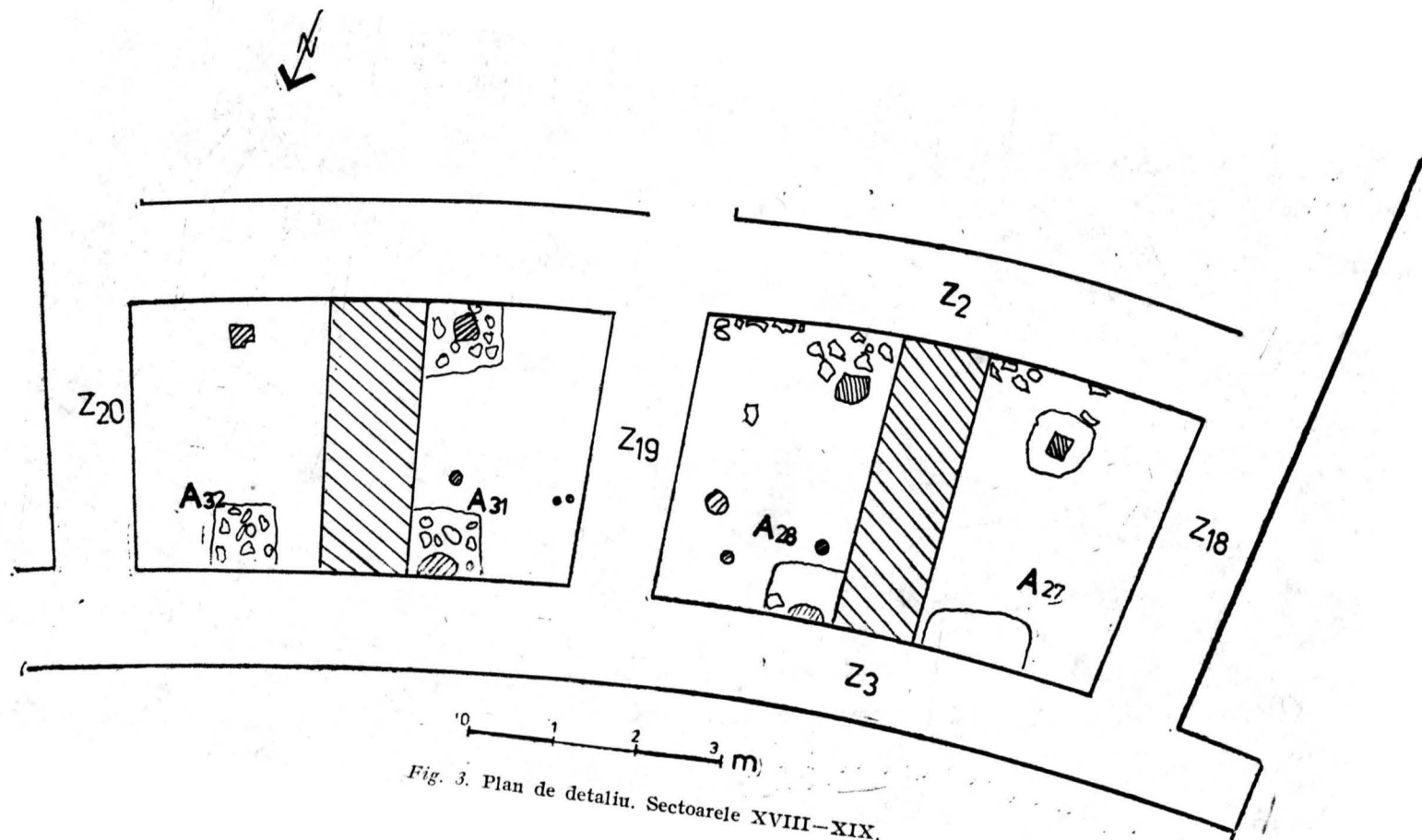


Fig. 3. Plan de detaliu, Sectoarele XVIII-XIX.

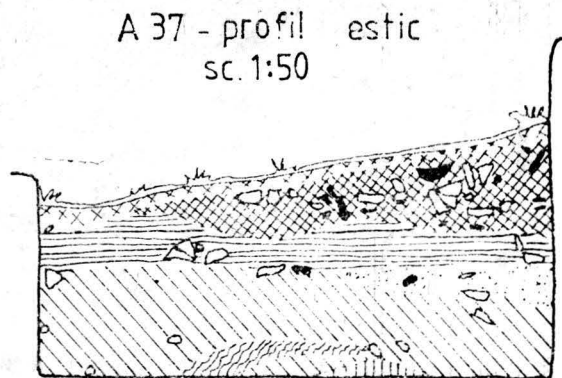
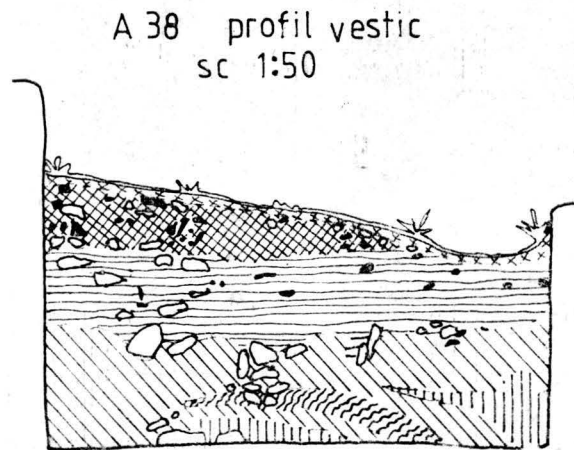
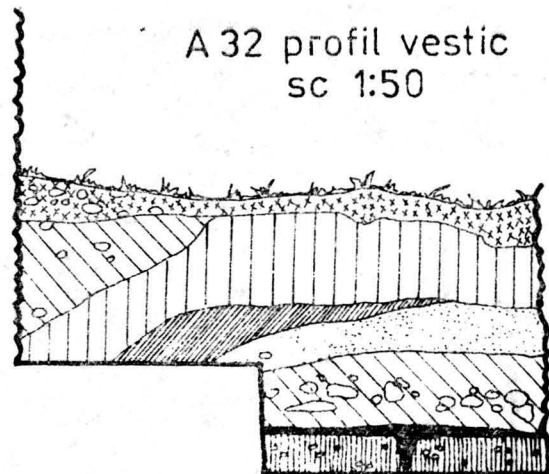
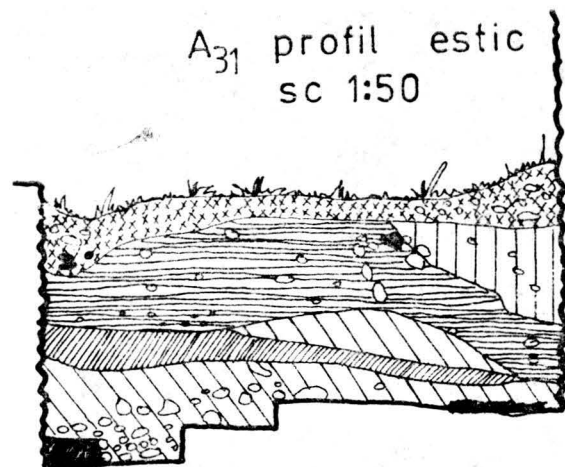
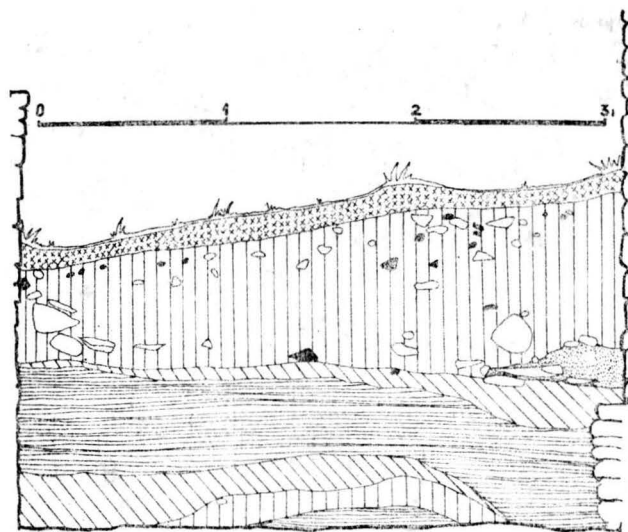
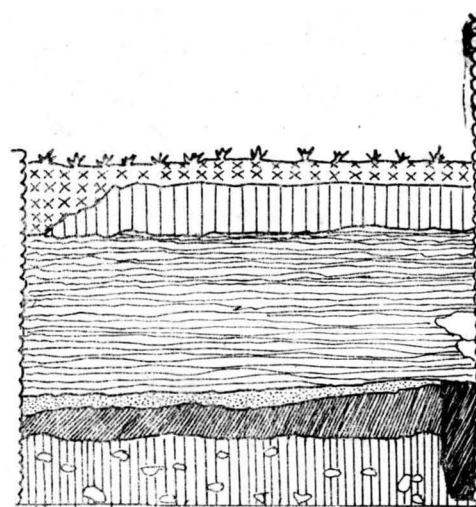


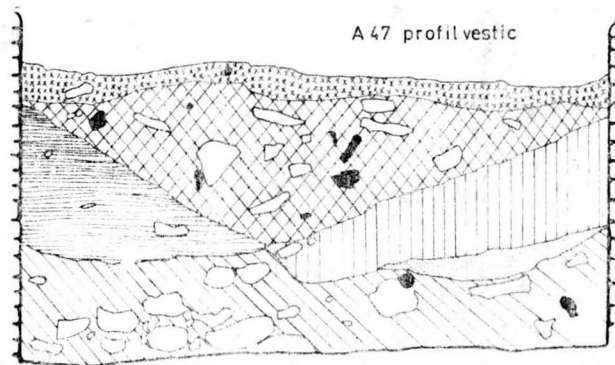
Fig. 4. Profile. Casetele A₃₁, A₃₂, A₃₇, A₃₈.



A41 profil estic



A45 profil sudic



A47 profil vestic

LEGENDA

-  STRAT STERIL
-  HUMUS ANTIC
-  NIVEL DE CONSTRUCȚIE
-  GROPI MODERNE
-  UMLUTURI
-  NIVEL DE DĂRĂMĂTURĂ
-  GLIE
-  CĂRĂMIDĂ
-  DOLOVANI
-  AMPRENTĂ STĂLP
-  GROAPĂ DE IMPLANTARE STĂLP
-  UMLUTURĂ SANITURI
-  GROPI ANTICE

Fig. 5. Profile. Casetele A₄₁, A₄₅, A₄₇.

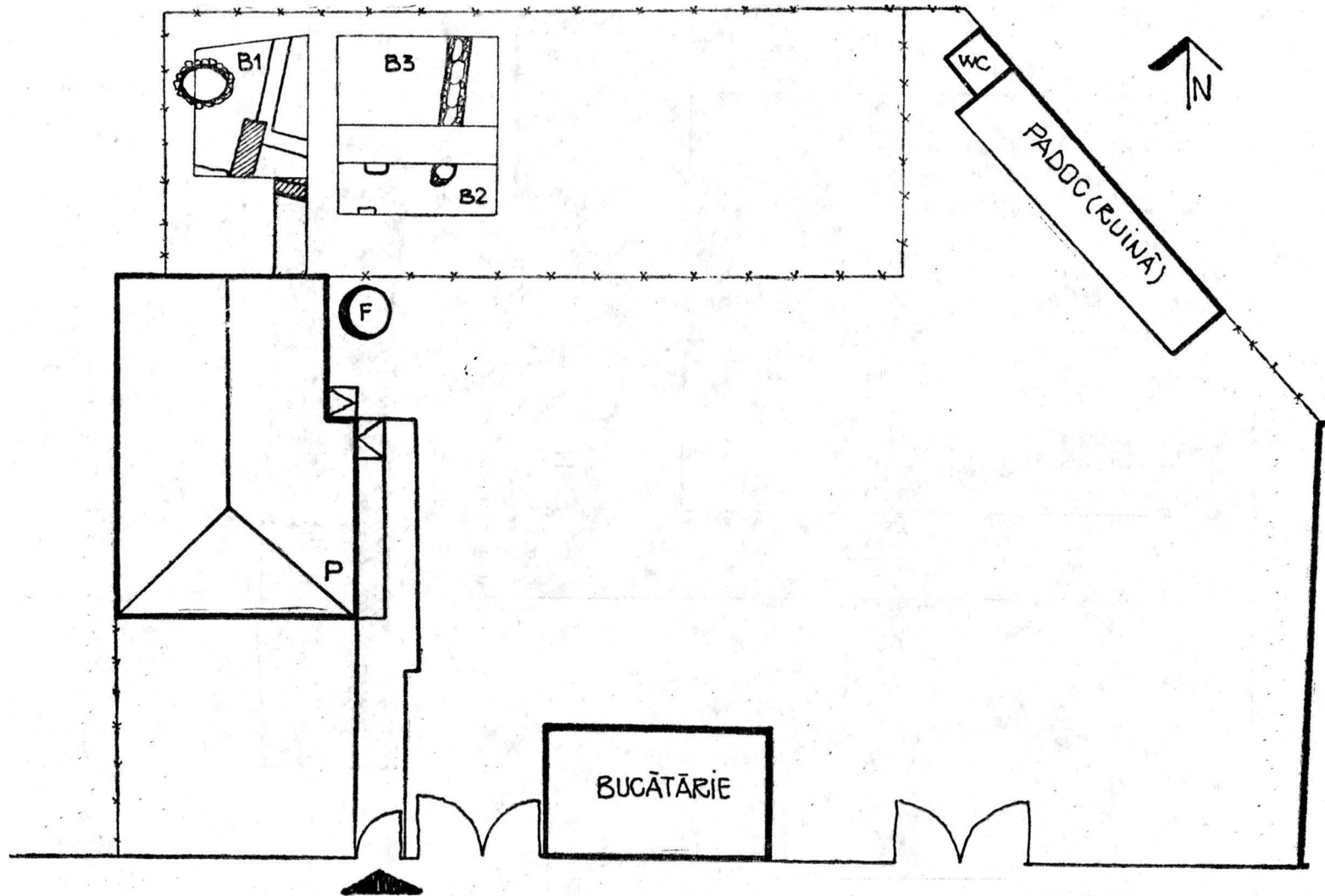


Fig. 6. Plan de situație. Baza arheologică.

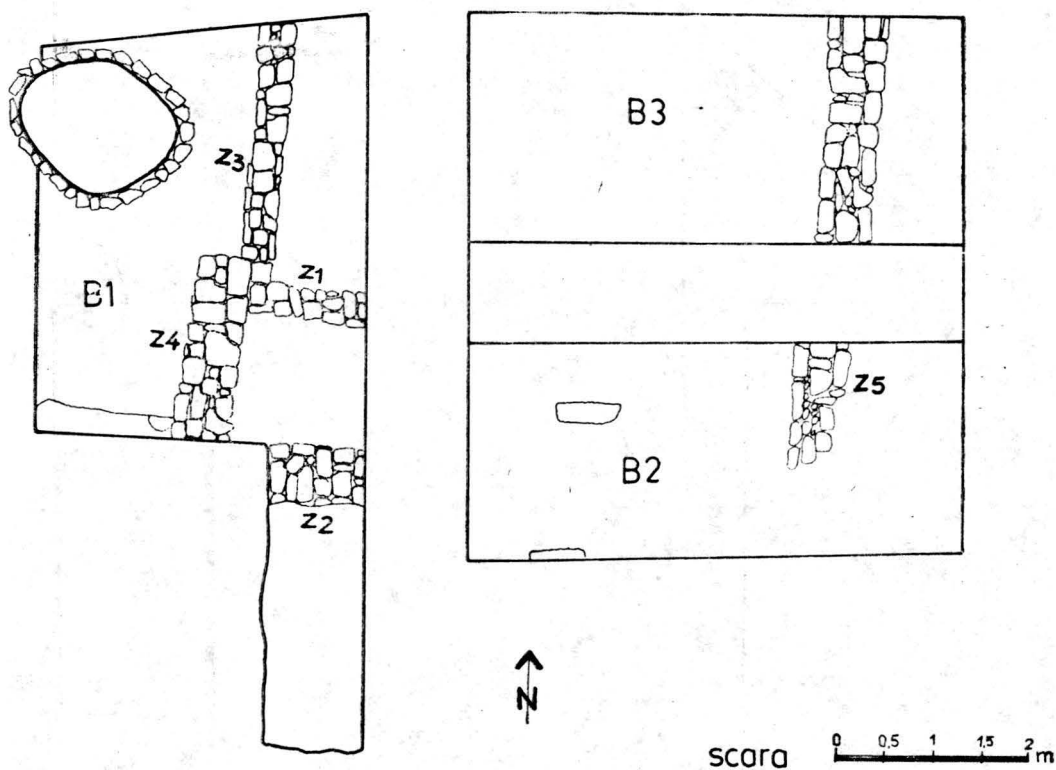
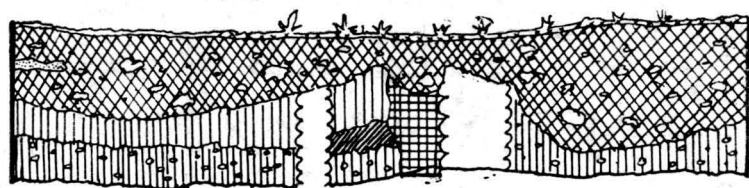


Fig. 7. 1. Plan general al săpăturilor din curtea bazei arheologice.



B1 profil estic



2. Profilul estic al secțiunii B₁.

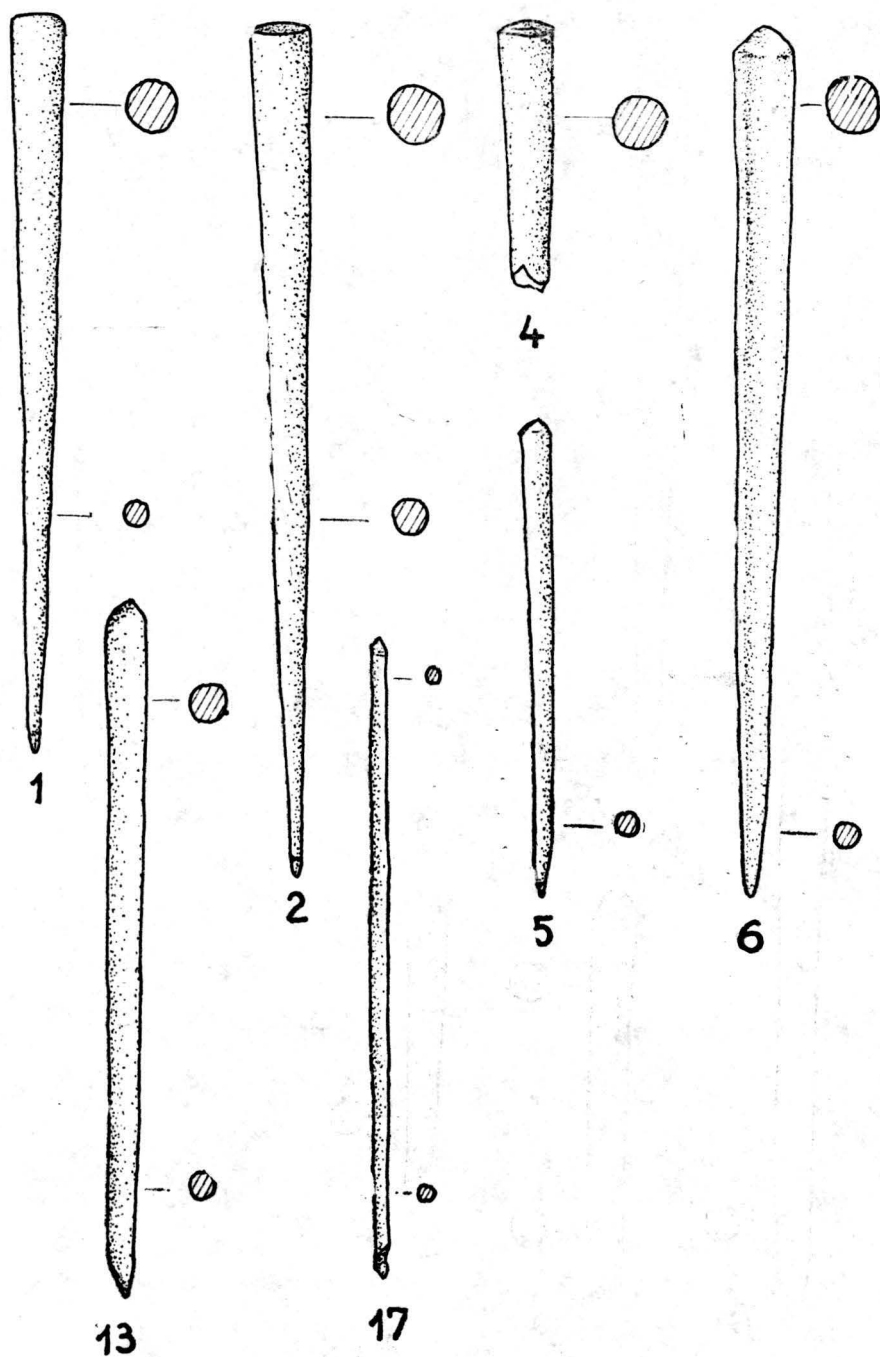


Fig. 8. Os. Ace de păr.

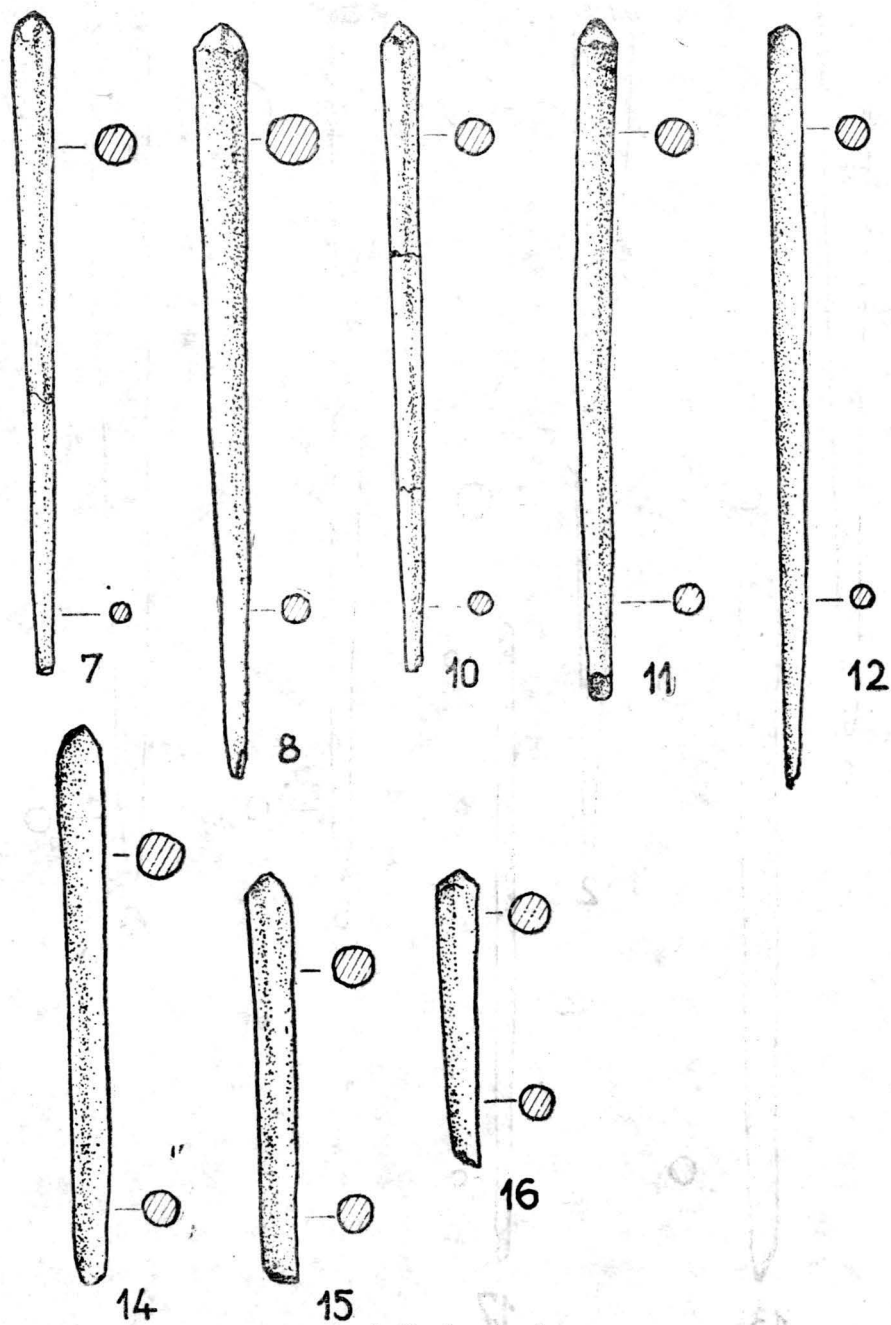


Fig. 9. Os. Ace de păr.

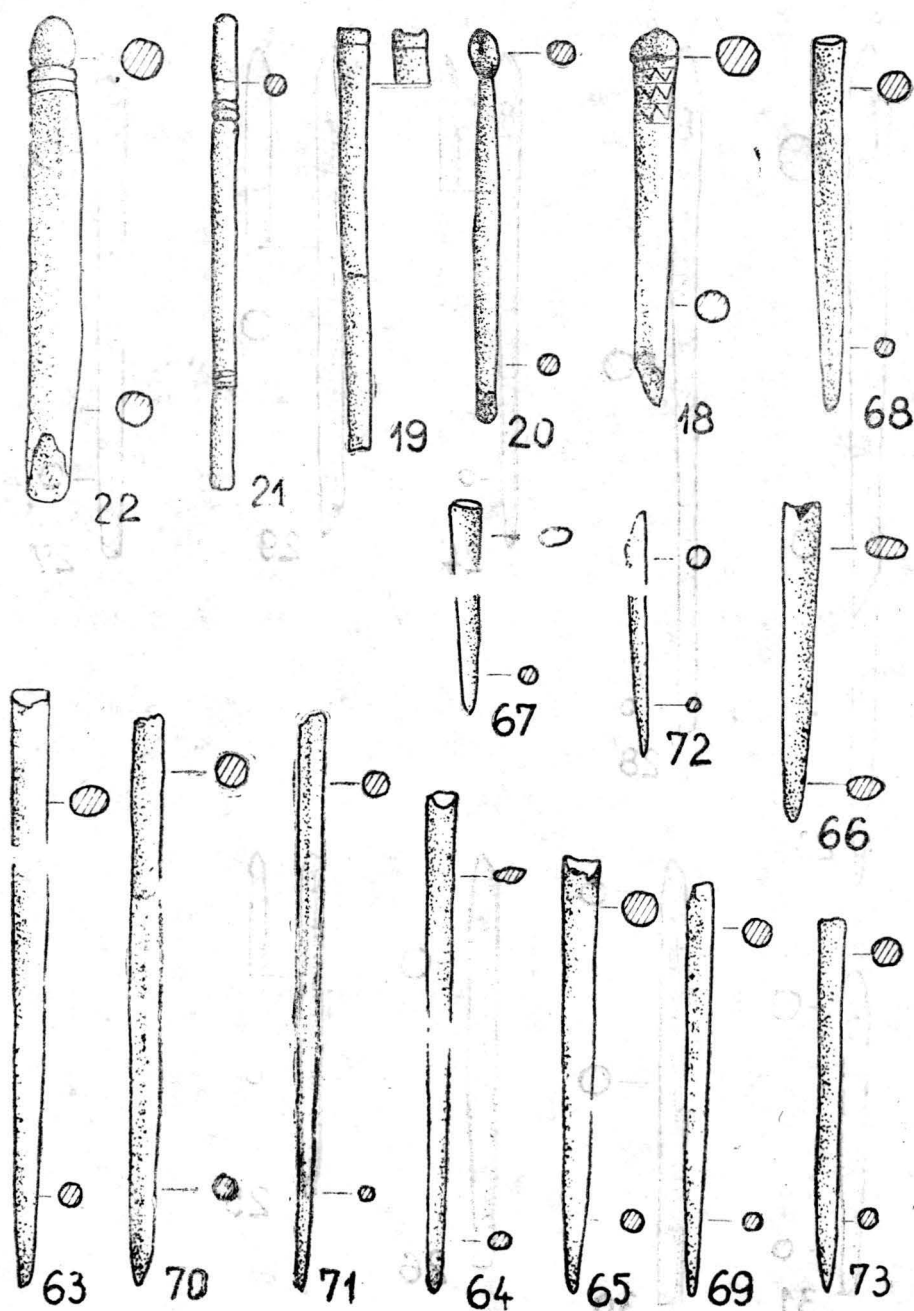


Fig. 10. Os. Ace de păr.

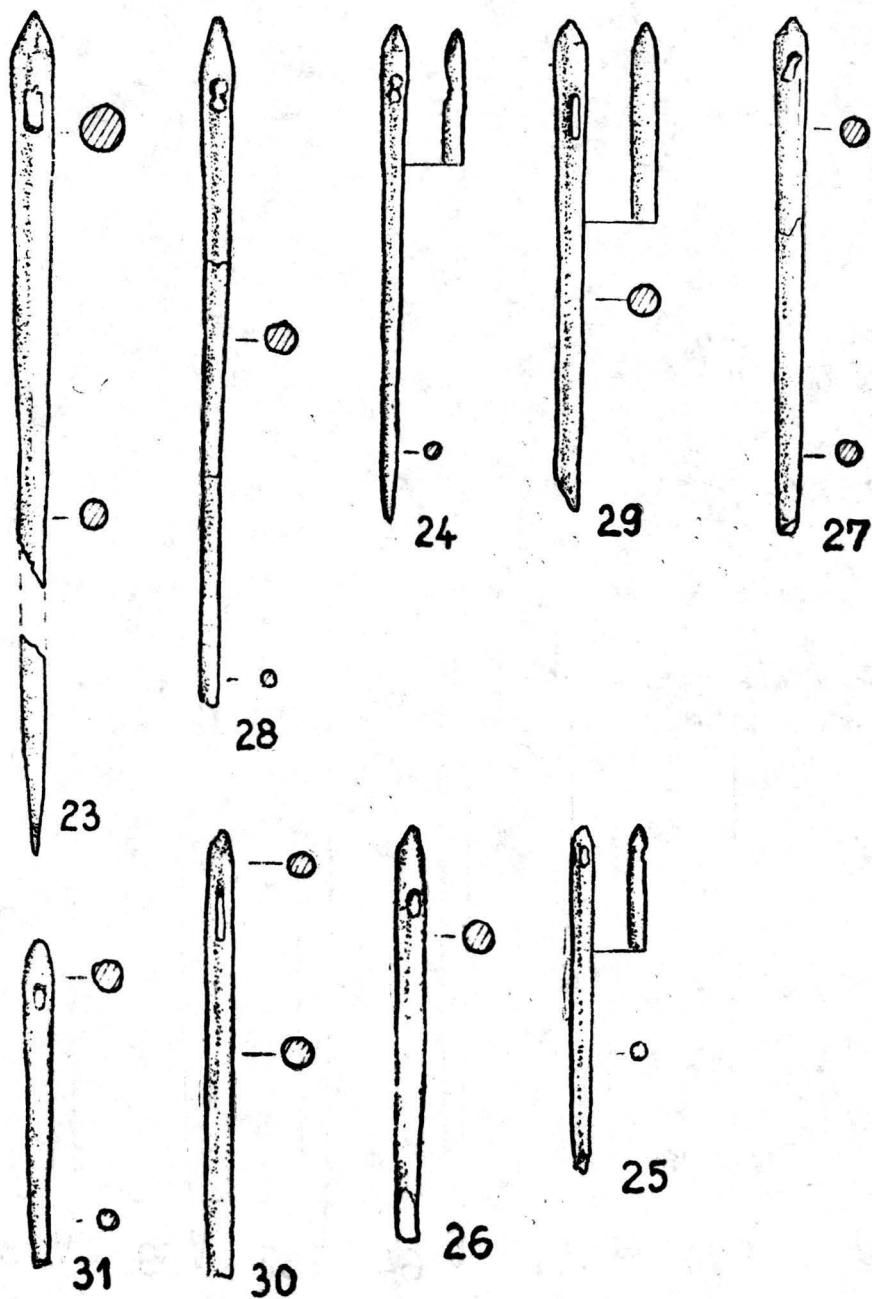


Fig. 11. Os. Ace de cusut.

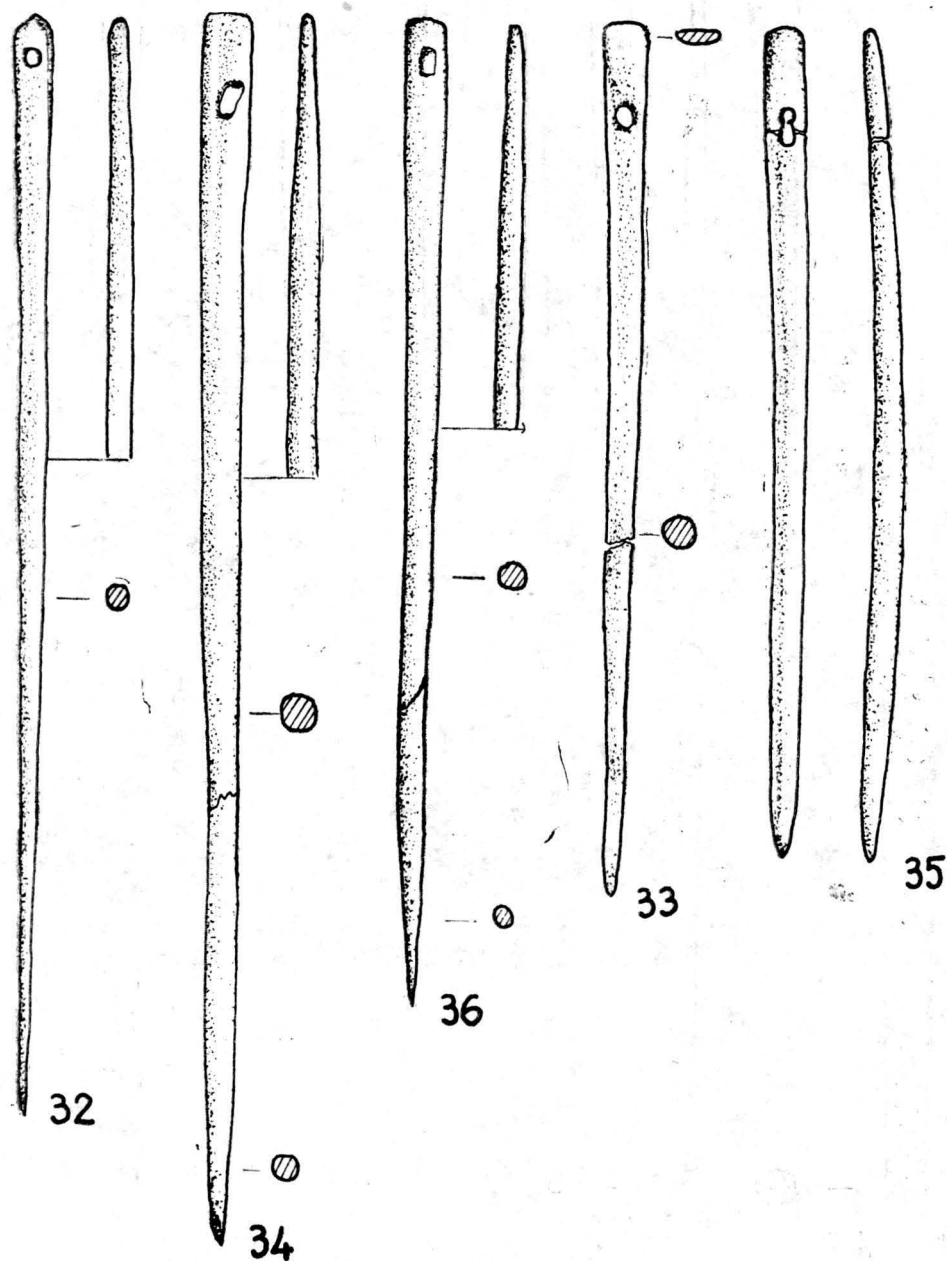


Fig. 12. Os. Ace de cusut.

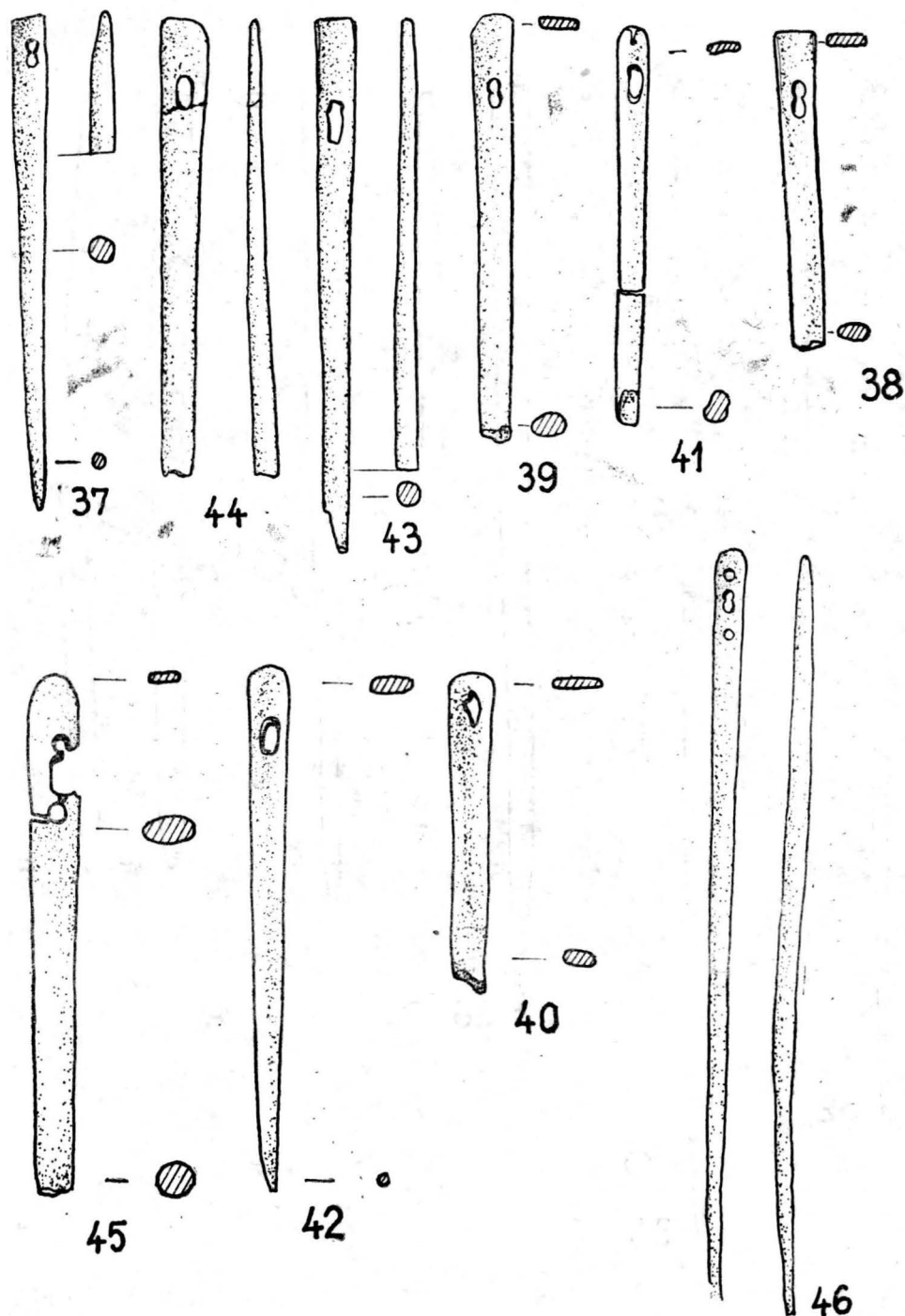


Fig. 13. Os. Ace de cusut.

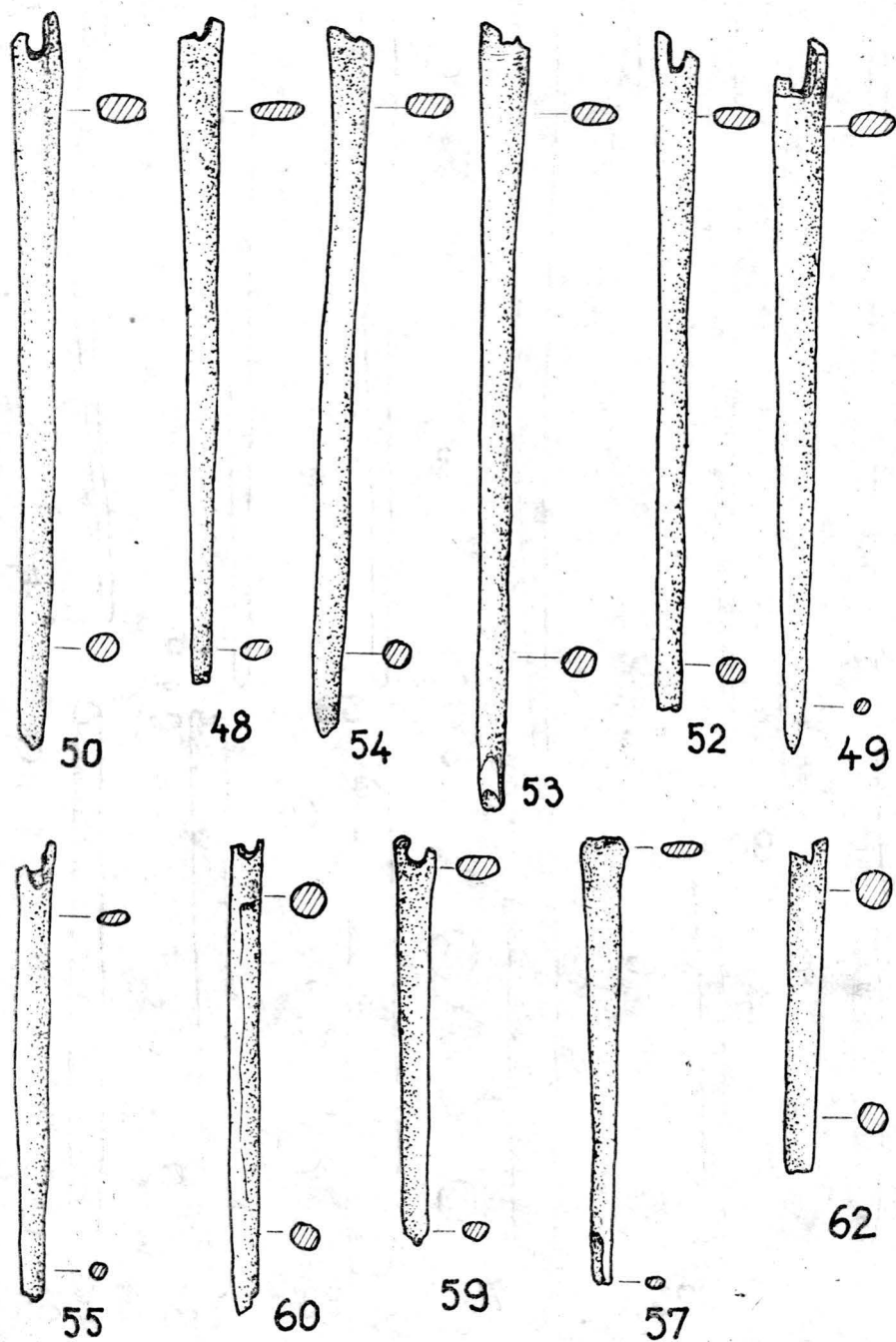


Fig. 14. Os. Ace de cusut.

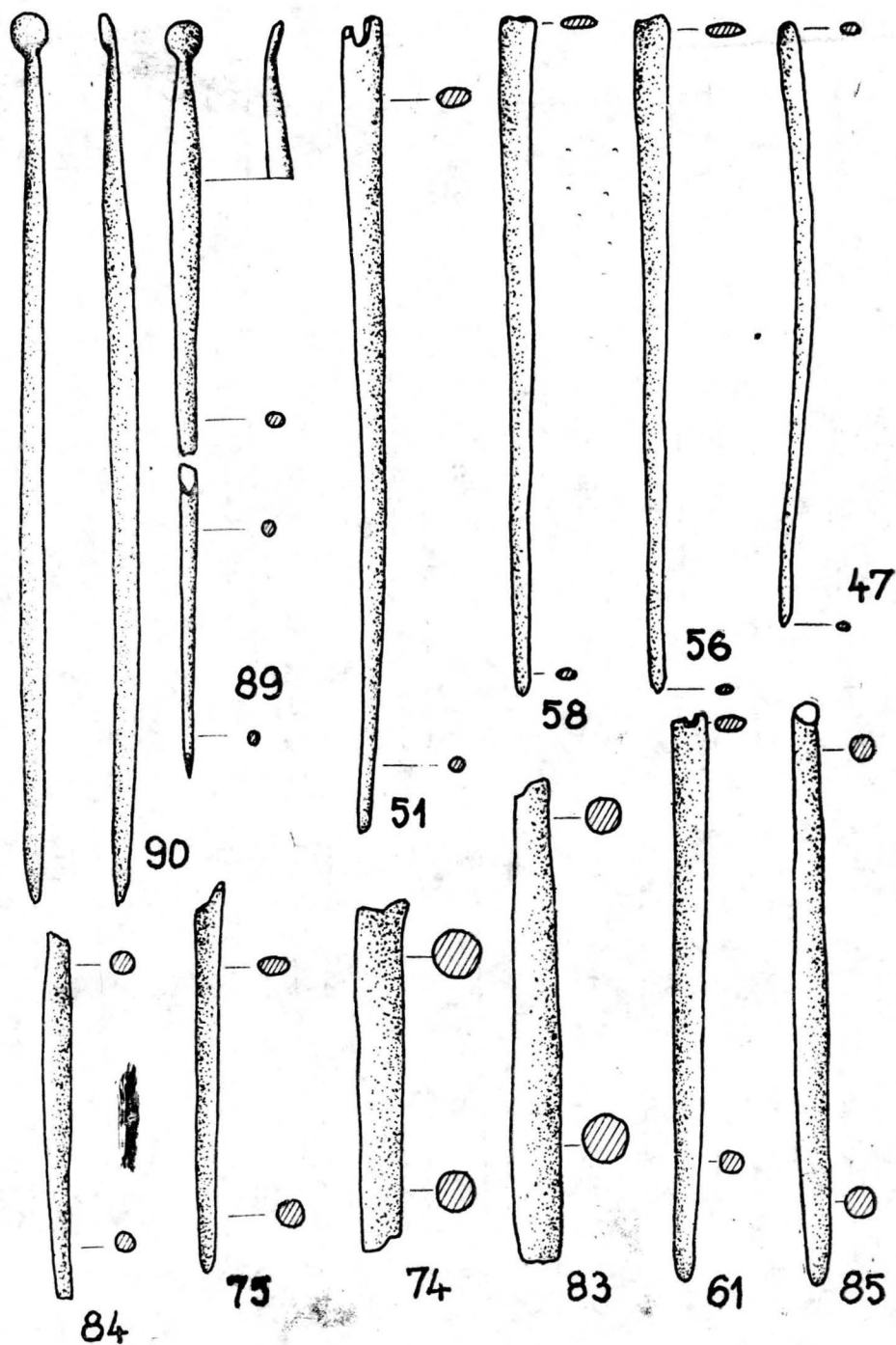


Fig. 15. Os. Ace diverse și spatule.

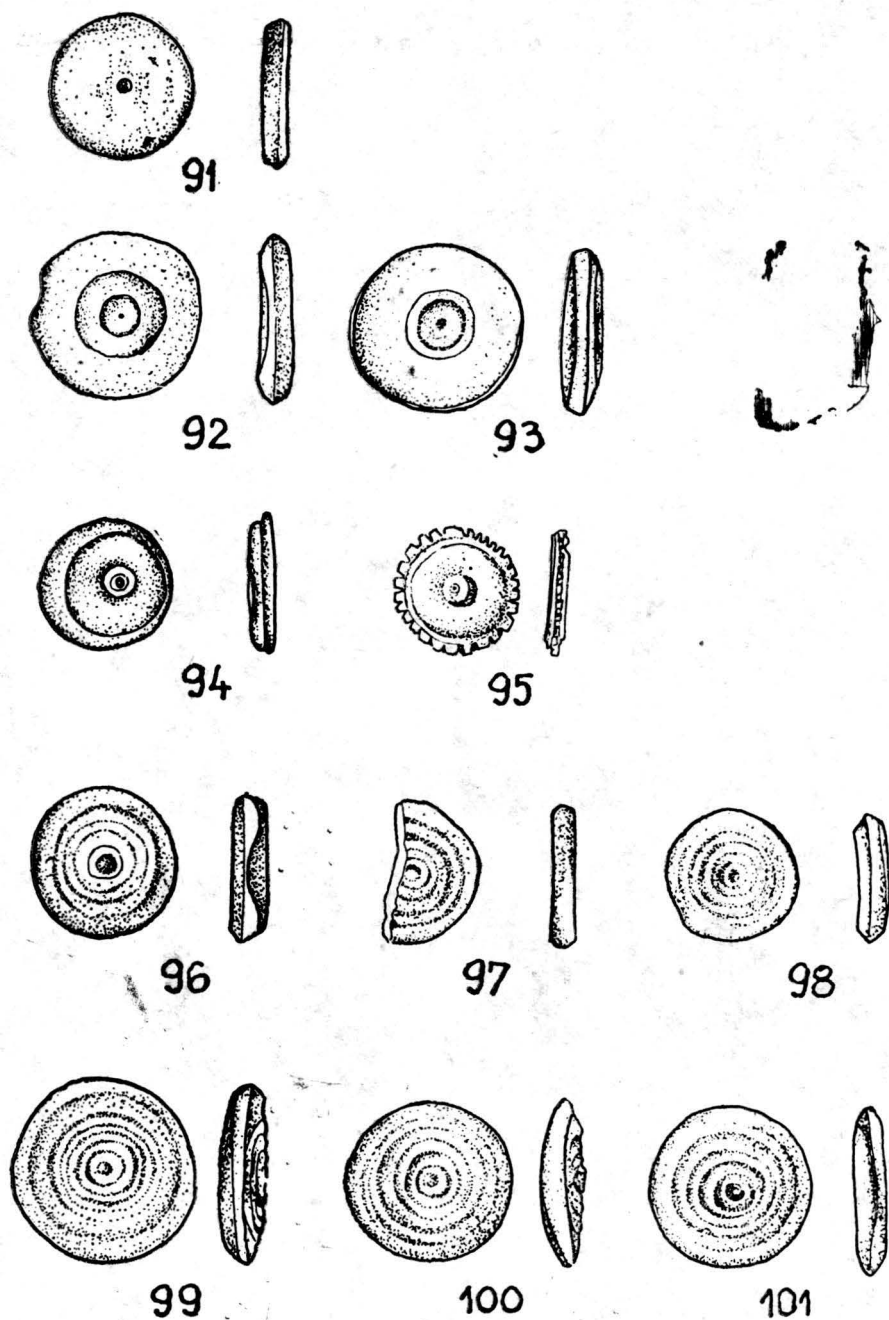
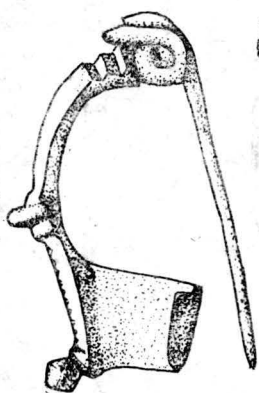
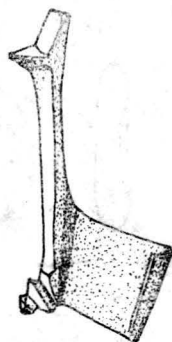
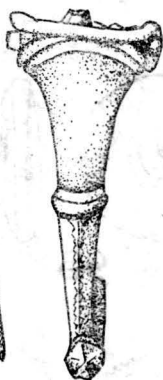


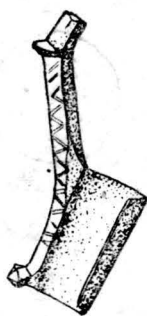
Fig. 16. Os. Jetoane.



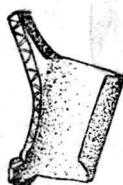
102



104



105



106

Fig. 17. Bronz. Fibule.

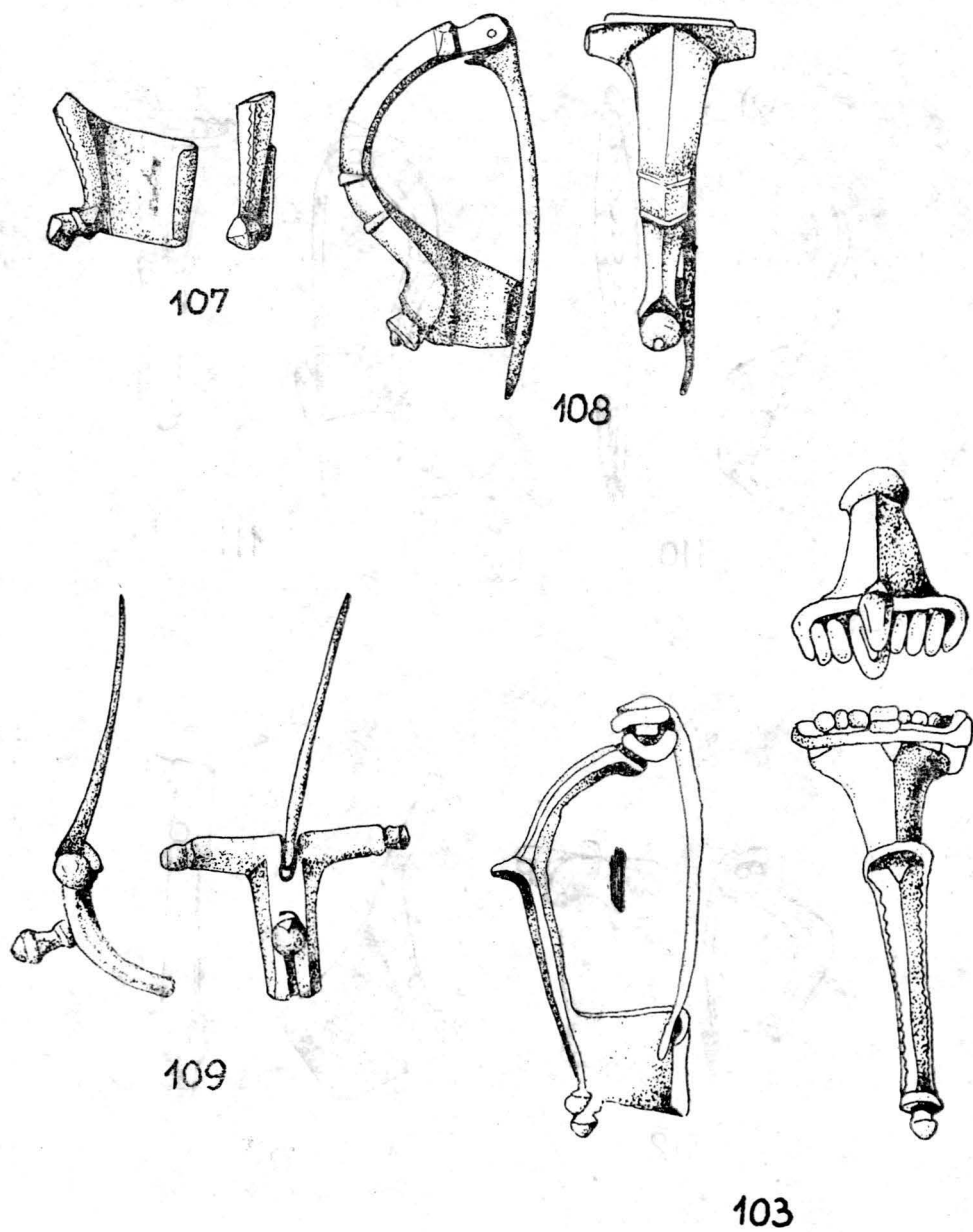
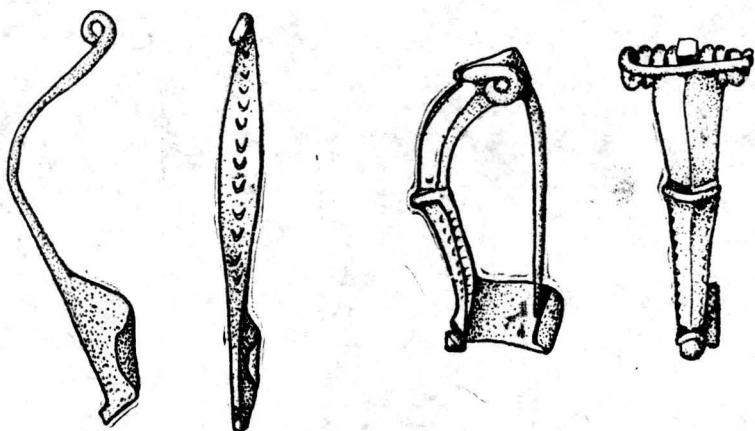
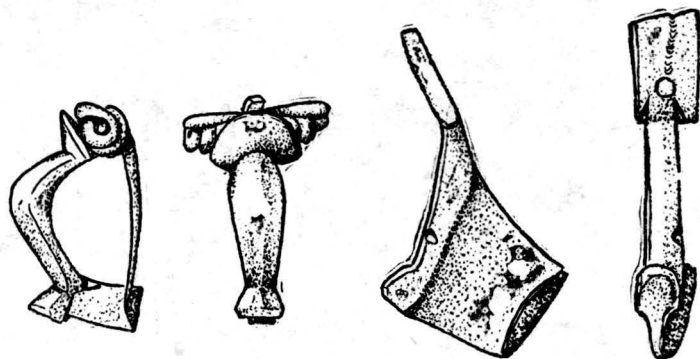


Fig. 18. Bronz. Fibule.



110

111



112

113

Fig. 19. Bronz. Fibule.

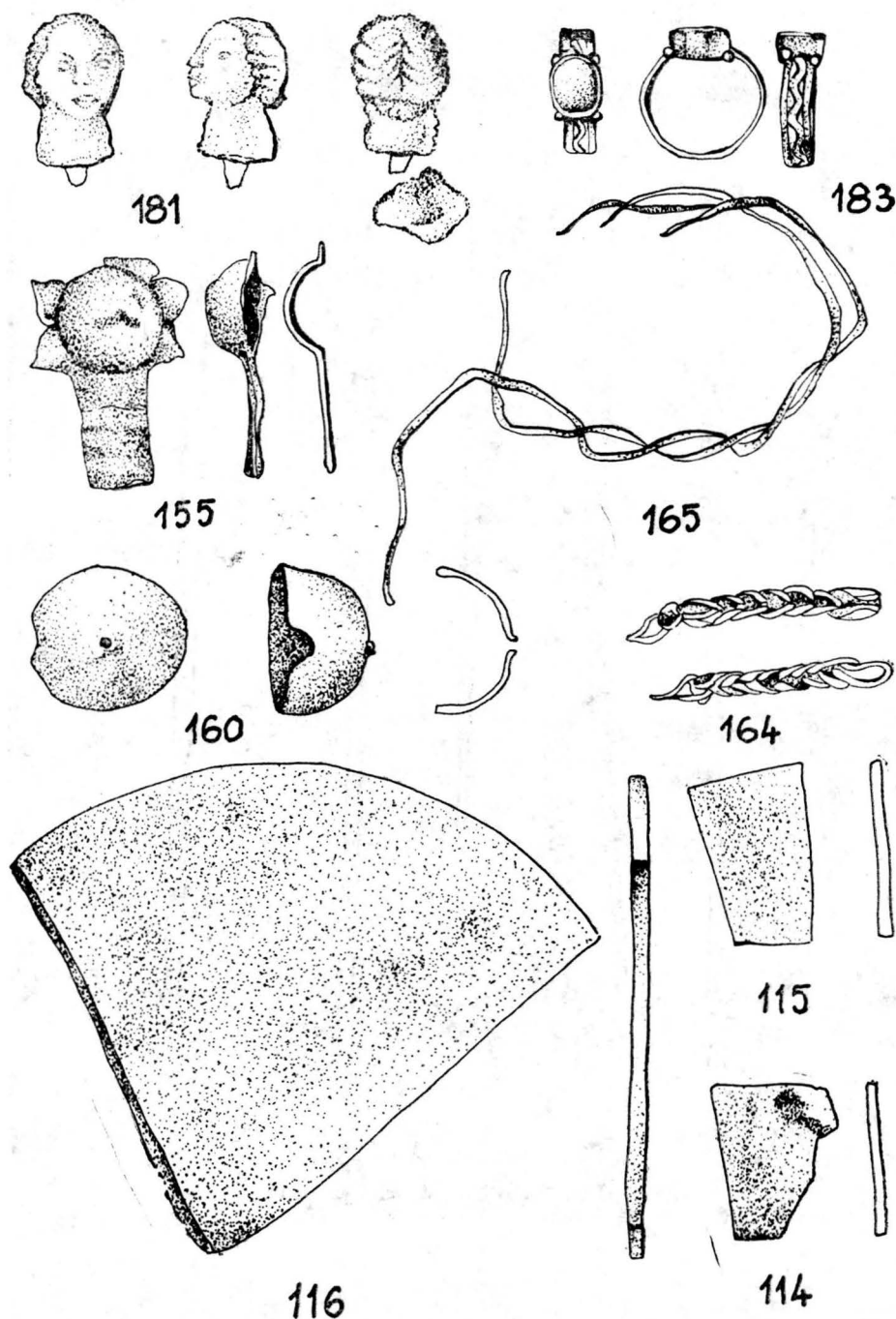


Fig. 20. Bronz și aur. Piese diverse.

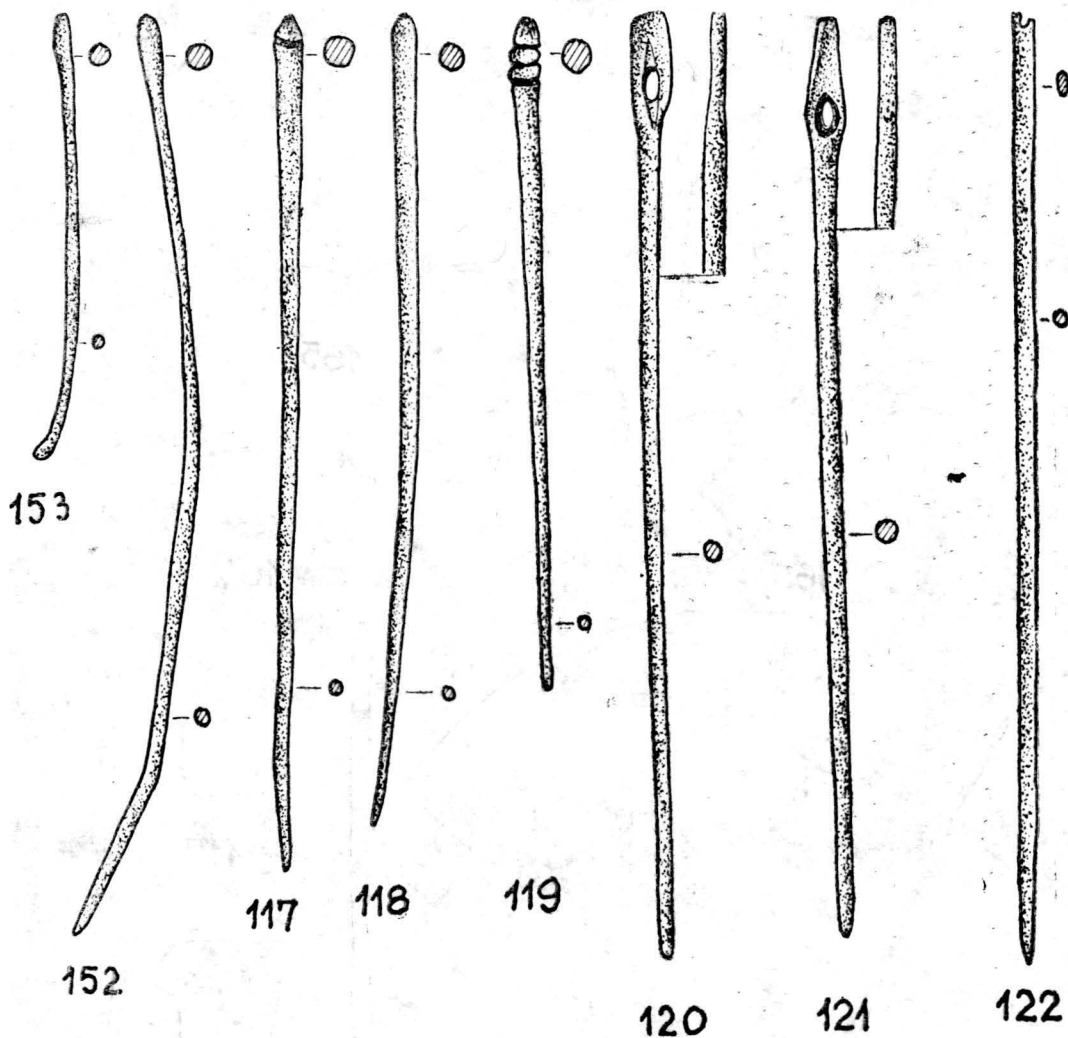


Fig. 21. Bronz. Ace diferite și sonde.

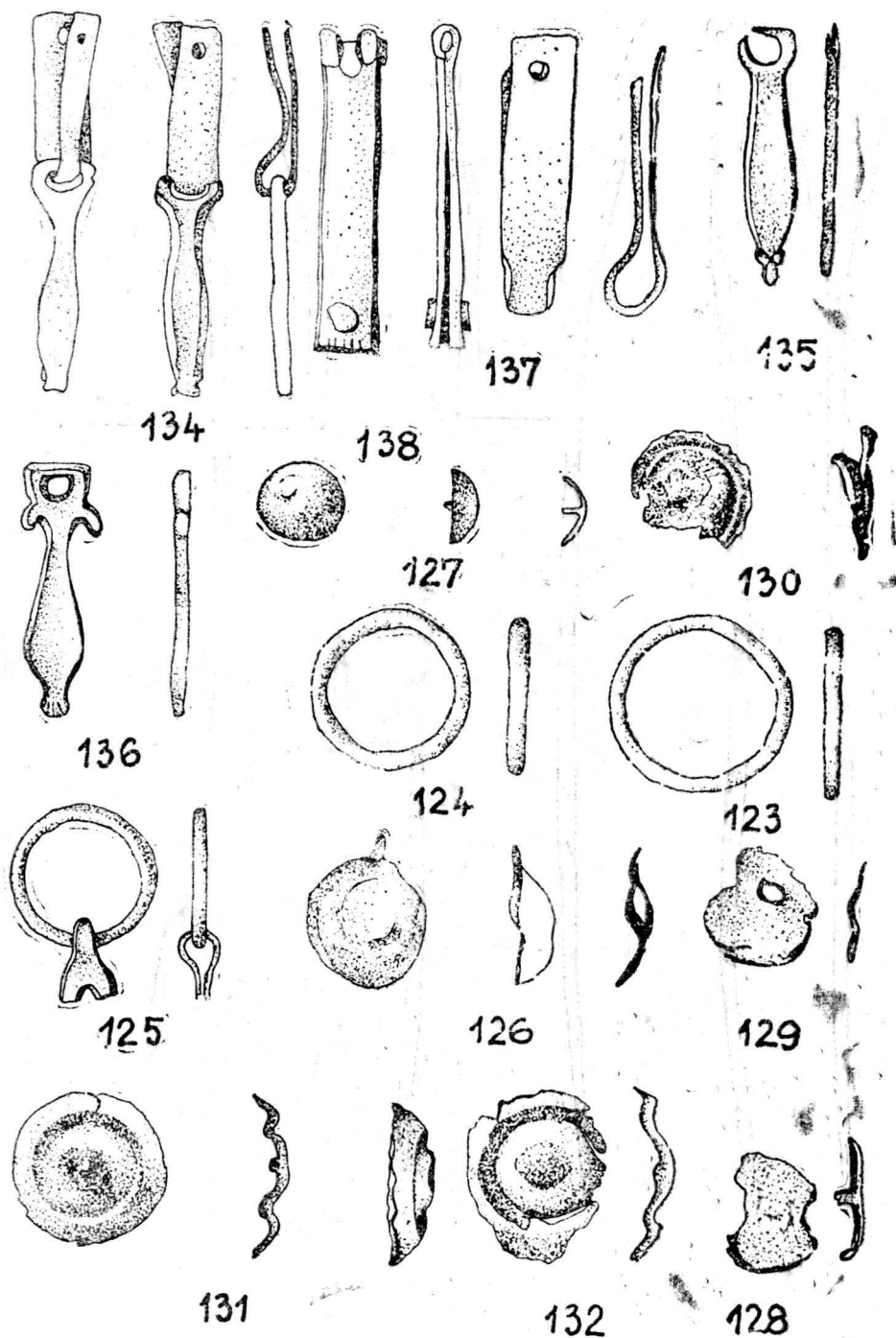


Fig. 22. Bronz. Piese de echipament militar.

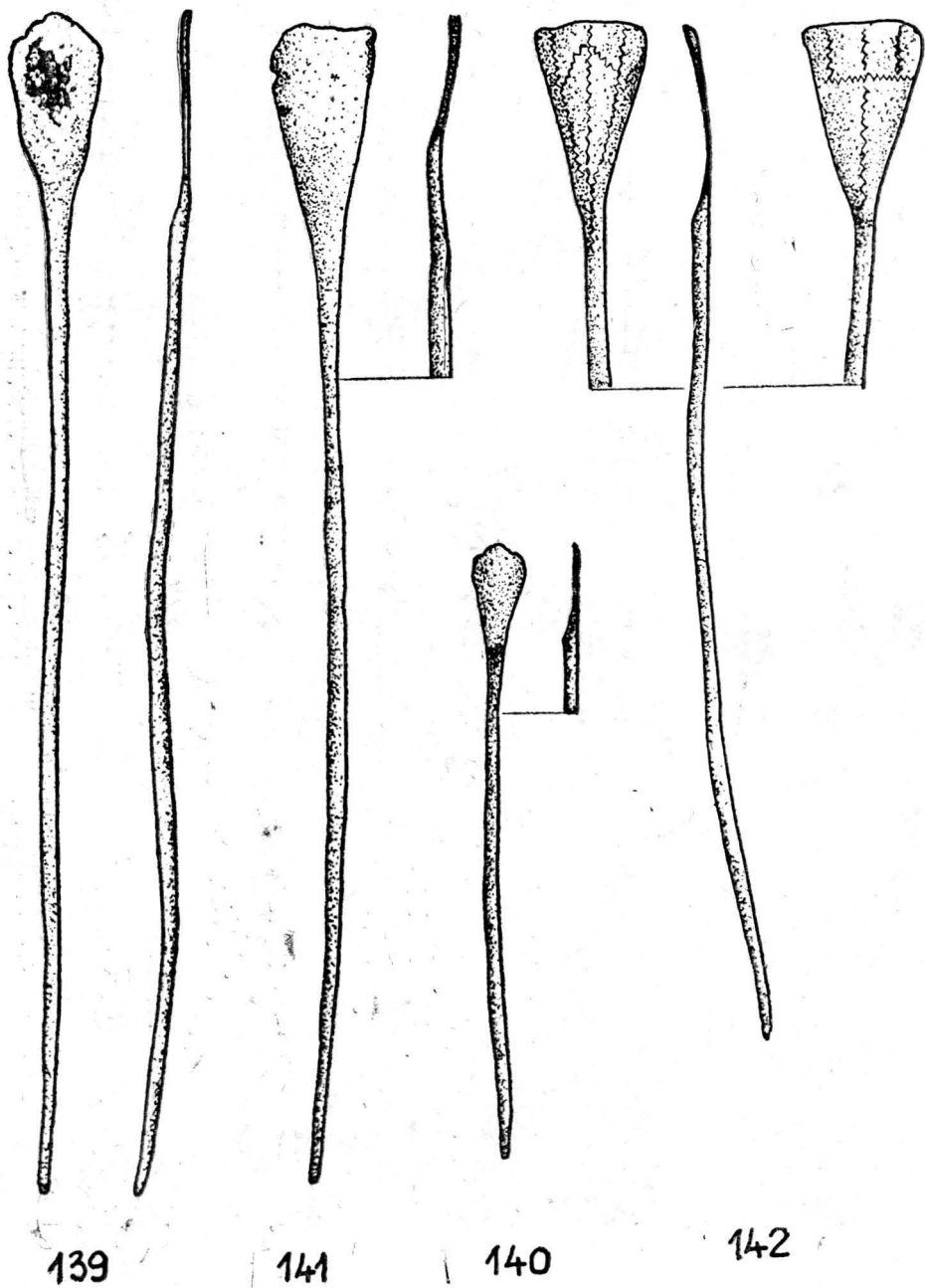


Fig. 23. Bronz. Spatule.

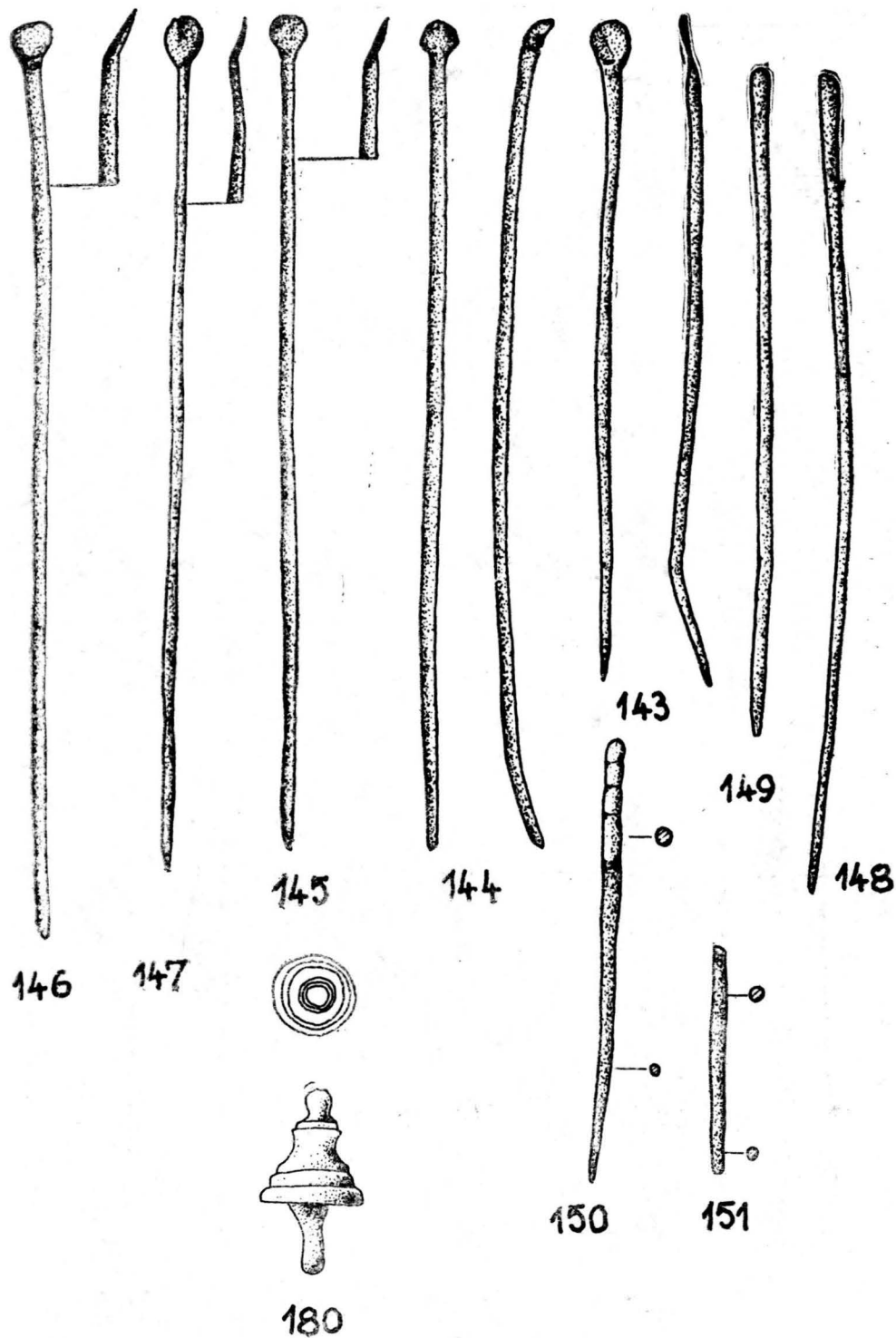


Fig. 24. Bronz. Sonde și piese diverse.

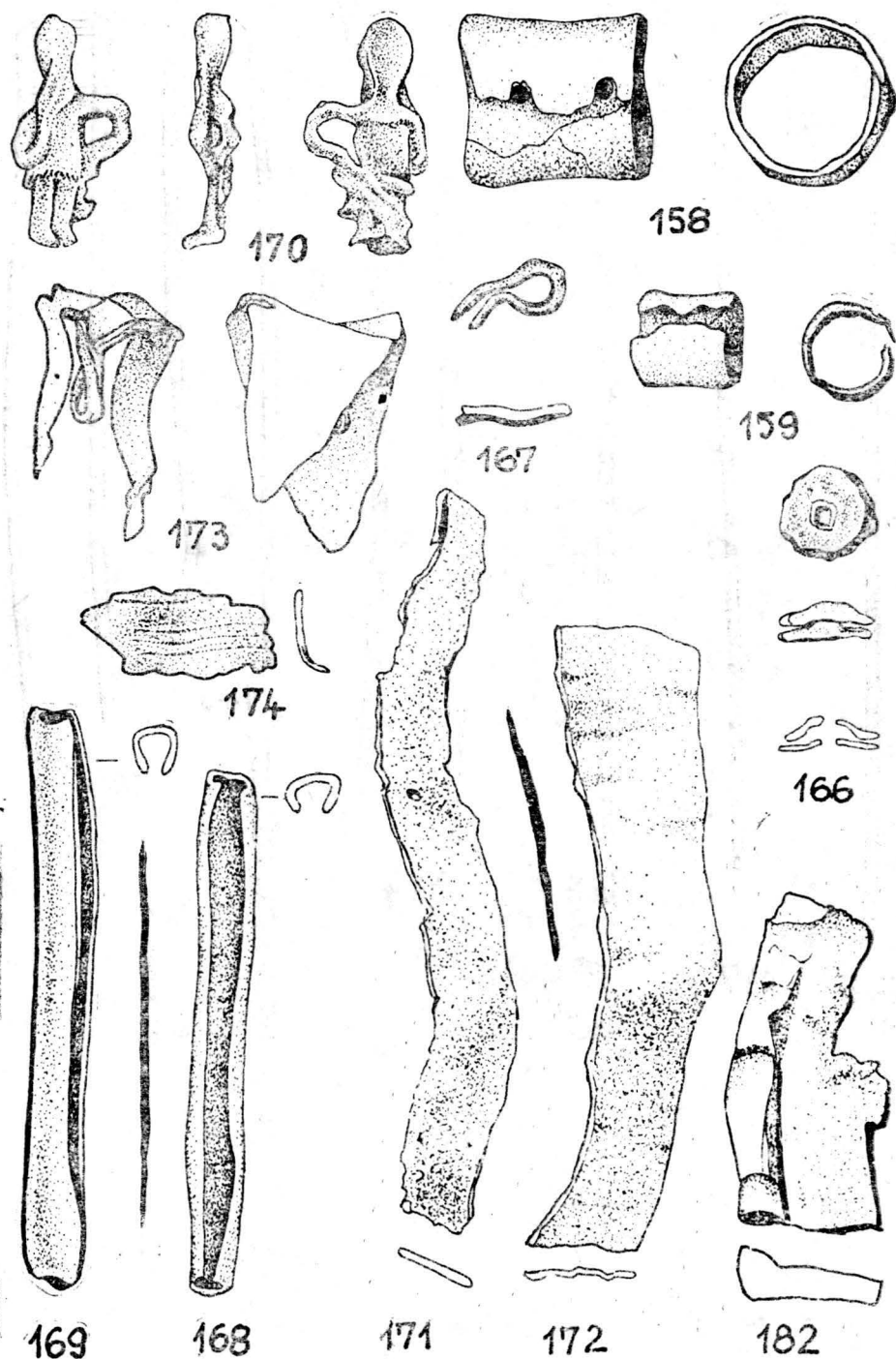


Fig. 25. Bronz. Piese diverse.

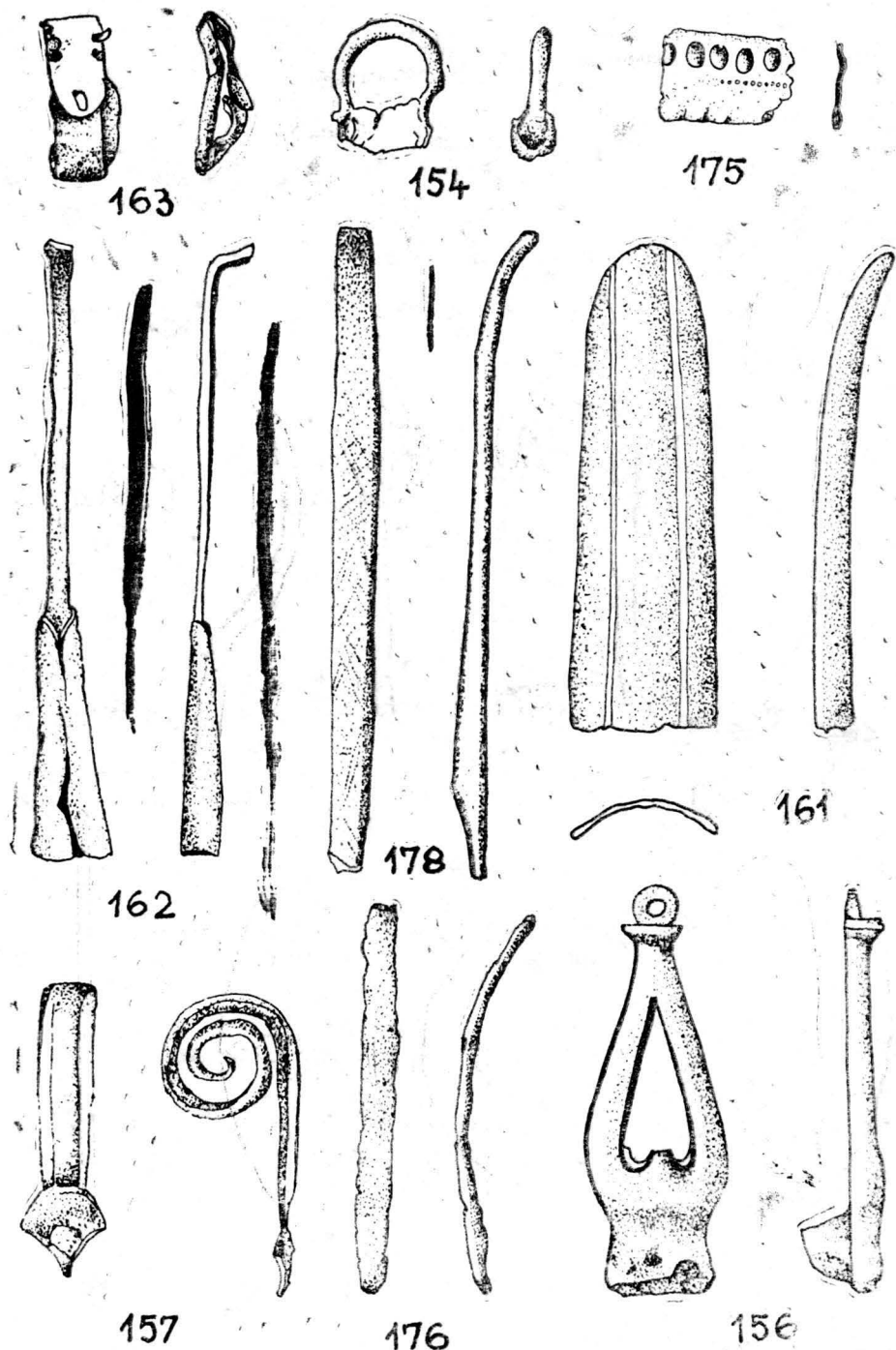
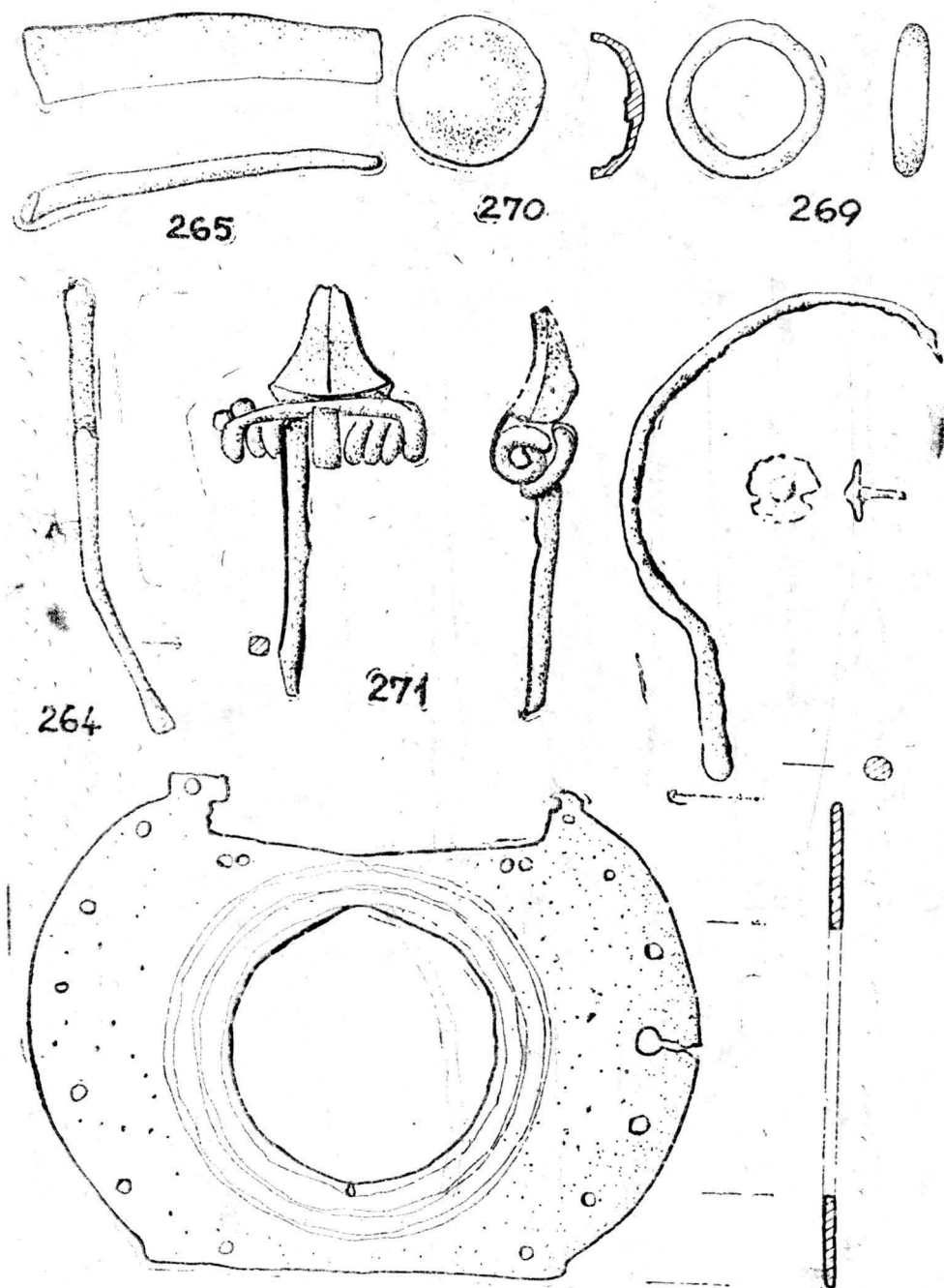


Fig. 26. Bronz. Piese diverse.



179
Fig. 27. Bronz. Piese diverse.

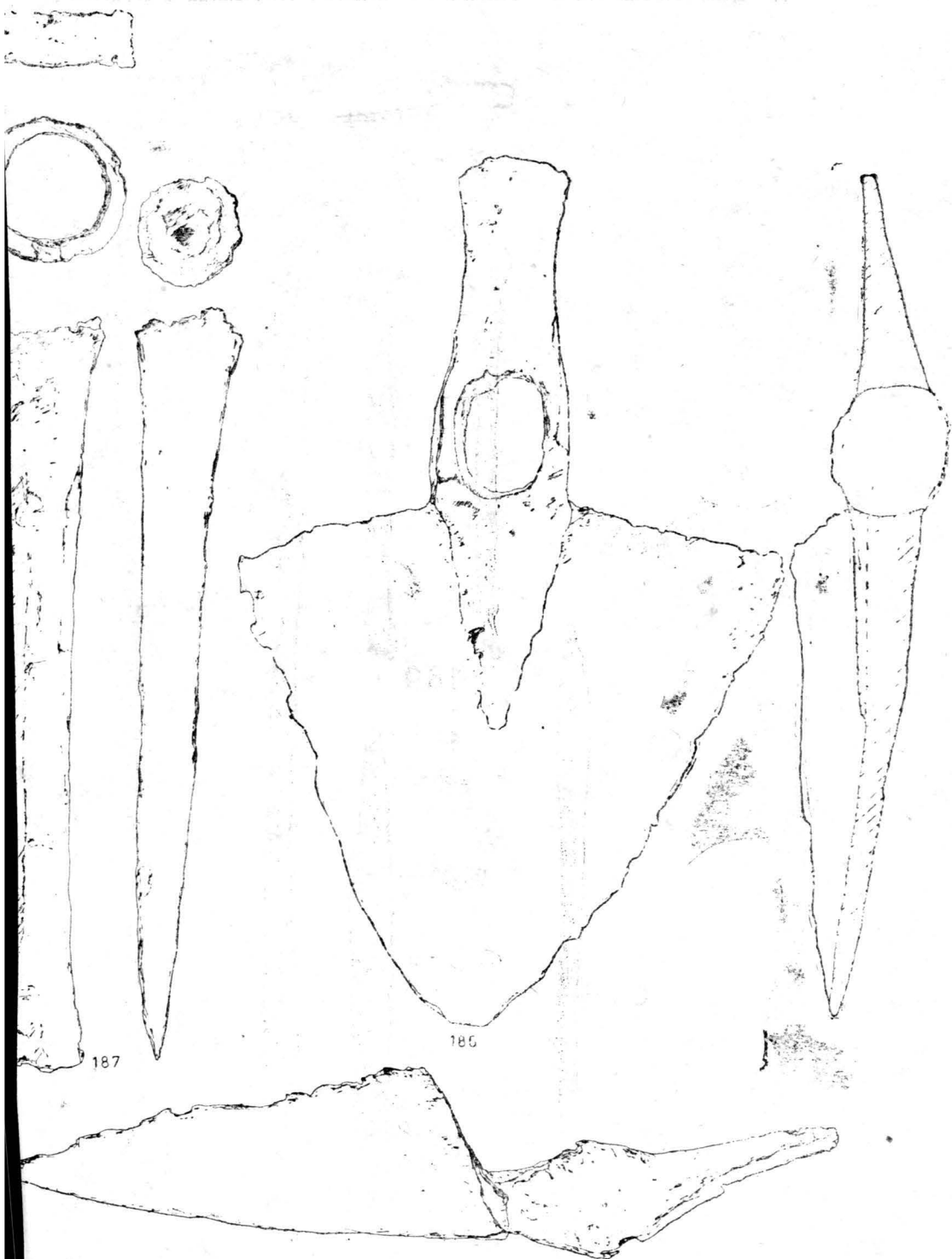


Fig. 28. Fier. Unelte.

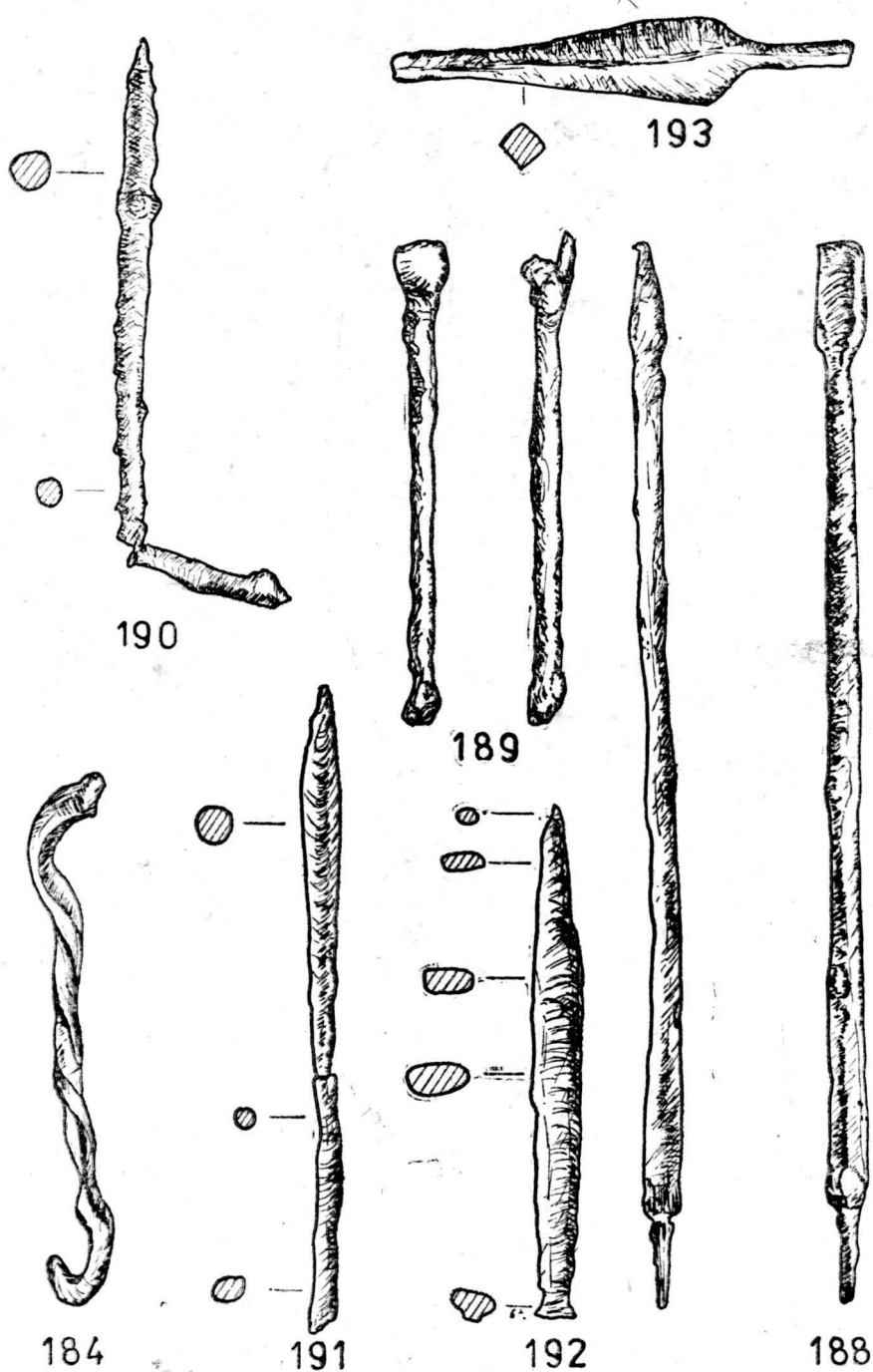


Fig. 29. Fier și plumb. Piese diverse.

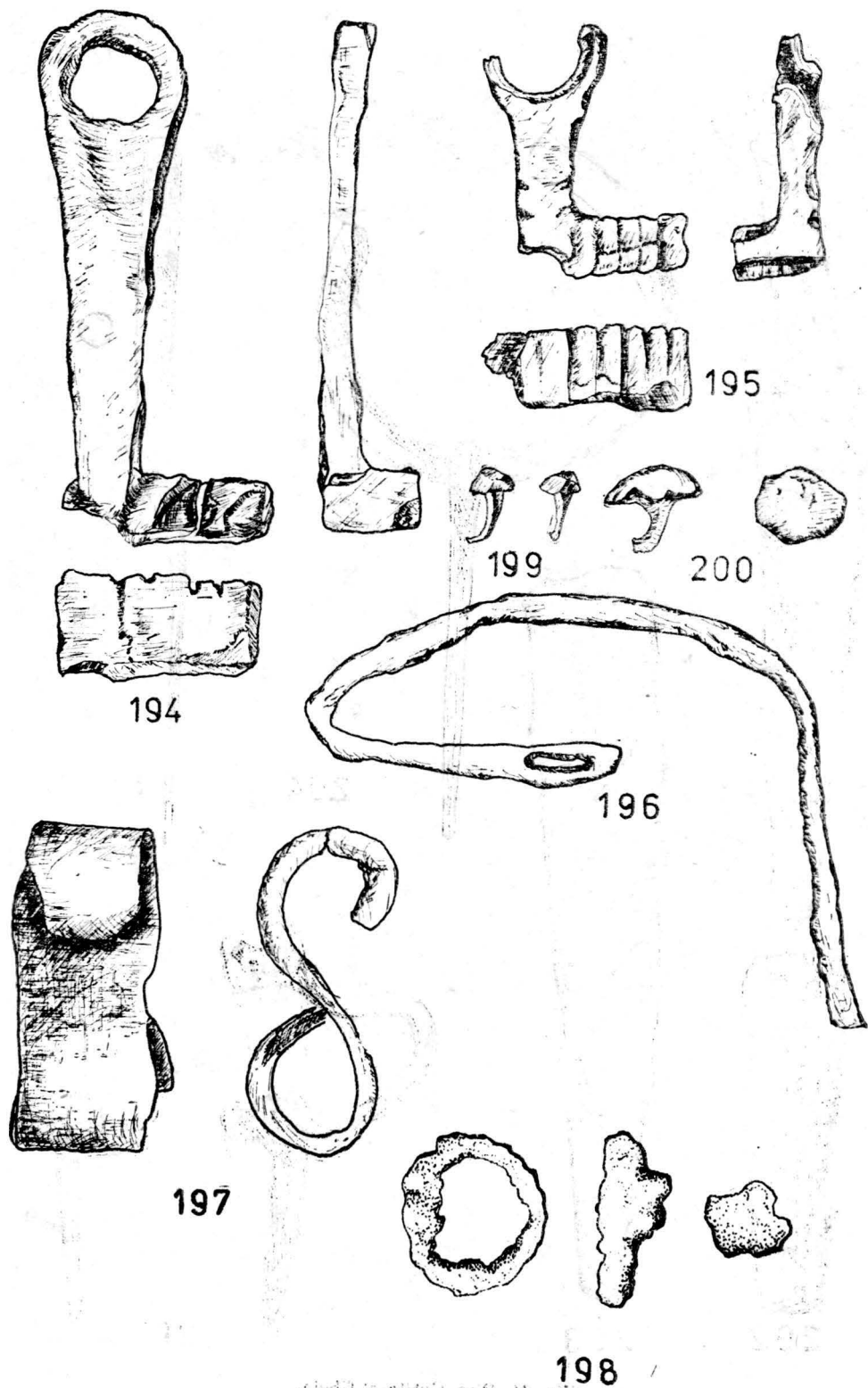


Fig. 30. Pier. Piese diverse.

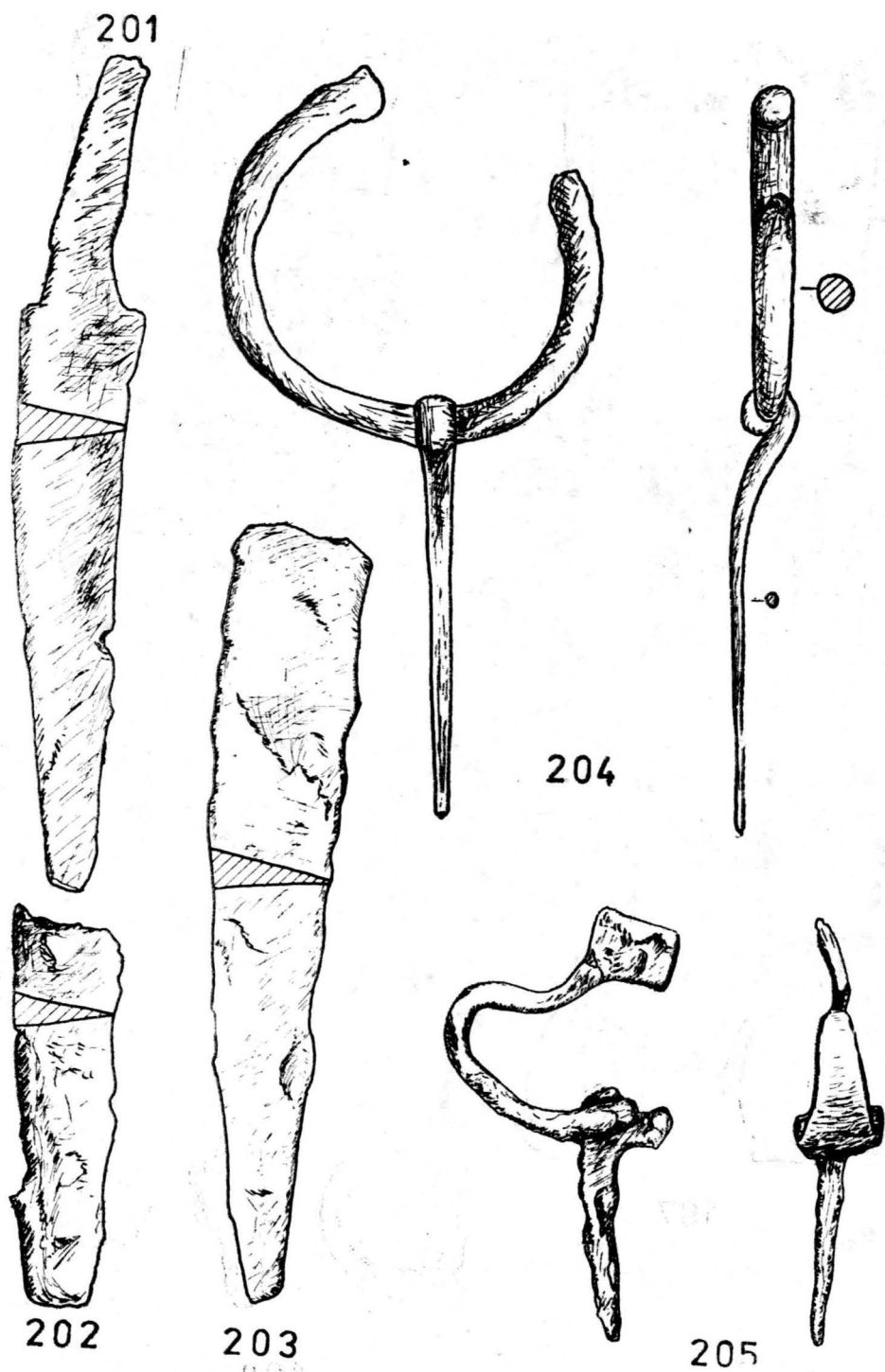


Fig. 31. Pier. Cuțite și fibule.

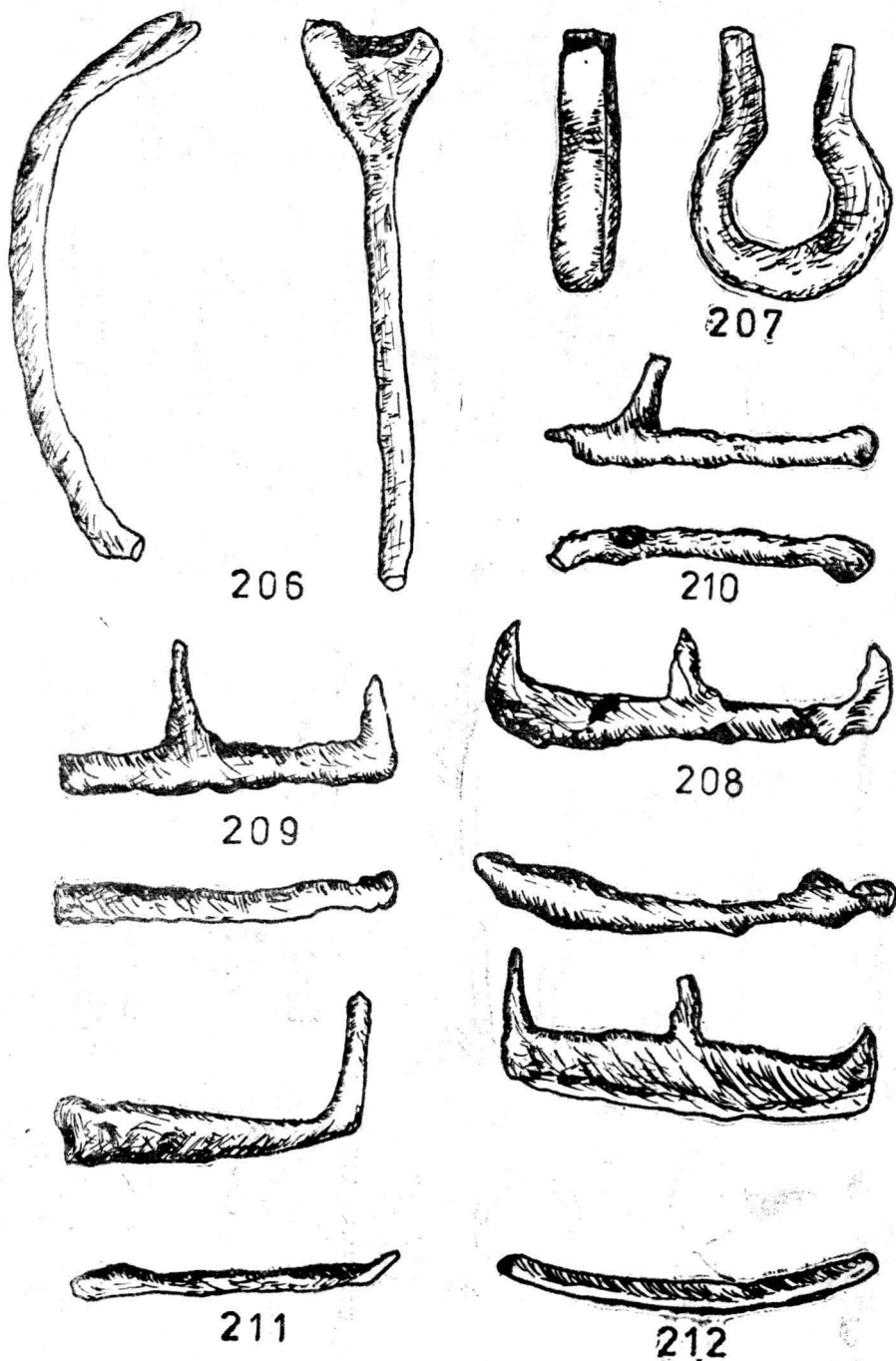


Fig. 32. Fier. Piese diverse.
 Desenuri realizate de M. G. Popescu

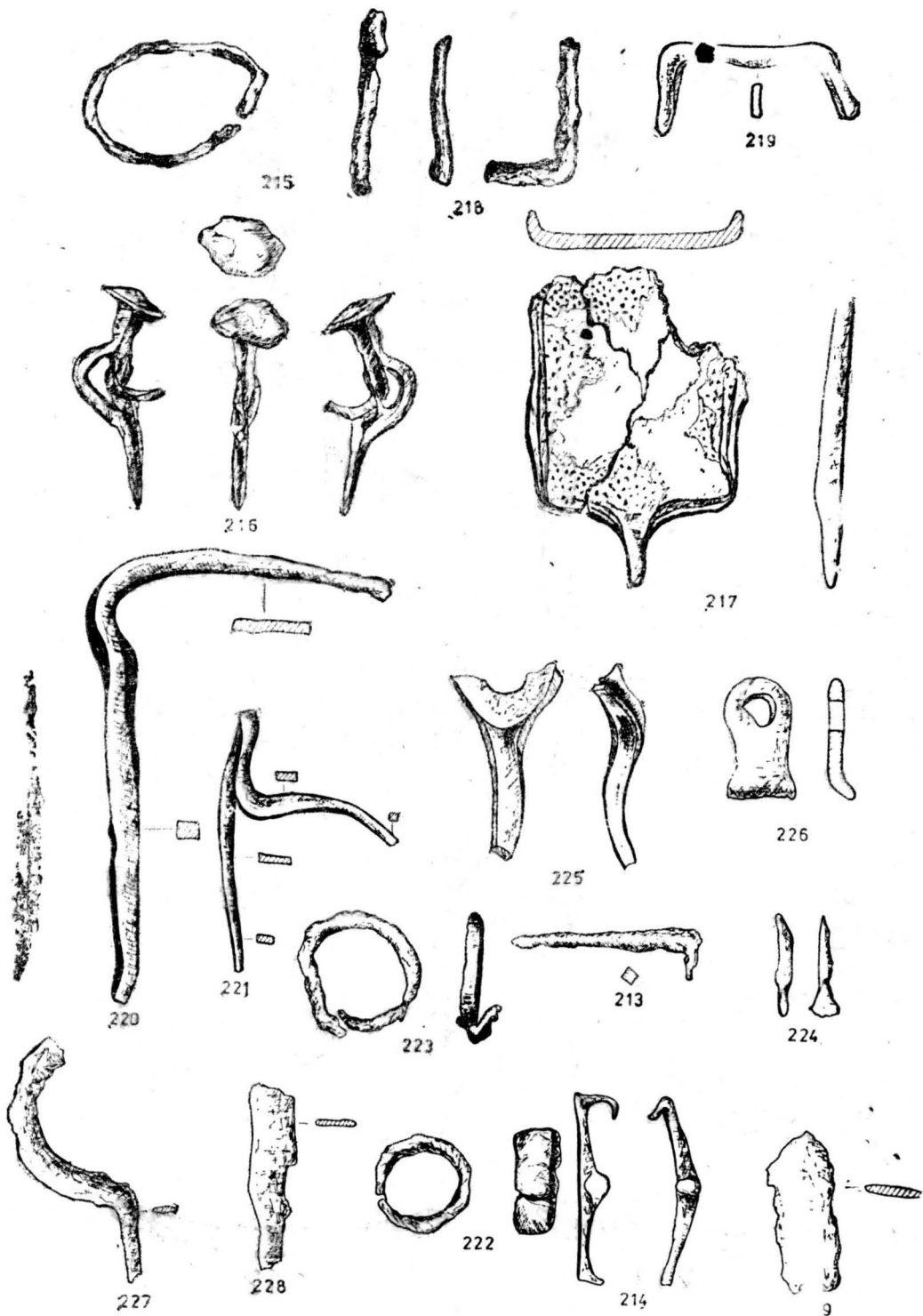


Fig. 33. Pier. Piese diverse.

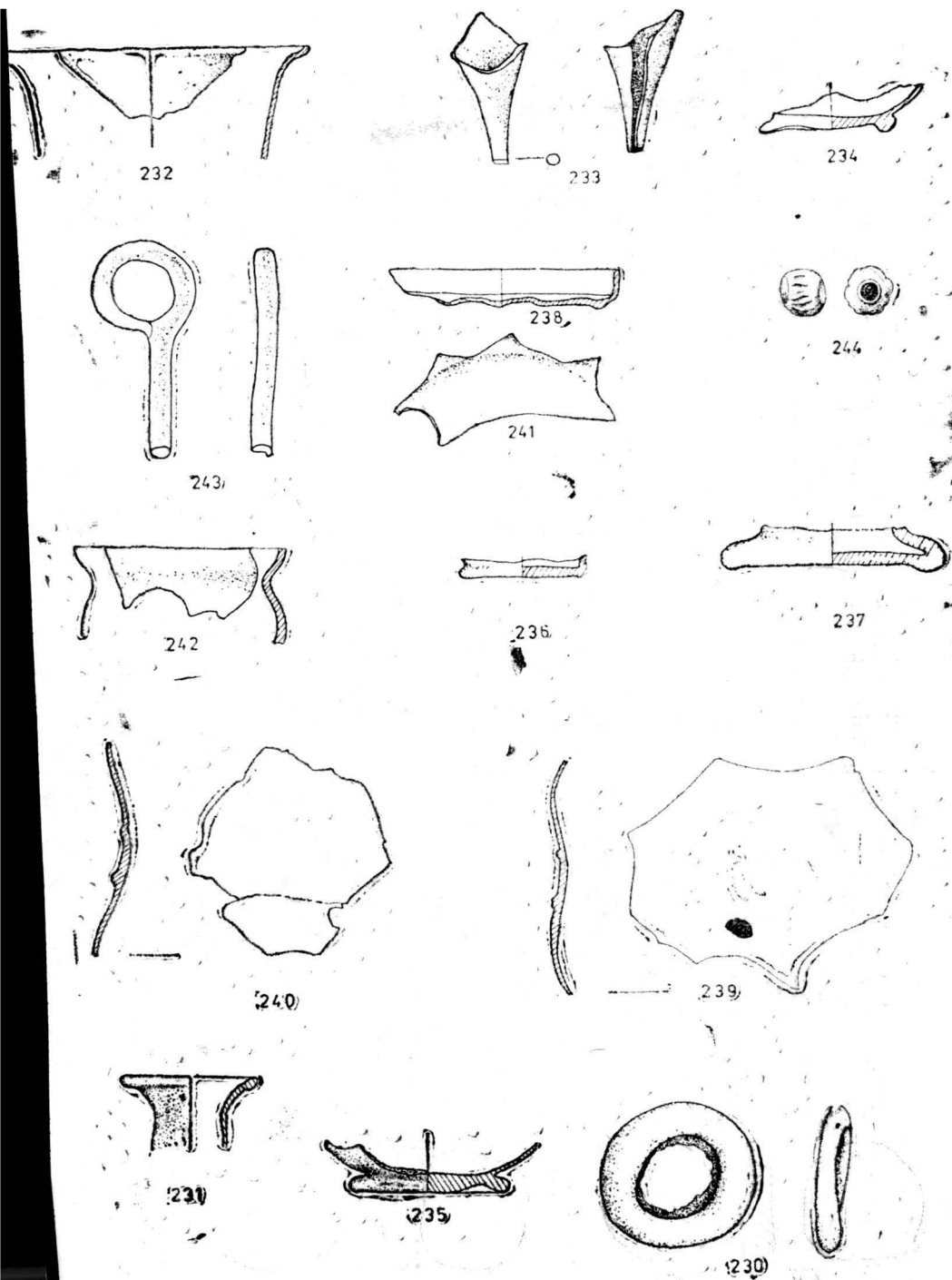


Fig. 34. Sticlă. Fragmente de recipient.

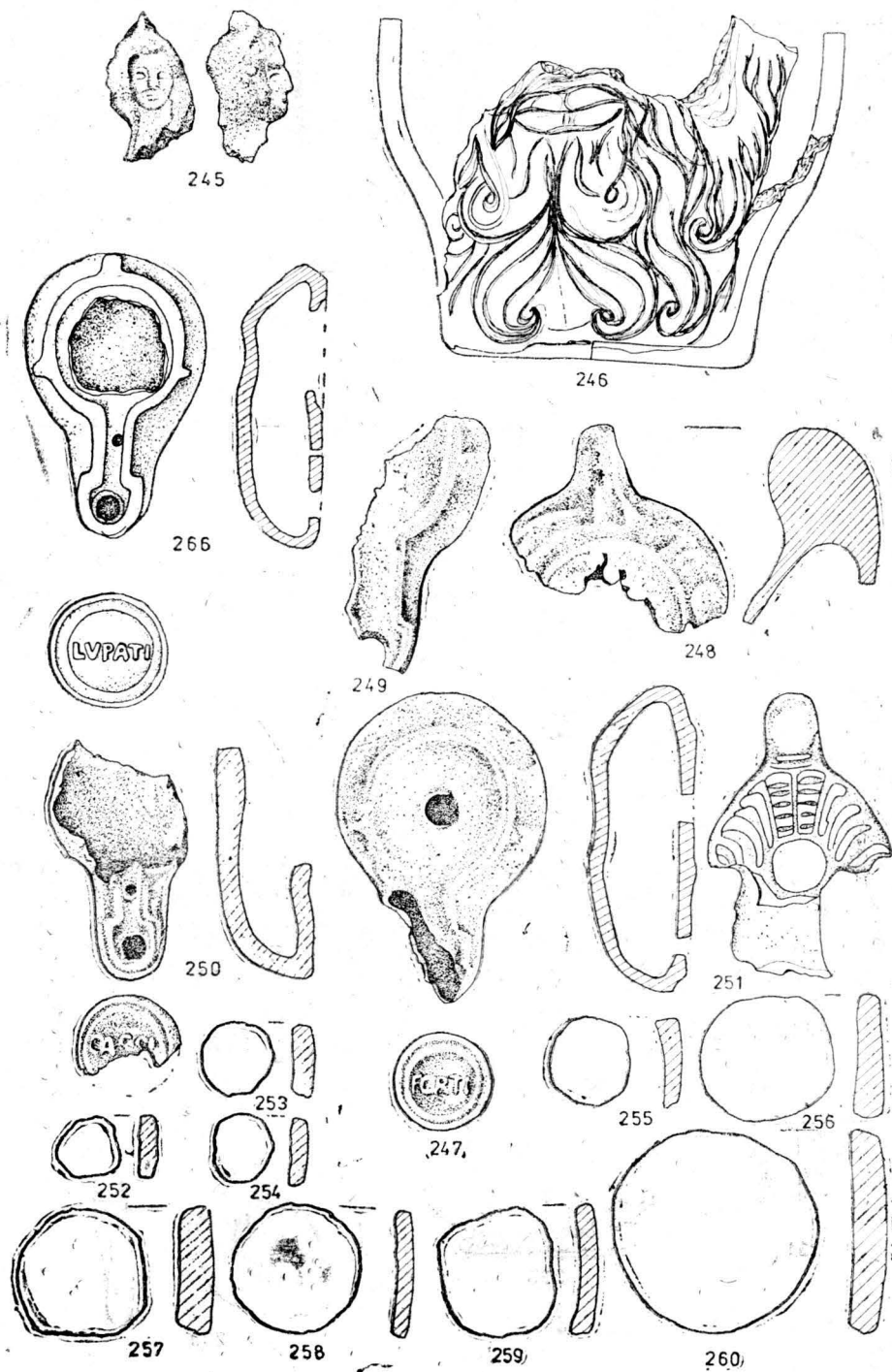


Fig. 35. Ceramică. Piese diverse.

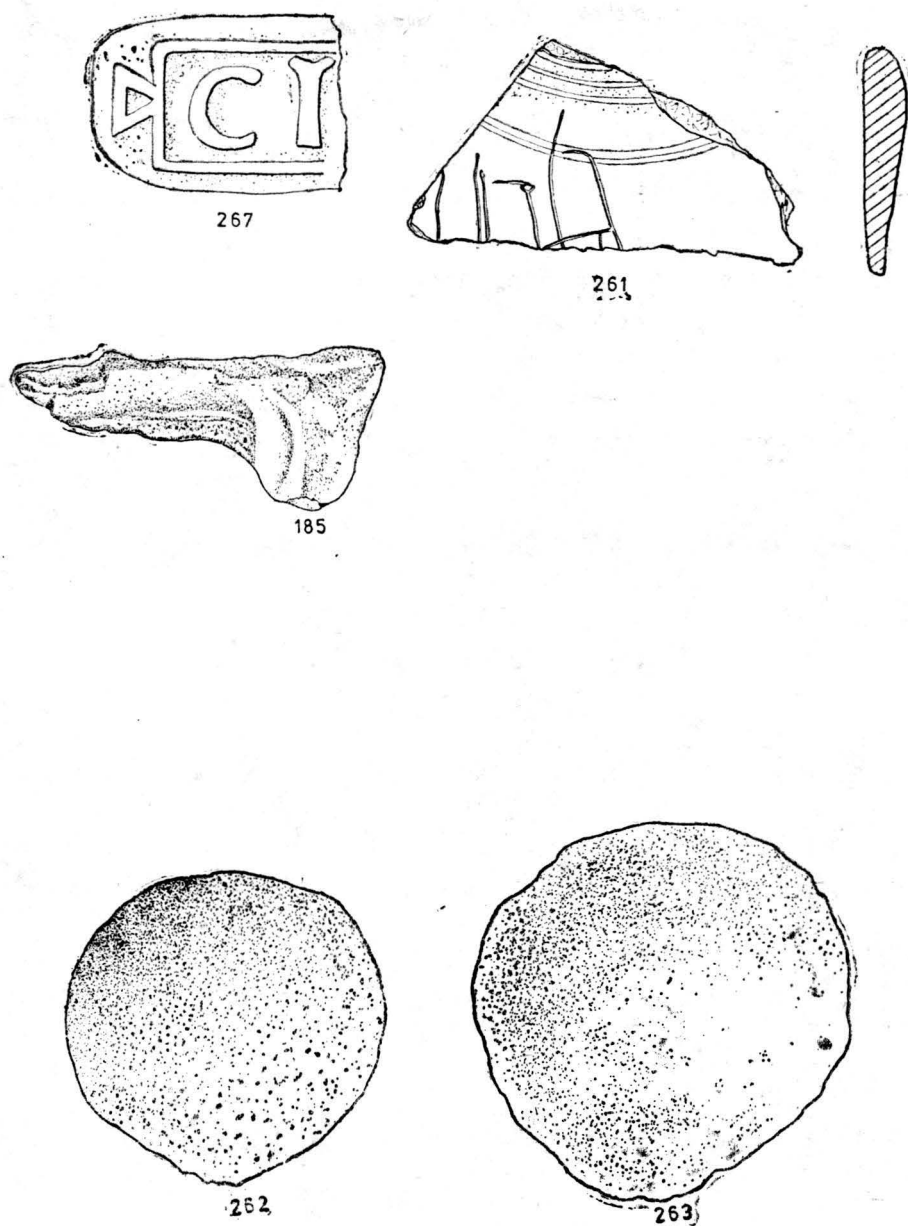
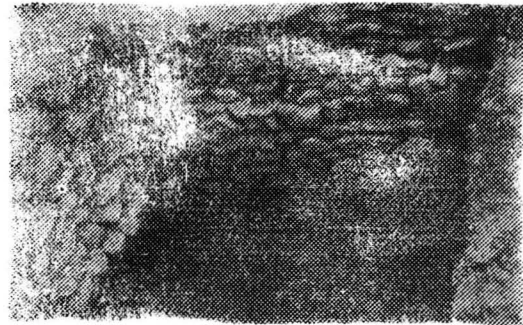
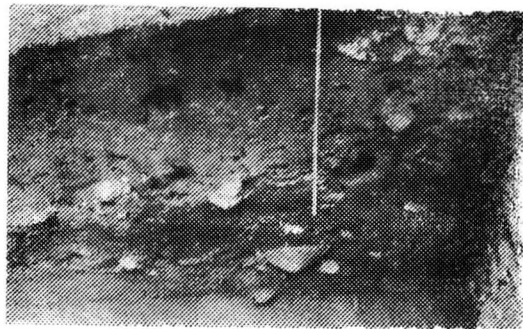
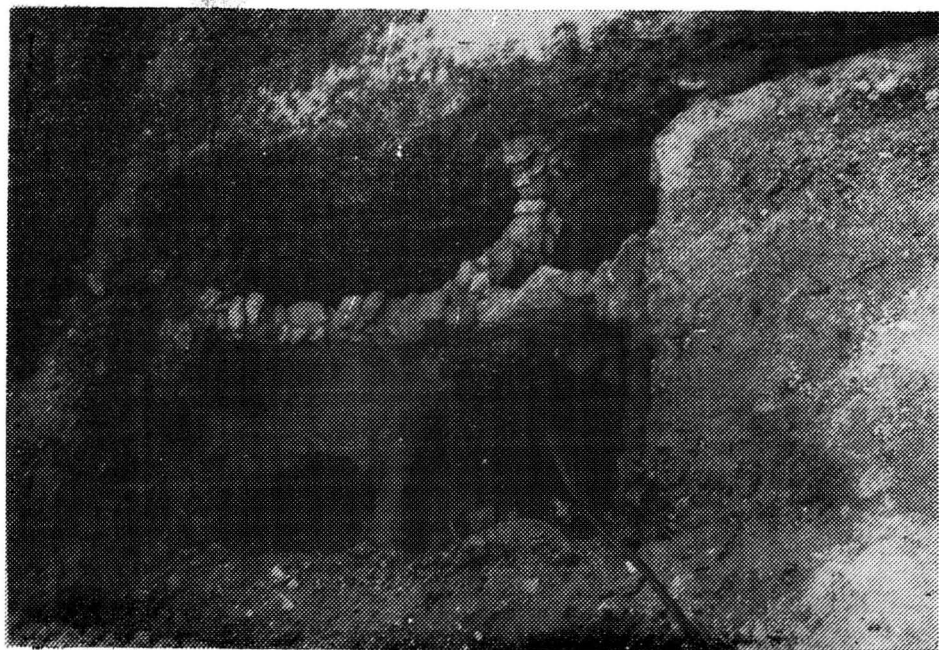
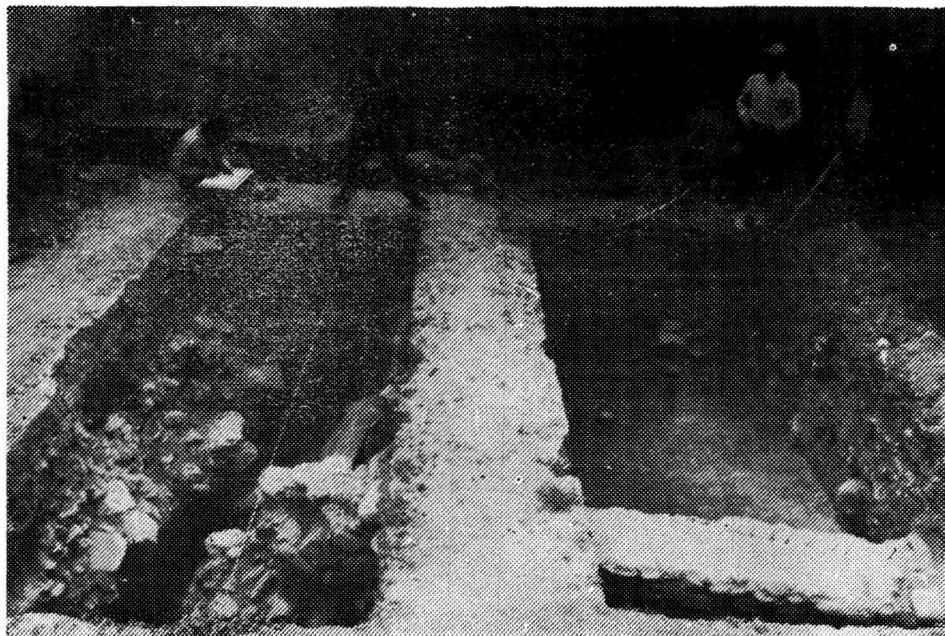


Fig. 36. Piatră, plumb, ceramică.



Pl. I. 1. Caseta A_{35} . Profilul estic. 2. Caseta A_{45} . Profilul nordic. 3. Caseta A_{36} . Tencuială pe paramentul nordic al lui Z_2 . 4. Caseta A_{38} . Modul de îmbinare a zidului radial cu Z_3 .



Pl. II. 1. Baza arheologică casetele B₂, B₃. 2. Baza arheologică caseta B₄.